

АЗЭРБАЙЧАН ССР ЕЛМЛЭР АКАДЕМИЈАСЫ  
АКАДЕМИЯ НАУК АЗЕРБАЙДЖАНСКОЙ ССР

---

МЭРҮЗЭЛЭР  
ДОКЛАДЫ

ТОМ XIX ЧИЛД

9

---

АЗЭРБАЙЧАН ССР ЕЛМЛЭР АКАДЕМИЈАСЫ НЭШРИЈЛДЫ  
ИЗДАТЕЛЬСТВО АКАДЕМИИ НАУК АЗЕРБАЙДЖАНСКОЙ ССР  
Бакы — 1963 — Баку

АЗЭРБАЙЧАН ССР ЕЛМЛЭР АКАДЕМИЈАСЫ  
АКАДЕМИЯ НАУК АЗЕРБАЙДЖАНСКОЙ ССР

# МЭ'РУЗЭЛЭР ДОКЛАДЫ

ТОМ XIX ЧИЛД

№ 9

АЗЭРБАЙЧАН ССР ЕЛМЛЭР АКАДЕМИЈАСЫ НЭШРИЈАТЫ  
ИЗДАТЕЛЬСТВО АКАДЕМИИ НАУК АЗЕРБАЙДЖАНСКОЙ ССР  
БАКЫ—1963—БАКУ

Т. К. АХМЕЛОВ

ОБ АНАЛИТИЧЕСКОМ ПРОДОЛЖЕНИИ НЕКОТОРЫХ РЯДОВ  
ТИПА ТЕЙЛОРА—ДИРИХЛЕ

(Представлено академиком АН Азербайджанской ССР З. И. Халиловым)

В этой работе изучается некоторое аналитическое продолжение так называемого ряда типа Тейлора—Дирихле

$$\sum_{n=1}^{\infty} \varphi(n) s^{\psi(n)} e^{-sf(n)}, \quad (1)$$

где функции  $f(z)$ ,  $\psi(z)$  и  $\varphi(z)$  аналитичны в некоторой области, а их производные удовлетворяют некоторым условиям.

Докажем следующие теоремы.

Теорема. Пусть  $s^{\psi(z)} = e^{\psi(z)lns}$ , где  $lns > 0$

$$\text{при } s > 1 \text{ и } M(s) = \sum_{n=1}^{\infty} \varphi(n) s^{\psi(n)} e^{-sf(n)},$$

где  $f(n)$ ,  $\psi(n)$  и  $\varphi(n)$  удовлетворяют следующим условиям:

$$f(n) \geq 0, \psi(n) \geq 0, \text{ для } n \geq p, \quad (2)$$

$f(z)$ ,  $\psi(z)$  и  $\varphi(z)$  являются аналитическими функциями  $z$  ( $z = x + iy = h + Re^{i\varphi}, -1 < h < 1$ ) в области  $L(h, \varphi_1, \varphi_2)$  плоскости  $z$ .  $\varphi_2 \leq \arg(z-h) \leq \varphi_1$ ,

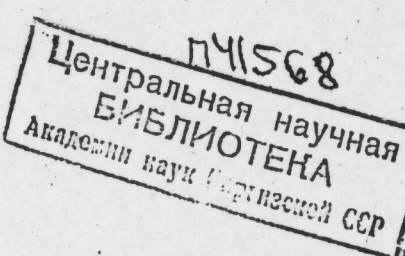
$$\text{где } 0 < \varphi_1 < \frac{\pi}{2} \text{ и } -\frac{\pi}{2} \leq \varphi_2 < 0, \quad (3)$$

В области  $L(h, \varphi_1, \varphi_2)$  для достаточно большого  $|z|$

$$f(z) \sim \frac{z}{\log z} \quad (4)$$
$$\psi(z) \sim \log z$$

$$\varphi(z) = O(|e^{kf(z)-l\psi(z)}| e^{A|y|}), \quad (5)$$

где  $A < 2\pi$ ,  $k$  и  $l$ — действительные постоянные числа. Тогда разность между  $M(s)$  и интегралом



РЕДАКЦИОННАЯ КОЛЛЕГИЯ: З. И. Халилов (главный редактор), Ш. А. Азизбеков, В. Р. Волобуев, Д. М. Гусейнов, И. А. Гусейнов, М. А. Дадашзаде (зам. главного редактора), М. А. Далин, Ч. М. Джуварлы, С. М. Кулиев, М. Ф. Нагиев (зам. главного редактора), М. А. Топчибашев, Г. Г. Зейналов (ответственный секретарь).

Адрес: г. Баку, Коммунистическая, 10. Редакция «Докладов Академии наук Азербайджанской ССР».

$$\int_0^{\infty} \varphi(x) s^{\psi(x)} e^{-sf(x)} dx \quad (6)$$

является функцией аналитической на логарифмической Римановой поверхности.

**Доказательство.** Оба ряда Тейлора—Дарихле и соответствующий интеграл

$$\int_0^{\infty} \varphi(x) s^{\psi(x)} e^{-sf(x)} dx$$

абсолютно и равномерно сходятся в любой конечной части области абсолютной сходимости [2], которая содержит бесконечный отрезок положительной части действительной оси  $ox$ . Предположим, что  $s$  действительное и  $s > k$ . Возьмем окружность с центром  $h$  и радиусом  $R = n + \frac{1}{2} - h$  и дуги  $l$  с концами точки  $M$  и  $L$  симметричны относительно действительной оси  $ox$ . Контур этого сектора обозначим через  $\gamma$ .

Возьмем

$$\int_{\gamma} \frac{\varphi(z) s^{\psi(z)} e^{-sf(z)}}{e^{2\pi iz} - 1} dz, \quad (7)$$

на замкнутом контуре за  $\gamma(hLNMrh)$ . С помощью теорем о вычетах получаем

$$\begin{aligned} \sum_p^n \varphi(n) s^{\psi(n)} e^{-sf(n)} &= \\ &= \int_{\gamma} \frac{G(s,z)}{e^{2\pi iz} - 1} dz = \int_{(hN)} G(s,z) dz + \\ &+ \int_{(hM)} \frac{G(s,z)}{e^{-2\pi iz} - 1} dz + \int_{(hL)} \frac{G(s,z)}{e^{2\pi iz} - 1} dz + \\ &+ \int_{(LN)} \frac{G(s,z)}{e^{2\pi iz} - 1} dt - \int_{(NM)} \frac{G(s,z)}{e^{-2\pi iz} - 1} dz, \end{aligned} \quad (8)$$

где

$$G(s,z) = \varphi(z) s^{\psi(z)} e^{-sf(z)}.$$

Сначала докажем, что при достаточно большом  $s$  оба последних интеграла в правой части равенства (8) стремятся к нулю при  $R \rightarrow \infty$ .

Легко видеть, что в любой точке на дуге  $LN$  ( $\varphi_2 \leq \varphi < 0$ )

$$\frac{1}{|e^{2\pi iz} - 1|} < ce^{-2\pi R |\sin \varphi|}, \quad (9)$$

а на дуге  $NM$  ( $0 \leq \varphi \leq \varphi_1$ )

$$\frac{1}{|e^{2\pi iz} - 1|} < ce^{-2\pi R \sin \varphi}, \quad (10)$$

где  $c$  постоянная.

В силу условия (4) и (5) при достаточно большом  $R$  и действительном  $s > k$  и  $l > \log s$  на дуге  $LN$  и  $NM$  мы имеем:

$$\begin{aligned} |\varphi(z) s^{\psi(z)} e^{-sf(z)}| &= O(e^A |y| |e^{kf(z)-l\psi(z)} \cdot s^{\psi(z)} e^{-sf(z)}|) = \\ &= O(e^A |y| |e^{(k-s)f(z)}| \cdot |e^{(\log s-l)\psi(z)}|) = \\ &= O(e^A |y| e^{(k-s)p/h+R\cos\psi+qR\sin\psi} e^{(\log s-l).P}), \end{aligned}$$

$$\text{где } p = \log \sqrt{h^2 + 2Rh\cos\psi + R^2}, q = \arctg \frac{R\sin\psi}{h + R\cos\psi}.$$

$$\text{Обозначим через } B(\psi, R) = \log \left( 1 + \frac{h^2}{R^2} + \frac{2h\cos\psi}{R} \right)^{\frac{1}{2}},$$

тогда

$$|\varphi(z) s^{\psi(z)} e^{-sf(z)}| = O(e^A |y| e^{(k-s) \frac{(\log R + B(\psi, R))(h + R\cos\psi) + qR\sin\psi}{p^2 + q^2}} \cdot e^{(\log s - l)(\log R + B(\psi, R))}). \quad (11)$$

$B(\psi, R)$  равномерно сходится к нулю при  $R \rightarrow \infty$  для  $\varphi_2 < \varphi < \varphi_1$ .

Отсюда нетрудно видеть, что подынтегральная функция последних двух интегралов с равенством (8) при достаточно большом  $R$  и действительном  $s > k, l > \log s$  не превышает величины

$$O \left( c \cdot \exp \left\{ -(2\pi - A)R |\sin \varphi| + (k-s) \frac{(\log R + B(\psi, R))(h + R\cos\psi) + qR\sin\psi}{p^2 + q^2} \right. \right. \\ \left. \left. + (\log s - l)(\log R + E(\psi, R)) \right\} \right).$$

Отсюда нетрудно заключить, что оба интеграла стремятся к нулю при  $R \rightarrow \infty$ ,  $A < 2\pi$ ,  $s > k$  и  $l < \log s$ .

При действительном  $s > k$  мы из (8) можем написать

$$\begin{aligned} M_1(s) &= \sum_p \varphi(n) s^{\psi(n)} e^{-sf(n)} = \\ &= \int_h^{\infty} \varphi(x) s^{\psi(x)} e^{-sf(x)} dx + J_1(s) + J_2(s), \end{aligned} \quad (12)$$

где

$$J_1(s) = \int_h^{(hM)} \frac{G(s,z)}{e^{-2\pi iz} - 1} dz,$$

$$J_2(s) = \int_h^{(hL)} \frac{G(s,z)}{e^{2\pi iz} - 1} dz.$$

Покажем, что  $J_1(s)$  и  $J_2(s)$  оба являются аналитическими функциями от  $s$ .

В силу условий (4) и (5) с учетом неравенства (9) и (10) модуль подынтегральной функции не превышает величины:

$$O \left( \exp \left\{ -(2\pi - A)R \sin \psi + \frac{|k-s|}{\log R} + (\log s - l) \log R \right\} \right),$$

так как  $s > k$ ,  $l > \log s$  и  $2\pi > A$ , то оба интеграла  $J_1(s)$  и  $J_2(s)$  сходятся при  $R \rightarrow \infty$ , равномерно во всякой конечной области плоскости  $s$ , с

соответствующим разрезом  $K$  аналитическими функциями в точке  $z$  отрезка от  $0$  до  $\infty$  из логарифмической римановой поверхности. С другой стороны,

$$M(s) = \sum_{n=1}^{p-1} \varphi(n) s^{\psi(n)} e^{-s\ell(n)} + M_1(s), \quad (13)$$

и

$$\begin{aligned} \int_0^h \varphi(x) s^{\psi(x)} e^{-s\ell(x)} dx &= \int_0^h \varphi(x) s^{\psi(x)} e^{-s\ell(x)} dx + \\ &+ \int_h^\infty \varphi(x) s^{\psi(x)} e^{-s\ell(x)} dx, \end{aligned} \quad (14)$$

От равенства (13) отнимаем равенство (14), тогда получим:

$$\begin{aligned} M(s) - \int_0^h \varphi(x) s^{\psi(x)} e^{-s\ell(x)} dx &= \\ = \sum_{n=1}^{p-1} \varphi(n) s^{\psi(n)} e^{-s\ell(n)} - \int_0^h \varphi(x) s^{\psi(x)} e^{-s\ell(x)} dx + \\ + M_1(s) - \int_0^h \varphi(x) s^{\psi(x)} e^{-s\ell(x)} dx, \end{aligned} \quad (15)$$

так как  $\int_0^h \varphi(x) s^{\psi(x)} e^{-s\ell(x)} dx$  аналитическая функция и  $\sum_{n=1}^{p-1} \varphi(n) s^{\psi(n)} e^{-s\ell(n)}$  сумма конечных слагаемых, а разность

$$M_1(s) - \int_0^h \varphi(x) s^{\psi(x)} e^{-s\ell(x)} dx$$

в силу (12) является аналитической функцией, имея в виду теорему о единственности аналитической функции, можно утверждать, что теорема доказана.

Предположим теперь:

$$f(z) \sim \left( \frac{z}{\log z} \right)^a, \quad \psi(z) \sim (\log z)^a, \quad (16)$$

$$\varphi(z) = O(|e^{k\ell(z)-l\psi(z)}| \cdot e^{-D|y|^B}), \quad (17)$$

где  $a, \beta, K, l$  и  $D$  являются действительными положительными постоянными и  $\beta \leq z \leq 1$ . Тогда функция  $M(s)$  аналитическая.

В силу теоремы о вычетах можем написать для действительных  $s > k$  и  $l > \log s$

$$\sum_{n=p}^{\infty} \varphi(n) s^{\psi(n)} e^{-s\ell(n)} = \int_{(BL)} + \int_{(LN)} + \int_{(NM)} - \int_{(HM)} \frac{\varphi(z) s^{\psi(z)} e^{-s\ell(z)}}{e^{2\pi iz} - 1} dz$$

Заметим сначала, что  $\frac{1}{|e^{2\pi iz} - 1|} < c$  на всем контуре  $\Gamma$  ( $c$ —постоянная).

Если  $s$  действительное, то на дуге  $LM$

$$\left| \frac{\varphi(z) s^{\psi(z)} e^{-s\ell(z)}}{e^{2\pi iz} - 1} \right| = O(e^{(k-s)\operatorname{Re}\ell(z) + (\log s - l)\operatorname{Re}\psi(z) - D|y|^B}).$$

Отсюда нетрудно видеть, что при достаточно большом действительном  $s$

$$\int_{(LM)} \frac{\varphi(z) s^{\psi(z)} e^{-s\ell(z)}}{e^{2\pi iz} - 1} dz \rightarrow 0$$

при  $R \rightarrow \infty$ .

Что касается остальных двух интегралов

$$\int_{(BL)} \frac{\varphi(z) s^{\psi(z)} e^{-s\ell(z)}}{e^{2\pi iz} - 1} dt \text{ и } \int_{(NM)} \frac{\varphi(z) s^{\psi(z)} e^{-s\ell(z)}}{e^{2\pi iz} - 1} dz,$$

то здесь модуль подынтегральной функции не превышает величины  $O(e^{(k-s)l + l\ell(z)} + |\log s - l| \cdot |\psi(z) - D|y|^B)$ ,

ввиду (16) оба интеграла сходятся при  $R \rightarrow 0$  равномерно во всей конечной области  $\rho$ , а следовательно, сходятся к аналитическим функциям. В соответствии с равенством (4) функция  $M(s)$  аналитическая.

## ЛИТЕРАТУРА

1. Лунц Г. Л. Заметка о функциях, определяемых некоторыми рядами Дирихле. УМН, 1959, т. XVI, вып. 6 (9).
2. Лунц Г. Л. О прямых Тейлор—Дирихле. Изв. АН ССР, серия физ.-мат. наук, 1961, т. XIV, № 2, 3.
3. Pandey K. On the analytic continuation of Dirichlet's series. Bull. Calcutta. Math., 1955, vol. 47, № 4.

Азгосуниверситет им. С. М. Кирова

Поступило 25. III 1963

Т. Г. Эмадов

Тейлор—Дирихле типли бә'зи сыраларын аналитик давамы һагында

## ХУЛАСӘ

Мәғаләдә (1) сырасы илә (6) интегралынын фәргинин бүтүн логарифмик Риман сәттіндә аналитик функция олмасы һагында бә'зи қағи шәртләр көстәрилір.

РАЗРАБОТКА НЕФТЯНЫХ  
И ГАЗОВЫХ МЕСТОРОЖДЕНИЙ

К. Н. ДЖАЛИЛОВ

ГИДРОДИНАМИЧЕСКОЕ ИССЛЕДОВАНИЕ ПРОЦЕССА  
ОБВОДНЕНИЯ БАТАРЕИ СКВАЖИН

(Представлено академиком АН Азербайджанской ССР С. М. Кулиевым)

При проектировании и анализе разработки нефтяных месторождений в условиях водонапорного режима важнейшее значение имеет правильное представление о перемещении контура нефтеносности и обводнения скважин. Собственности стягивания контура нефтеносности и закономерности обводнения скважин необходимо установить в зависимости от формы начального контура нефтеносности, расположения скважин, по отношению к ним, угла падения и неоднородности пласта, разнодебитности скважин, различия в вязкостях и удельных весах нефти и воды, учета промежуточной зоны и т. д. Одновременный учет всех факторов, влияющих на стягивание контура нефтеносности и на процесс обводнения скважин, при строгом гидродинамическом решении невозможен, поэтому приходится пренебречь некоторыми из них, чтобы установить влияние остальных. Экспериментальные исследования показывают, что при вытеснении нефти водой определенная часть нефти остается в порах пласта и эффективная проницаемость пласта для воды в зоне замещения уменьшается. Даже при решении одномерной задачи о вытеснении нефти водой с учетом промежуточной зоны получаются сложные выражения.

Отметим, что в общем случае невозможно получить в замкнутой форме строгое гидродинамическое решение даже плоской задачи фильтрации двух жидкостей с разными вязкостями.

Известно, что только в простых случаях доводится до конца решение вопросов перемещения контура нефтеносности и обводнения скважин, а потому этот круг вопросов подземной гидродинамики можно считать малопроявленным.

Нами изучено влияние формы начального контура нефтеносности, расположения эксплуатационных и нагнетательных скважин и их взаимодействия, разнодебитности скважин, неоднородности пласта, непроницаемой границы и т. д. на перемещение контура нефтеносности и обводнение скважин для одножидкостной системы. Вводя переменные, приведенные в работе В. А. Карпичева [8], и используя уравнение линий тока, путем интегрирования

$$m \cdot \frac{dx}{dt} = \frac{\partial \varphi}{\partial x} \quad (\text{или} \quad m \frac{dy}{dt} = \frac{\partial \varphi}{\partial y})$$

получены сравнительно простые расчетные формулы движения жидкости по любой линии тока (где  $x, y$ —текущие координаты,  $t$ —время,  $m$ —постоянство пласта,  $\varphi(x, y)$ —потенциальная функция). С учетом указанных факторов проведены многочленные расчеты для установления особенности стягивания контура нефтеносности и закономерности обводнения скважин.

Рассмотренные нами задачи можно приближенно обобщить на случай учета влияния различия в вязкостях нефти и воды, промежуточной зоны, принимая проницаемость для вытекающей жидкости постоянной. Практика разработки нефтяных и газовых месторождений показывает большую необходимость в решении этих задач.

Если количество прямолинейных рядов скважин больше двух, тогда при решении этих задач даже вышеуказанным путем возникают большие математические трудно-аналитических выражений стягивания контура нефтеносности и процесса обводнения скважин. Предполагая, что все скважины одновременно входят в эксплуатацию и добавляя дебиты скважин последующих рядов к дебитам скважин второго ряда, истинную картину заменяем совместной работой двух рядов неравнолебедильных скважин. После обводнения первого ряда, добавляя дебиты скважин остальных рядов к дебитам скважин третьего ряда и опять предполагая, что совместно работают два ряда неравнодебитных скважин, определяем закономерность обводнения скважин в третьем ряду. В такой последовательности исследуется процесс обводнения скважин остальных рядов. Эта задача решена нами совместно с Н. Д. Джадаровым.

Для совместной работы  $n$  прямолинейных батарей скважин при наличии непротиводействующей границы напишем характеристическую функцию (рисунок):

$$F(z) = -\frac{q_1}{2\pi} \left[ \ln \sin \frac{\pi z}{2l_1} + \ln \sin \frac{\pi(z+i2H)}{2l_1} \right] - \frac{1}{2\pi} \sum_{k=2}^n q_k \left[ \ln \sin \frac{\pi(z-z_k)}{2l_k} + \ln \sin \frac{\pi(z+i2H-z_k)}{2l_k} \right] + c_1 + ic_2,$$

где

$$z_k = a_k - ih_k, \quad z = x + iy,$$

$c_1, c_2$ —постоянные;

$q_k$ —дебит скважины  $k$ го ряда;

$2l_k$ —расстояние между его скважинами.

При  $H > 2l_k, h_k > 2l_k, (k=1,2,\dots,n)$  будем иметь [7]:

$$F(z) = -\frac{q_1}{2\pi} \ln \sin \frac{\pi z}{2l_1} + \frac{q_1}{2} \left( \alpha + \frac{1}{2l_1} \right) iz + c_1 + ic_2$$

$$\text{или } F(z) = -\frac{q_1}{2\pi} \left( \ln \sin \frac{\pi z}{2l_1} - iV_0 z \right) + c_1 + ic_2, \quad (1)$$

где

$$\alpha = \sum_{k=2}^n \frac{q_k}{q_1 l_k}; \quad V_0 = \pi \left( \alpha + \frac{1}{2l_1} \right)$$

В правой части первый член характеризует работу прямолинейной батареи эксплуатационных скважин, второй член представляет плоско-параллельное течение однородной жидкости, вызванное действием работы всех остальных батарей скважин.

Из (1) эквиденциальная функция и семейство линий тока примут вид:

$$\varphi(x, y) = -\frac{q_1}{2\pi} \left[ \ln \left( \cosh \frac{\pi y}{l_1} - \cos \frac{\pi x}{l_1} \right) + 2V_0 y \right] + c_1 \quad (2)$$

$$\operatorname{arctg} \left( \operatorname{ctg} \frac{\pi x}{2l_1} \operatorname{th} \frac{\pi y}{2l_1} \right) + A \frac{\pi x}{2l_1} = c, \quad (3)$$

где

$$A = -\frac{2l_1 V_0}{\pi}$$

При таком упрощении схемы течения выражения движения частицы жидкости по любой линии тока приводились к численным интегрированиям, и получены формулы по характеристикам (по главной и нейтральной) линиям [7, 9, 11].

Согласно [3, 6, 8] вводя обозначения

$$\operatorname{ctg} \frac{\pi x}{2l_1} \operatorname{th} \frac{\pi y}{2l_1} = \operatorname{tg} \theta_2; \quad \frac{\pi x}{2l_1} = \theta_2,$$

уравнение стягивания контура нефтеносности по любой линии тока находим в следующем виде:

$$\tau = \frac{1}{A-1} \ln \frac{\cos[(1-A)\beta-c]}{\cos[(1-A)\alpha-c]} + \frac{1}{1-A} \ln \frac{\cos[(1+A)\beta-c]}{\cos[(1+A)\alpha-c]}, \quad (4)$$

где

$$\tau = \frac{\pi q_1 t}{4ml_1^2}, \quad c=0.$$

$\alpha$  и  $\beta$  определяются из уравнений:

$$\operatorname{tg} \alpha \operatorname{tg}(\theta - A\alpha) = \operatorname{th} \frac{\pi y_0}{2l_1}$$

$$\operatorname{tg} \beta \operatorname{tg}(\theta - A\beta) = \operatorname{th} \frac{\pi y}{2l_1}.$$

При  $y=0, \beta=0$  или  $\beta=\frac{\theta}{A}$

$y_0$ —расстояние начального контура нефтеносности от начала координат;  
 $\theta$ —угол обводнения.

По главной и нейтральной линиям уравнения движения частицы жидкости примут вид:

при  $A > 1$

$$\tau_r = \frac{2}{1-A^2} \ln \frac{\operatorname{ch}\left(\frac{\pi y_0}{2l_1} - \operatorname{arcth} A\right)}{\operatorname{ch}\left(\frac{\pi y}{2l_1} - \operatorname{arcth} A\right)} + \frac{A\pi}{l_1(1-A^2)} (y_0 - y)$$

$$\tau_u = \frac{2}{1-A^2} \ln \frac{\operatorname{sh}\left(\frac{\pi y_0}{2l_1} - \operatorname{arcth} A\right)}{\operatorname{sh}\left(\frac{\pi y}{2l_1} - \operatorname{arcth} A\right)} + \frac{A\pi}{l_1(1-A^2)} (y_0 - y)$$

при  $A < 1$

$$\tau_r = \frac{2}{1-A^2} \ln \frac{\operatorname{sh}\left(\frac{\pi y_0}{2l_1} - \operatorname{arcth} \frac{1}{A}\right)}{\operatorname{sh}\left(\frac{\pi y}{2l_1} - \operatorname{arcth} \frac{1}{A}\right)} + \frac{A\pi}{l_1(A^2-1)} (y_0 - y)$$

$$\tau_u = \frac{2}{1-A^2} \ln \frac{\operatorname{ch}\left(\frac{\pi y_0}{2l_1} - \operatorname{arcth} \frac{1}{A}\right)}{\operatorname{ch}\left(\frac{\pi y}{2l_1} - \operatorname{arcth} \frac{1}{A}\right)} + \frac{A\pi}{l_1(A^2-1)} (y_0 - y).$$

Эта задача при отсутствии непроницаемой границы для прямолинейных батарей равнодебитных скважин решена совместно с Я. Р. Рустамовым.

По формуле (4) легко можно установить закономерность обводнения батарей скважин. Аналогичным образом можно получить уравнение стягивания контура нефтеносности для круговых батарей скважин.

#### ЛИТЕРАТУРА

1. Барановская Н. Н. Труды МНИ им. Губкина, вып. 14, 1955. 2. Джалилов К. Н. Изв. АН Азерб. ССР\*, серия физ.-техн. наук, 1962, № 2. 3. Джалилов К. Н. ДАН Азерб. ССР, 1962, № 3. 4. Джалилов К. Н. ДАН Азерб. ССР\*, 1962, № 11. 5. Джалилов К. Н. Джазаров Н. Д. АНХ, 1962, № 6. 6. Джалилов К. Н., Джазаров Н. Д. Изв. АН Азб. ССР\*, серия физ.-техн. наук, 1963, № 1. 7. Казарновская Б. Э. ДАН ССР\*, 1947, т. 35, № 8. 8. Каиринчен В. А. Изв. АН ССР\*, ОТН. серия мех. и машин. 1960, № 1. 9. Коган Л. Г. НТС по добываче нефти. ВНИИ, вып. 14, 1963. 10. Скворцов В. В. Татарская нефть\*. 1960, № 10. 11. Скворцов В. В. Изв. АН ССР\*, ОГН, серия мех. и машин., 1961, № 3.

Институт разработки нефтяных  
и газовых месторождений

Поступило 7. V 1963

Г. Н. Чалилов

Нефт гүулары батарејаларынын сушашма просесинин  
тэдгиг едилмәси

#### ХУЛАСӘ -

Нефт контуриниң һәрәкәти вә гүуларын сушашмасы просесинең нефт контуриниң формасы, онун гүулардан олан мәсафәси, лајын гејри-бирчинслилиji, манллик бучагы, гүуларын дебигләринин мұхтәлифлиji, нефтин вә сујун өзлүлүклендәки вә хүсуси чекиләрин-

дәки фәрг вә и а. амплләр тә'сир көстәрир. Бүнларын һамысыны бирликлә нәзәрә алмаг мүмкүн дејил. Она көре дә нефт контуриниң һәрәкәти вә гүуларын сушашмасы илә әлагәдар мәсәләләрни һәллиндә амплләрдән ялныз бә'зисинин тә'сир и өјрәнилир.

Гејд етмәк лазымдыр ки, һәтта бирчинсли лајда гүуларын дүзхәтли вә дайрәви батарејаларынын сушашма мәсәләсинин һәлли ријази чәнәтдән бөյүк чатилик төрәдир.

Бу мәгаләдә кечилмәз сәллә вә инжексија гүулары мөвчуд олан һал үчүн гүуларын дүзхәтли батарејаларынын сушашмасы мәсәләси ярашдырылып. Бунун үчүн гүуларын дүзхәтли батарејаларынын биринчи батарејадан олан мәсафәләрниң гүулар арасындакы мәсафәдән бөйүк олдугу фәрз едиләрәк, характеристик функција (1) шәклинә кәтирилмиш вә иәтичәдә гүуларын сушашмасыны тәдгиг етмәк үчүн садә (4) несабат дүстүру алынышдыр.

ФИЗИЧЕСКАЯ ХИМИЯ

К. А. ШАРИФОВ

ВЗАИМОСВЯЗЬ МЕЖДУ ШИРИНОЙ ЗАПРЕЩЕННОЙ  
ЗОНЫ ПОЛУПРОВОДНИКОВ И ТЕПЛОТОЙ  
ИХ АТОМИЗАЦИИ

(Представлено академиком АН Азербайджанской ССР М. Ф. Нагиевым)

Элементы IV-й группы со структурой алмаза

В работе [11] нами была предложена формула

$$\Delta E = q\Omega + p, \quad (1)$$

где  $\Delta E$ —ширина запрещенной зоны вещества,

$\Omega$ —энергия его атомизации.

Далее высказано предположение, что эта формула должна быть справедливой, по крайней мере для веществ состава  $AB$ ; причем, для тех веществ указанного состава, которые принадлежат к одинаковому структурному и химическому типу  $q$  и  $p$  являются постоянными.

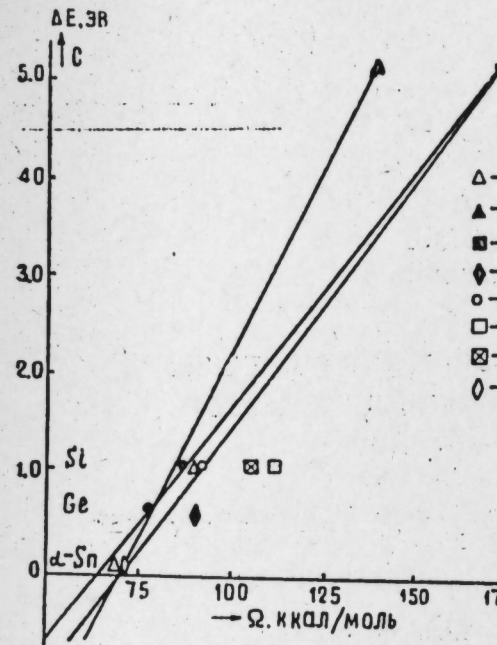
Очевидно, формула (1) должна быть справедливой и для простых веществ, таких, как элементы IV группы со структурой алмаза: C, Si, Ge и  $\alpha$ -Sn. Это заключение вытекает из того, что линейная зависимость между  $\Delta E$  и  $\Omega$  сохраняется в рядах веществ  $A^{III}B^V$  и  $A^{II}B^VI$ , хотя в них происходит значительное изменение как металлической, так и ионной составляющей связи. В элементах же IV группы изменяется (то есть усиливается) лишь металлизация связи с ростом главного квантового числа.

На рисунке дана зависимость  $\Delta E$  элементов IV группы от  $\Omega$ .

Как видно из рисунка, по точкам, построенным на основании данных различных источников [1, 5, 6, 13, 15, 16], можно пропустить несколько прямых, например 1, 2 и 3. Но которая из них соответствует правильным значениям  $\Omega^1$ ? Ответить на этот вопрос при помощи уравнения (1) можно лишь после накопления и уточнения для ряда веществ и элементов  $\Delta E$ ,  $\Delta H^\circ$  и  $\Omega$ , которые позволят произвести перекрестные расчеты.

<sup>1</sup> Для других элементов в расчетах мы берем в основном данные [15].

По поводу уравнения (1) следует отмечать, что оно, строго говоря, применимо к гомодесмическим или вернее к изотропным веществам. Под изогропностью в данном случае подразумеваем равенство расстояний между ближайшими соседними частицами в кристалле. Таким образом, являются вещества куби-



1—данные взяты из [5]; 2—из [13]; 3—из [1, 6, 13, 15, 16]; 4—из [1, 5, 6, 13, 16]; 5—из [6]; 6—из [1]; 7—из [13, 16]; 8—из 1, 6, 13, 15, 16].

лярную. Расстояния между ближайшими соседними атомами в нем одинаковы  $-1,542\text{ \AA}^{\circ}$ . Графит же гетероцесмическое вещество: три ближайших соседа любого атома находятся на расстоянии  $1,424\text{ \AA}^{\circ}$ , в то время как другие соседи сильно удалены ( $3,39\text{ \AA}^{\circ}$ ). Следовательно ближайшие соседи образуют более прочные связи, чем связь в алмазе, и очевидно эти связи не поставляют испытателей заряда, зато вносят основной вклад в энергию атомизации. Слабые же связи ( $3,39\text{ \AA}^{\circ}$ ) вносят небольшой вклад в энергию атомизации, но являются определяющими ширину запрещенной зоны.

Потому и мы считаем, что уравнение (1) строго применимо к изотропным веществам. Следовательно  $q$  и  $p$  являются постоянными, например, для веществ состава  $A^{III}B^V$  с структурой цинковой обманки, а со структурой вюрцита или с другой структурой гексагональной сингонии слюда могут быть включены только лишь в том случае, если отношение осей  $c/a$  близко к 1.633.

Наконец, говоря о влиянии структуры на  $\Delta E$ , можно остановиться на примере  $\text{AgCl}$ ,  $\text{AgBr}$  и  $\text{AgJ}$ . Первые два вещества, как было отмечено в (1), имеют структуру  $\text{NaCl}$ , а последние —  $\text{ZnS}$  (т. е. все они в смысле, отмеченном выше, изотропны). Между тем линейная зависимость

<sup>2</sup> Так, по данным Звонковой [3], в некоторых соединениях азота, кислорода и бора уменьшение длины связи  $\text{C}\equiv\text{O}$  0,10 Å соответствует увеличению энергии связи на 28 ккал/моль, а на 0,15 Å — 55 ккал/моль.

мость  $\Delta E$  от  $\Omega$  для них не нарушается. Но если данные [9] о  $\Delta E$  для указанных веществ достоверны, то можно предположить, что при фазовом превращении вещества из одной изотропной структуры в другую ширина запрещенной зоны изменяется лишь незначительно, т. е. на величину, соответствующую теплоте фазового перехода. Причина этого пока нам неясна.

Переходя к ионным кристаллам, в первую очередь, следует обратиться к работе Сироты [10], где предложено уравнение, связывающее ширину запрещенной зоны  $-\Delta E$  с энергией решетки кристалла  $-\Delta U$ :

$$\Delta E = K(\Delta U - A) \quad (2)$$

Здесь  $K$  и  $A$  постоянные для группы из трех веществ. Таким образом для 9 соединений  $A^{III}B^V$  даны по три значения для  $K$  и  $A$ . Но как было показано в работе [11], эти соединения хорошо охватываются уравнением (1) причем для всех этих соединений имеется одно значение  $q$  и одно  $p$ .

Следовательно к таким соединениям, как  $A$   $B$ , (т. е. достаточно далеким от состояния ионности) более удобно применить уравнение (1), нежели (2). Это согласуется с высказыванием Ормбонта [8]<sup>3</sup> о том, что энергетическая (термодинамическая) прочность решетки точнее описывается величиной энергии атомизации  $\Omega$ , если решетка в основном атомная, и энергией решетки  $\Delta U$ , если связи близки к ионным.

Данные по  $\Delta E$  ионных соединений недостоверны<sup>4</sup>. Но имеющиеся отрывочные сведения дают основание предполагать, что возможности применения уравнения (2) весьма ограничены. Пожалуй, его следует применять лишь к ряду типично ионных соединений как например, щелочногалоиды и халькогениды щелочноземельных элементов. При этом оно возможно будет более приемлемым, чем уравнение (1).

Уравнение (2) для температуры  $0^\circ K$  может быть записано в виде:

$$\Delta E_0 = K_0 [\Delta U_0 - A_0] \quad (3)$$

Но энергия решетки по сравнению с шириной запрещенной зоны намного меньше зависит от температуры. Поэтому можно принять  $\Delta U_0 \approx \Delta U$  и записать вместо (3):

$$\Delta E_0 = K_0 [AU - A_0] \quad (4)$$

Уравнение (4) позволяет легко определить неизвестные  $\Delta E_0$  по надежным значениям этой величины для двух веществ. Из уравнений (2) и (4) можно получить:

$$\Delta E_0 - \Delta E \sim K_1 E \quad (5)$$

$$\frac{\partial E}{\partial T} \approx K_2 E, \quad (6)$$

где коэффициенты пропорциональности  $K_1$  и  $K_2$  для химически и структурно однотипных ионных соединений постоянны.

Уравнение (1) выдержало бы весьма серьезное испытание, если оказалось, что оно применимо к ряду PbS, т. е. PbS, PbSe и PbTe. У этих соединений многие параметры<sup>6</sup> изменяются "закономерно" в записанном порядке, в то время как ширина запрещенной зоны

<sup>3</sup> См. также [7].

\* Ширина запрещенных зон галогенидов щелочных металлов, согласно [9], точна неизвестна из-за наложения в их спектре экситонного перехода.

6 В том числе и энергии решетки; поэтому уравнение (2) к этому ряду веществ не применимо.

PbTe занимает не крайнее, а промежуточное положение (0,40, 0,31 и 0,25 эв для PbS, PbTe и PbSe, соответственно). Следовательно различные методы сравнительного расчета какого-либо свойства при помощи этих "закономерно" изменяющихся параметров не должны давать даже грубо приближенное значение, если это же свойство правильно вычисляется по уравнению (1). Например, вычислим энталпию образования  $\Delta H^\circ$  PbTe по методу сравнительного расчета Карапетьянга [4], зная энталпии образования PbS и PbSe (-2,5 и 18,0 ккал/моль [14]).

В качестве параметра сравнения возьмем: а) сжатие объема, что дает  $\Delta H^\circ = 15,0$  ккал; б) ионизационные потенциалы  $\Delta H^\circ = 12,6$  ккал; в) энергию решетки  $\Delta H^\circ = 10,8$  ккал. Вычисление же по уравнению (1) даст

$$\Delta H_{298}^\circ(\text{PbTe}) = 22,8 \text{ ккал.}$$

Экспериментальное определение этой величины, которое нами запланировано, дало бы ценное сведение о применимости уравнения (1) к подобным объектам.

#### ЛИТЕРАТУРА

1. Веденев В. И., Гурвич Л. В., Кондратьев В. Н., Медведев В. А. Франкевич Е. Л. Энергия разрыва химических связей. Справочник Изд-во АН ССР, М., 1952.
2. Жданов Г. С. "Вестн. МГУ, сер. мат., астр., физ., хим. наук", 1957, № 4.
3. Звонкова З. В. Кристаллография, 1959, 4, 5.
4. Карапетьянг М. А. Журн. физ. химии, 1956, 30.
5. Коттрелл Т. Прочность химических связей. Изд-во иностр. лит. М., 1956.
6. Несмеянов А. Н. Давление газа химических элементов. Изд-во АН ССР, М., 1961.
7. Ормонт Б. Ф. "Журн. физ. химии", 1957, 31, 2.
8. Ормонт Б. Ф. ДАН ССР, 1952, 124.
9. Полупроводники (ред. Б. Ф. Ормита). Изд-во иностр. лит., М., 1952.
10. Сирота Н. Н. Физика и физико-химический анализ, вып. 1, 6. научн. трудов ЭО. Моск. ин-т. инег. мет. и золота им. М. И. Калнина. 1957.
11. Шарифов К. А. ДАН Азерб. ССР, 1963, 3.
12. Эванс Р. Введение в кристаллохимию. Госхимиздат, М.-Л., 1944.
13. Honig R. Review a. technical Journal, 28 (1957).
14. Kubaschewski O., Evans E. U., Metallurgische Thermochemie, Veb Verl. Technik, Berlin, 1959.
15. Rossini F. D., Wagman D. D., Evans W. H., Levine S., Faffe F. Selected Values of Chemical Thermodynamic Properties, Circ. Natl. Bur. Stand., 500, Washington, 1952.
16. Stull D. K., Sinke C. C. Thermodynamic Properties of the Elements, Advances in Chemistry, Series 18, Amer. Chem. Soc., Washington, 1956.

Институт физики

Поступило 11. III 1953

К. Э. Шарифов

Жарымкечиричиләрни гадаған олунмуш золағы илә онларын атомизация истилини арасындакы асылылыг

(IV группун алмаз структурлу элементләри вә ион кристаллар)

ХҮЛАСӘ.

Ион рабитәли кристалларны мүтәг сыфыр температурдакы гадаған олунмуш золағы  $\Delta E_0$  илә онларын стандарт шәрәнәтдәки гәфәс енержиси  $\Delta U$  арасындакы асылылыбын тәилини верилмишdir.

$$\Delta E_0 = K_0 [\Delta U - A_0]$$

Бураңа  $K_0$  вә  $A_0$  ейни структурлу вә охшар тәркибли кристаллар үчүн сабит кәмийләтләрdir.

Бу тәнлик Сиротанын вердији тәнлијин

$$\Delta E = K(\Delta U - A)$$

дәјишилмиш формасыдыр.

Көстарилмисdir ки, бәр иккى тәнлик ион кристаллары үчүн тәтбиғ олунға биләр. Сирота исә иккинчи тәнлиji көвалент рабитәли бирлешмәләр тәтбиғ етмишdir. Еелә бирлешмәләр үчүн бицим габагкы ишдә тәклиф етдијимиз тәнлик

$$\Delta E = q\Omega - p$$

(бурада  $\Omega$  атомизация истилинидир) даһа жаңышы нәтижә верир.

ОРГАНИЧЕСКАЯ ХИМИЯ

О. А. ОСИПОВ, Х. М. ИСМАИЛОВ, О. Е. КАШИРЕНИНОВ,  
А. Д. ГАРНОВСКИЙ, Л. В. ОРЛОВА

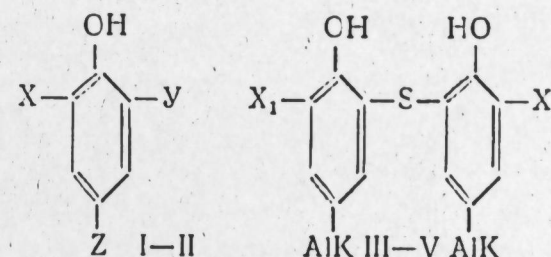
ИССЛЕДОВАНИЕ НЕКОТОРЫХ ДИАЛКИЛАМИНОМЕТИЛФЕНОЛОВ  
И АРОМАТИЧЕСКИХ СУЛЬФИДОВ

(Представлено академиком АН Азербайджанской ССР М. А. Даиным)

В последнее время значительно повысился интерес к алкиламино-метилфенолам и их сульфидам, как возможным антиоксидантам смазочных масел [3, 4].

Физико-химические свойства и строение указанных соединений, представляющие несомненный интерес для расширения сферы их практического применения, не изучены.

Нами были исследованы электрические (дипольные моменты) и магнитные свойства и изучены ИК-спектры ряда диалкиламинометилфенолов (I-II) и аминометильных производных сульфидов алкилфенолов (III-V).



I X=H, Y=CH<sub>2</sub>N(C<sub>2</sub>H<sub>5</sub>)<sub>2</sub>, Z=трет. C<sub>6</sub>H<sub>11</sub>.

II X=Y=Z=CH<sub>2</sub>N(C<sub>2</sub>H<sub>5</sub>)<sub>2</sub>.

III X=H, AlK=трет. C<sub>6</sub>H<sub>11</sub>; X<sub>1</sub>=H.

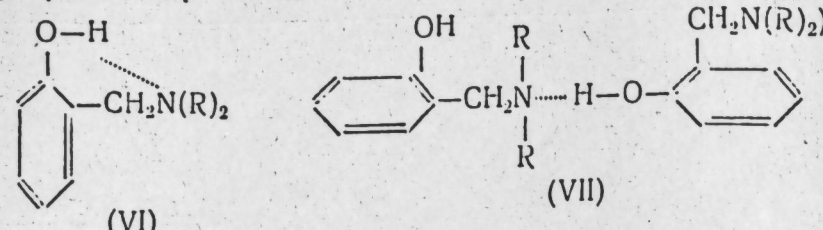
IV X=CH<sub>2</sub>N(C<sub>2</sub>H<sub>5</sub>)<sub>2</sub>, AlK=трет. C<sub>6</sub>H<sub>11</sub>; H=X

V X<sub>1</sub>=X=CH<sub>2</sub>N(C<sub>2</sub>H<sub>5</sub>)<sub>2</sub>, AlK=трет. C<sub>6</sub>H<sub>11</sub>.

Исходные соединения были получены конденсацией *n*-алкилфенолов [3] или моносульфидов алкилфенолов [4] с дистил-, диметилами-нами по реакции Манниха.

В указанных ссоединениях, содержащих фенольный гидроксил в ортоположении к диалкиламинометильной группе, следовало ожидать образования внутримолекулярной всдородной связи типа VI. Однако

не исключалась и возможность образования ассоциатов за счет межмолекулярной водородной связи (VII)



Для выяснения вопроса о характере водородной связи начали были определены диэлектрические проницаемости бензольных растворов и рассчитаны дипольные моменты соединений (I—V) (табл. 1).

Все изменения проведены при  $25 \pm 0.0^\circ$  по методике, описанной одним из нас ранее [5], расчет по гиразии при бесконечном разбавлении Р<sub>0</sub> приведен по методу Гедесгринда [10].

Близость величин дипольных моментов соединений IV и V, по-видимому, свидетельствует о легкой деформируемости виленного угла —S—[7], изменение которого в V по сравнению с IV компенсирует изменение дипольного момента за счет изведения водородной полярной группы —CH<sub>2</sub>N(R)<sub>2</sub>.

Для выяснения вопроса о наличии в молекулах I—III внутримолекулярной водородной связи были вычислены по векторной схеме дипольные моменты этих соединений.

При расчетах использовались следующие значения моментов связей: AlK → Ag 0,4D; C → C 0,8D; H → O 1,51D; H → C 0,4D [12].

Величины углов между связями в молекулах приведены равными взаимным. Расчет проводился, исходя из предположения, что группы —OH фиксированы внутримолекулярными водородными связями —OH—N или —OH—S.

Вычисленные значения дипольных моментов приведены в табл. 1. Близость вычисленных и экспериментально определенных значений дипольных моментов свидетельствует о наличии в молекулах I—III внутримолекулярных водородных связей. Расчет дипольного момента для других органических OH-групп дает величины, значительно отличающиеся от экспериментальных.

Таблица 1

	Соединение	$\mu_{\text{эксп.}} \text{D}$	$\mu_{\text{расч.}} \text{D}$
I	2-дигитаминометил-4-гидроксиметилфенол-1	2,00	2,3
II	2, 4, 6-три(дигитаминометил)-фенол-1	2,60	2,1
III	1, 1'-диокси-4,4'-ди(гидроизопропил) дифенил-6,6'-сульфид	2,50	2,5
IV	1,1'-диокси-2-дигитаминометил-4,4'-ди(гидроизопропил) дифенил-6,6'-сульфид	3,97	—
V	1,1'-диокси-2-2-(дигитаминометил)-4,4'-ди(гидроизопропил) дифенил-6,6'-сульфид	4,00	—

Полученные данные находятся в хорошем согласии с предварительными результатами измерения ИК-спектров изучаемых соединений.

Во всех случаях наблюдалось энантиомерное положение частот валентных колебаний OH-группы, наличие широкой области поглощения ( $2500 - 3400 \text{ cm}^{-1}$ ), не измениющейся при разбавлении растворов, что характерно для соединений с внутримолекулярной водородной связью [1].

Особый интерес представляет образование водородной связи в молекуле 1,1'-диокси-4,4'-ди(третичногоамила) дифенил-6,6'-сульфида (III). До недавнего времени считалось, что сера не может участвовать в образовании водородных связей. Однако Мертес [11] и Бэкер [8] установили, что, несмотря на сравнительно низкую формальную электроотрицательность, сера дает водородные связи, причем Бэкер обосновал это термодинамически. Представляло интерес выяснить, способна ли сера помимо внутримолекулярной водородной связи в соединении III образовывать и межмолекулярную водородную связь.

Наши криоскопические исследования дали отрицательный ответ на этот вопрос, показав (табл. 2), что в бензольных растворах соединение III не обнаруживает ассоциации. По видимому, в этом случае возможность образования межмолекулярных водородных связей —O—H·S в растворе затруднено стерическими препятствиями, заметными вследствие низкой энергии водородных связей, образуемых серой [8].

Таблица 2

	Соединение	$M_{\text{от}}$	$M_{\text{теор.}}$	$M_{\text{от}}/M_{\text{теор.}}$
III	1,1'-диокси-4,4'-ди(третичногоамила) дифенил-6,6'-сульфид	350	330	1,06

Магнитные восприимчивости некоторых из исследованных сульфидов, определенные по методу Гуи [9, 6], приведены в третьей графе табл. 3.

Поскольку молекулы соединений IV, V и VI значительно отличаются друг от друга по характеру симметрии, небезынтересным было проследить характер изменения величины параметрической составляющей

Таблица 3

	Соединение	$-\chi_{\text{ч}} \cdot 10^{-6}$ , эксп.	$-\chi_{\text{dm}} \cdot 10^{-6}$	$+\chi_{\text{pm}} \cdot 10^{-6}$
VI	1,1'-диокси-4,4'-ди(третичнобутил) дифенил-6,6'-сульфид	$220 \pm 6$	259	39
IV	1,1'-диокси-2-диметиламинометил-4,4'-ди(третичногоамила) дифенил-6,6'-сульфид	$285 \pm 6$	339	54
V	1,1'-диокси-2-2-(дигитаминометил)-4,4'-ди(третичнобутил) дифенил-6,6'-сульфид	$326 \pm 7$	401	65

восприимчивости при переходе по этому ряду. Расчет параметрической составляющей восприимчивости производился по полуэмпирическому между, предложенному Я. Г. Дорфманом [2]. Величины параметрических составляющих восприимчивости, приведенные в табл. 3 и характеризующие в первую очередь асимметрию электронных облаков, показывают, что можно предположить уменьшение симметрии молекул исследованных соединений в ряду соединений VI > IV > V. Таким образом, форма молекулы V, по-видимому, близка к линейной, обладающей симметрией низшего порядка.

К сожалению, нельзя считать, что молекулы IV—VI обладают осевой симметрией, а следовательно, для этих соединений невозможно рассчитать анизотропию суммарной восприимчивости, которая могла бы дать более точные сведения о пространственной структуре их молекул.

## ЛИТЕРАТУРА

1. Беллами Л. Инфракрасные спектры молекул. И. Л., 1957. Применение спектроскопии в химии. Под ред. В. Весла. М., ИЛ, 1959. Backer A. W., Shulgin A. T. J. Amer. Chem. Soc., 1959, v. 81, 1523; Freedman H. H. J. Amer. Chem. Soc., 1961, v. 83, 2900. 2. Дорфман Я. Г. Диамагнетизм и химическая связь. Физматгиз М., 1961. 3. Кулиев А. М., Мамедов Ф. Н., Мусаева Н. Ф. Азерб. хим. ж., 1962, № 5. 4. Кулиев А. М., Мамедов Ф. Н., Мусаева Н. Ф., Алиев Р. Г. Азерб. хим. ж., 1962, № 5. 5. Осипов П. А. ЖХХ, 1956, т. 26. 6. Осипов О. А., Каширенников О. Е. Ж. общ. химии, 1961, т. 31, № 7. Пэулинг Л. Природа химической связи. М.—Л., Госхимиздат, 1947. 8. Backer A. W., Shulgin A. T. J. Amer. Chem. Soc., 1958, v. 80, 5358. 9. Gouy L. Compt. rend., 1889, v. 109, 935. 10. Hedestand G. Z phys. Chem., 1929, v. 2, 11. Mertes M. P. Org. Chem., 1961, v. 26, 5226. 12. Sutton L. E. In Braude E. A., Nachod F. C. Determination of Organic Structures by Physical Methods, Academic Press, N.—Y., 1955.

Ростовский-на-Дону  
государственный университет  
Институт нефтехимических  
процессов

Поступило 25.VI 1963

О. А. Осипов, Х. М. Исмаилов, О. Ю. Каширенников,  
А. Д. Гарновски, Л. В. Орлова

## Бә'зи диалкиламинометилфенолларын вә ароматик сулфидләрин тәдгиги

### ХУЛАСӘ

Мәгаләдә диалкиламинометилфенолун мүхтәлиф бирләшмәләрни, ароматик сулфидләрни вә айры-айры радикалларын фәзадакы вәзијәтләрни айынлаштырмаг учун бу радикалларын мүхтәлиф вәзијәтләрни дипол моментләри тә'жин едилер. Диалкиламинометилфенолларын вә ароматик сулфиддин дипол моментләринин вә магнит диффузлугунун тә'ин едилмәси молекул дахилиндә һидрокен рабитәсини вә маддәнни гурулуш формасыны айынлаштырмаға имкан верир.

## АЗЭРБАЙЧАН ССР ЕЛМЛӘР АКАДЕМИЯСЫНЫН МӘРҮЗӘЛӘРИ ДОКЛАДЫ АКАДЕМИИ НАУК АЗЕРБАЙДЖАНСКОЙ ССР

ТОМ XIX

№ 9

1963

## КРИСТАЛЛОГРАФИЯ

Р. М. АЛИЕВ

## НЕКОТОРЫЕ ПРИМЕРЫ ПО ИСПОЛЬЗОВАНИЮ МОРФОЛОГИЧЕСКИХ ОСОБЕННОСТЕЙ КРИСТАЛЛОВ КАЛЬЦИТА ДЛЯ ВЫЯСНЕНИЯ ВОПРОСОВ МИНЕРАГЕНЕЗИСА (НА ПРИМЕРЕ ДАШКЕСАНСКОГО ЖЕЛЕЗОРУДНОГО МЕСТОРОЖДЕНИЯ)

(Представлено академиком АН Азербайджанской ССР Ш. А. Азизбековым)

Как это подробно будет сообщено в печати, что исследованием огромного количества кристаллов, собранных в течение нескольких лет из Дашкесанского железорудного месторождения, на основании явления нарастания и обраствания одного морфологического типа кальцита другим, синхронного роста отдельных индивидов его, и их с индивидами минералов различных парагенетических групп, изучением фантомов, присыпок, а также морфологии и характера развития на кристаллах пространственных точечных простых форм, представленных также кальцитом, удалось установить единый ряд эволюции габитуса кристаллов кальцита в общем процессе минералообразования (рис. 1).

То обстоятельство, что выделение кальцита на месторождении началось в поздние стадии склеритирования и продолжалось не только в течение всего гидротермального этапа минералообразования, но даже и в условиях гипергенеза, позволяет использовать установленный ряд для решения многих задач как минерагенетического, так и геохимического порядка. Остановимся на некоторых из них.

При изучении взаимоотношений кристаллов кальцита с индивидами разных минералов был обнаружен совершенно новый для месторождения минеральный вид — сидерит и с большой точностью установлено его генетическое положение в общем процессе минералообразования.

Сидерит ийден только на северо-западном участке месторождения (горизонт 1690 м), где он нарастал на положительно скаленоэдрические кристаллы кальцита и в связи с тождеством их кристаллической структуры унаследовал кристаллографическую ориентировку субстрата. Хотя и граница перешла на всех образцах совершенно резкая (рис. 2), но нужно предполагать, что при таком резком обогащении минералообразующих растворов железом во время кристаллизации кальцита (приведшем к образованию сидерита) не прекращалось и отложение самого кальцита, т. е. происходил их синтаксический рост. Формировавшиеся при этом индивиды морфологически характеризуются очень

сильно огрубленными гранями положительного скаленоэдра  $K:[2\bar{1}31]=[20\bar{1}]$ , носящими друзовый характер, слабо огрубленными гранями призмы  $b:[10\bar{1}0]=[2\bar{1}\bar{1}]$  и более-менее гладкими гранями отрицательного ромбоэдра  $\delta:[01\bar{1}2]=[110]$ . Нередко они представлены отрицательно ромбоэдрическими по  $\delta$  индивидами, нарастающими на положительно скаленоэдрические кристаллы кальцита.

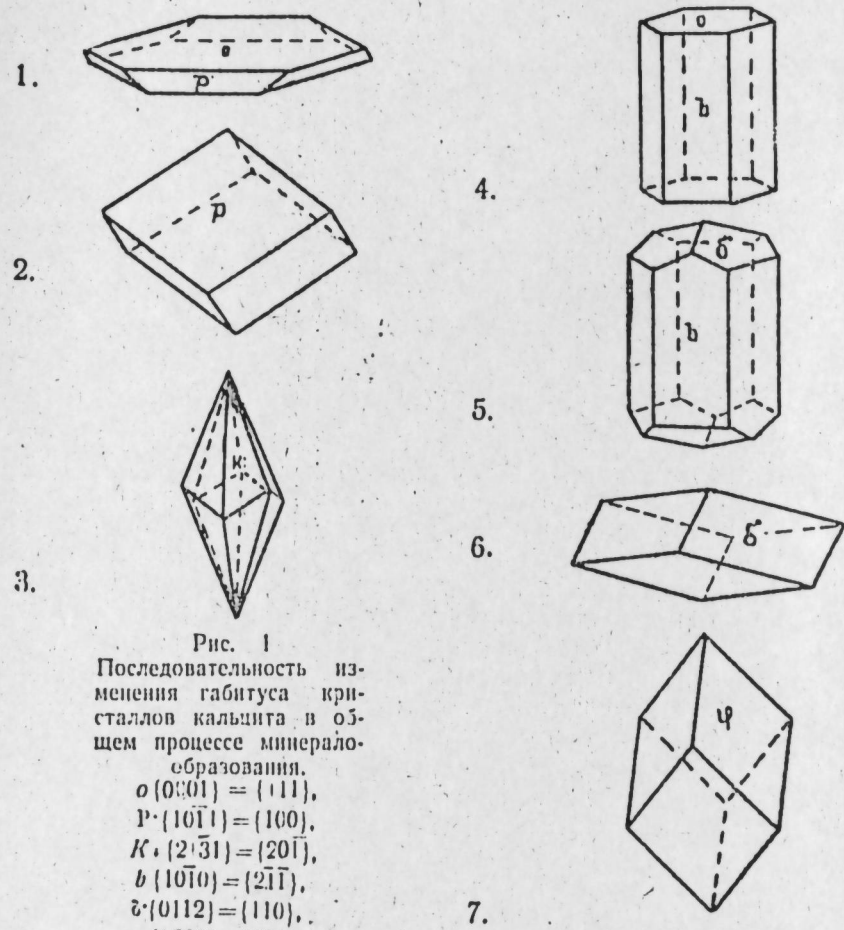


Рис. 1  
Последовательность изменения габитуса кристаллов кальцита в общем процессе минералообразования.  
 $\sigma(0001)=[111]$ ,  
 $P(10\bar{1}1)=[100]$ ,  
 $K(2\bar{1}31)=[20\bar{1}]$ ,  
 $b(10\bar{1}0)=[2\bar{1}\bar{1}]$ ,  
 $\delta(01\bar{1}2)=[110]$ ,  
 $\varphi(22\bar{1})=[111]$ .

Исходя из изложенного можно уверенно сказать, что сидерит на месторождении является гидротермальным минералом и образовался в той стадии минерализации, которая характеризуется призматическими по  $b+\delta$  и отрицательно ромбоэдрическими по  $\delta$  кристаллами кальцита.

Путем изучения взаимоотношений индивидов разных минералов с индивидами кальцита, с помощью приводимого ряда можно также различить отдельные генерации минералов. В качестве примера укажем на установление также неизвестных поныне на месторождении генераций двух минералов: кварца и гетита.

На горизонте 1555 м северо-восточного участка в последние стадии роста призматических кристаллов кальцита с  $b(10\bar{1}0)=[2\bar{1}\bar{1}]+\delta(01\bar{1}2)=[110]$  прошло введение "дипирамидальных" кристаллов кварца новой генерации, нарастающих также на призматические кристаллы

кварца более ранней генерации и на тонкие иголочки биссолита. Размеры этих совершенно прозрачных кристалликов кварца кумберландского типа (однажды также из северо-западного участка) не превышает 10 м. в направлении главной оси. Они представлены одинаково развитыми гранями положительного и отрицательного ромбоэдров  $\tau(10\bar{1}1)=[100]$ ,  $\rho(01\bar{1}1)=[22\bar{1}]$  хорошоющего съединения, в комбинации с которыми изредка отмечается весьма слабо развитая призма  $b(10\bar{1}0)=[2\bar{1}\bar{1}]$ . На указанные индивиды кварца нарастают отрицательно ромбоэдрические кристаллы кальцита по  $\delta$ :  $[01\bar{1}2]=[110]$ , что позволяет с большой точностью определить генетическое положение индивидов этой самостоятельной генерации кварца, соответствующее поздним этапам образования призматических кристаллов кальцита с  $b+\delta$ .

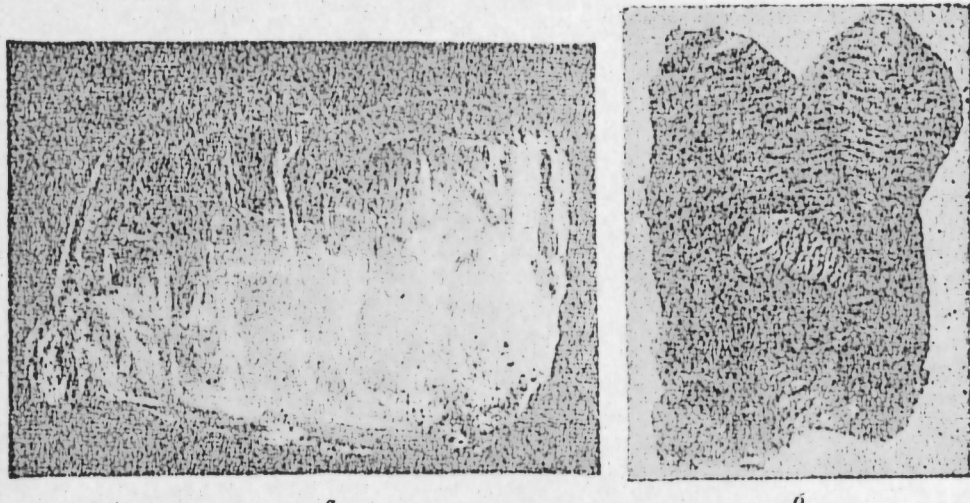


Рис. 2  
Нарастание сидерита на кальцит (натуральная величина).

Другим примером, представляющим немалый интерес, может послужить установление на месторождении гидротермального гетита. Во всех прежних работах он отмечался в качестве гипергенного минерала<sup>1</sup>. Гетит в радиально-лучистом волокнистом агрегате нарастает на кристаллы магнетита в пустотах линз руды массивной текстуры (горизонт 1720 м северо-западного участка). Термограмма его полностью соответствует приводимой в литературе, т. е. характеризуется одной чеккой эндотермической реакцией с максимумом при температуре 30°C. Наличие на термограмме также очень слабо выраженной эндотермической осцилляции с максимумом при 56°C свидетельствует о присутствии в испытуемом минерале весьма незначительного количества гигроскопической воды.

Длина отдельных волокон агрегата не превышает 10 м. На гетит нарастают положительно скаленоэдрические кристаллы кальцита являющиеся, несомненно продуктами гидротермальной стадии минералообразования. В ассоциации принимают участие также мелкие кристаллики пирита до 5 м. в поперечнике, не обнаруживающие никаких признаков разрушения. Такое обстоятельство не оставляет никакого сомнения в

<sup>1</sup> Гипергенный гетит в ассоциации с лепилокрокитом и гематитом в зоне окисления был установлен и автором настоящей работы.

том, что гетит на месторождении образовался также гидротермальным путем и генетическое положение его определяется как до положительно скаленоэдрических кристаллов кальцита (частично и совместно с ними).

Изучая состав первичных газово-жидких включений в разного морфологического типа кристаллах кальцита, можно выяснить вопросы геохимического характера.

Уже было сообщено, что обнаружение бледно-розовых кристаллов кальцита с  $b\{10\bar{1}0\}=\{21\bar{1}\}+\delta\{0\bar{1}12\}=\{110\}$ , содержащих по данным спектрального анализа Mp и Co, дает некоторое представление о химизме минералообразующих растворов конкретного этапа гидротермального процесса.

Другим интересным фактом является также первая находка кобальтовистого кальцита на северо-западном участке месторождения. Он обнаружен в парагенетической ассоциации с лимонитом, являющимся продуктом окисления сульфидов, главным образом пирита, и характеризуется габитусной формой  $\varphi\{02\bar{2}1\}=\{111\}$ . Самая тщательная проверка не привела к обнаружению какого-нибудь кобальтового минерала как в самой подвергшейся окислению руде, так и в продуктах ее окисления. Оказалось, что появление в кальците кобальта в качестве и-оморфной примеси обусловлено тем, что сами подвергшиеся окислению пириты являлись кобальтовистыми.

Из вопросов несколько иного характера, однако разрешаемых также изучением морфологических особенностей кристаллов, укажем выяснение симметрии питающих кристаллы растворов и направления их течения, и совершенно точное определение момента проявления внутриминерализационных тектонических подвижек, определяющих пути движения гидротермальных растворов.

Конкретные примеры по первому из этих вопросов достаточно полно освещены в других работах автора по исследованию реальной симметрии как с неодинакостью размеров граней одной и той же простой формы, так и с аномальным появлением (т. е. развитием только некоторых) граней комбинации.

Наличием в кристаллах присыпок — общезвестных „палессейсомограмм“ и благодаря зафиксированию ими в момент тектонических подвижек определенного габитуса, характеризующего конкретный этап, можно получить довольно четкое представление о характере внутриминерализационных тектонических подвижек в общем процессе минералообразования.

Цементирование раздробленных кристаллов аметиста, достигающих в поперечном сечении 5–8 см (а изредка и больше), кальцитом положительно скаленоэдрического габитуса (горизонты 1610–1620 м северо-восточного участка) определяет относительное время тектонических подвижек как после образования магнетита и аметиста, но до выделения скаленоэдрических кристаллов кальцита, т. е. в процессе гидротермальной минерализации.

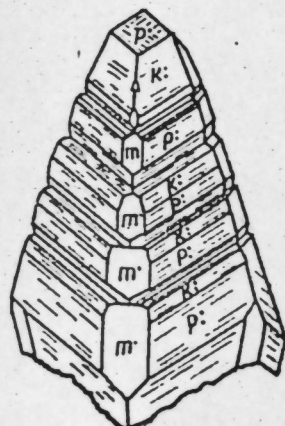


Рис. 3

Регенерированный кристалл из северо-западного участка месторождения.

Момент тектонических подвижек можно установить также по таким их следствиям, как признаки пластической и хрупкой деформации кристаллов определенного габитуса.

Весьма интересным является прекрасный индивид (рис. 3), подвергшийся деформации, частичному растворению, а в дальнейшем — быстрой регенерации.

В момент деформации кристалл характеризовался положительно скаленоэдрическим габитусом: она выразилась в растрескивании по плоскостям спайности  $p\{10\bar{1}1\}=\{100\}$ . В дальнейшем, когда кристалл подвергся растворению, естественно, эти направления оказались направленными наиболее интенсивного растворения. Интересно, что позднее благодаря поступлению уже другого состава (пересыщенных) растворов, произошла регенерация кристалла, причем она сильнее выразилась в залечивании трещин.

Не останавливаясь на весьма многочисленных примерах, укажем, что в целом на месторождении момент смены одной генерации минерала другий совпадает с моментами проявления внутриминерализационных тектонических подвижек.

Автор выражает большую благодарность проф. А. З. Везирзаде, взявшему на себя руководство его работой.

Азербайджанский институт нефти и химии им. М. Азизбекова

Поступило 10.V 1963

Р. М. Элиев

Минеракенезис мәсәләләринин һәлли үчүн калсит кристалларының морфология жүсүсүйәтләриндә истифадә едилмәси (Дашкәсән жатағы мисалында)

#### ХУЛАСӘ

Мәтбүатда хәбер верилди кими, Дашкәсән жатағындан бир нечә ил мүддәтинде топланыш материалларын тәдгигаты иәтичәсендә мүәјҗән олмушшур ки, үмуми минералтөрәмә просесинде калсит кристалларының формасы вәнид бир ганун үзрә дәжишир (1-чи шәкил). Белә нал ондан минералкенезисә анд бир чох мәсәләләрин һәллиндә истифадә етмәјә имкан верир. Мәгаләдә бу мәсәләләрдән анчаг бир нечәси тәсвир едилмишdir. Бунлар сидерит, һидротермал кетит, жатағы шималтәрб саһәсендә кобалты калсит, кумберланд типли кристалларла характеризә олунан кварсын сәрбәст кенерасијасыны ашқар едилмәси вә онларын үмуми минералтөрәмә просесинде кенетик вәзијәтләринин јүкәк дәғигликлә тә'јин кими тамамилә јени олан мә'луматлардыр.

Мүәјҗән едилмиш ганунаујғуилуг жатағда минералтөрәмә просесинде баш вермиш тектоник һәрәкәтләрин вахтыны да тә'јин етмәјә имкан верир.

Р. Р. РАХМАНОВ

## О КОРНЯХ ГРЯЗЕВЫХ ВУЛКАНОВ АЗЕРБАЙДЖАНА

(Представлено академиком АН Азербайджанской ССР А. А. Якубоевым)

Правильное определение корней грязевых вулканов позволяет судить о стратиграфической приуроченности газовых скоплений, являющихся одним из главных причин их образования.

Комплексное изучение продуктов извержения грязевых вулканов (петрографическое, гидрогеологическое, geoхимическое, микробиологическое), переведенное различными исследователями, показало, что корни этих вулканов находятся в осадочной толще земной коры [4] и приурочиваются к различным стратиграфическим интервалам, охватывающим нижнетретичные и мезозойские отложения [1, 3, 5 и др.].

Известно, что корни грязевых вулканов определяются, в основном, по микрофаунистическим исследованиям грязевулканических брекчий. Правильность же заключений по этим данным будет зависеть от полноты сбора образцов пород. Поэтому нередко корень одного и того же вулкана различными исследователями в различных этапах исследований связывается с различными стратиграфическими глубинами. Так, например, о корнях грязевых вулканов Тоурагай, Дуровдаг, Мишовдаг и других существуют различные мнения.

При грязевулканической деятельности породы, в которых находится корень грязевого вулкана, могут быть и не захвачены флюидами, движущимися вверх по трещинам. В этом случае в составе твердых выбросов они не будут представлены.

Для установления истинного корня того или иного грязевого вулкана, по нашему мнению, всестороннему исследованию должны подвергаться не только твердые выбросы, которые часто не вскрывают действительного положения вещей, но и газы и флюиды, являющиеся основными движущими силами в грязевулканических извержениях. Такие исследования необходимо произвести именно с точки зрения определения стратиграфической приуроченности корней грязевых вулканов.

Обычно в результате разрыва сплошности вышележащих слоев жерло вулкана пересекает несколько нефтегазоносных толщ. Примером служит Нижнекуринская депрессия, где нефтегазоносные горизонты размещены в отложениях ашхеронского, акчагыльского ярусов и верхней части продуктивной толщи. Благоприятными для скопления нефти и газа являются низы продуктивной толщи, миоцен-олигоценовые и ме-

зозойские отложения. Таким образом, жерла вулканов, расположенных в этой депрессии (Калмас, Мишовдаг, Дуровдаг, Кюрсангя и др.), рассекают одновременно несколько нефтегазоносных толщ. Учитывая изложенное, можно предположить, что в составе газов, выделяющихся из кратерных частей грязевых вулканов, участвуют газы различных стратиграфических единиц. Отношения отдельных составных компонентов газов, приведенные Ф. Г. Дадашевым [2], по-видимому, являются среднеарифметическими и не дают достаточного основания для определения стратиграфического положения корней грязевых вулканов.

На наш взгляд, вопрос о корнях грязевых вулканов необходимо рассматривать в общем плане, в тесной связи с их геологическим строением и историей.

В результате изучения грязевых вулканов Прикурийской низменности и от части Кобыстанской области, Ашшеронского полуострова и Западной Туркмении нами получены данные, позволяющие изменить представления о корнях грязевых вулканов Азербайджана.

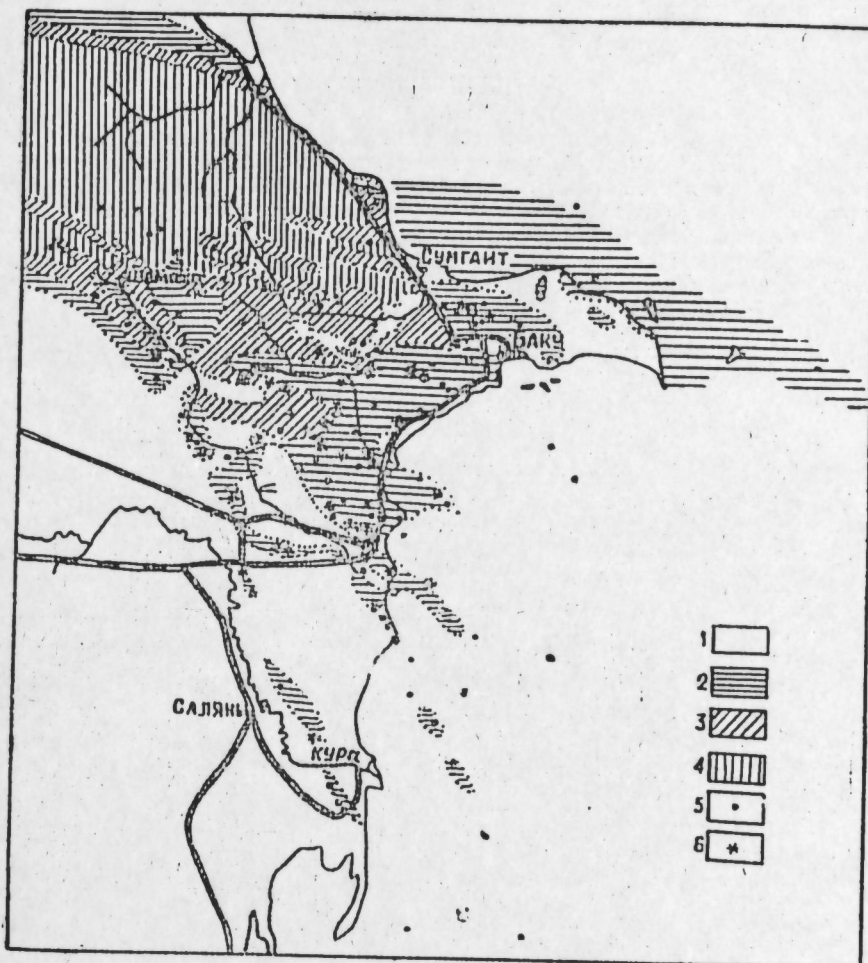
Как известно, грязевые вулканы Азербайджана расположены в области развития осадочных образований различного стратиграфического возраста. Грязевые вулканы Северного Кобыстана приурочены к выходам меловых и отчасти палеогеновых отложений, Центрального Кобыстана — к палеогенным отложениям, а Южного Кобыстана, Прикурийской низменности, Ашшеронского полуострова, Ашшеронского и Бакинского архипелагов — к отложениям от олигоцена до постплиоцена включительно.

Единственный грязевой вулкан Кайнарджа Прикаспийско-Кубинской области находится на плиоценовых отложениях (см. рисунок). Учитывая неглубокое залегание меловых отложений в Северном и Центральном Кобыстане, а также наличие мощных газовых выбросов из мезозоя на площадях, близко расположенных к вулкану Кайнарджа (Кешчай, Бегимдаг-Тегчай, Ситалчай, Советабад) Прикаспийско-Кубинской области, можно считать, что корни грязевых вулканов указанных областей находятся ниже кайнозоя.

В составе твердых выбросов большинства грязевых вулканов Южного Кобыстана, Прикурийской низменности, Ашшеронского полуострова и Бакинского архипелага широко участвуют породы мезозойского возраста. Породы меловых отложений были встречены нами в выбросах грязевых вулканов Прикурийской низменности — Кюрсангя, Хаммадаг, Блядован, Кырлы, Ахтарма-Пашалы, Калмас, Дуровдаг, Малый и Большой Мишовдаг<sup>1</sup>. Об участии меловых пород в отдельных вулканах указанной низменности упоминают В. В. Богачев, С. А. Ковалевский, М. Г. Агаджев, В. Е. Руженцев и Ад. А. Алиев. Кроме того, различные исследователи (С. А. Ковалевский, С. Р. Зубер, М. В. Абрамович, А. А. Якубов, В. Е. Хайн, Г. А. Ахмедов, М. М. Зейналов и др.) указывали на нахождение пород мезозойского возраста среди твердых выбросов грязевых вулканов других грязевулканических областей Азербайджана (Клыч, Котурдаг, о. Лось, Локбатан, Календар-ахтарма, Шонгар, о. Свиной, Гюльбахт и др.).

Морфологическое изучение грязевых вулканов, расположенных в пределах одной структуры (Агзыбирская, Бабазананская, Карадагская группы грязевых вулканов, а также Челекенская и Кеймир-Чикишлярская группы Западной Туркмении) или на стыке нескольких структур (Отманбоздаг, Ахтарма-Пашалы) показывает, что на общем фоне выделяется один грязевый вулкан, по своим размерам превосходящий

другие. На нем встречаются породы наиболее древнего возраста (палеоген, мел). По-видимому, это указывает на то, что вулканы крупного размера связаны с основными жерлами, а другие, относительно мелкие — с его ответвлениями или же являются «паразитическими» конусами крупных вулканов.



1—четвертичные отложения; 2—плиоценовые отложения; 3—миоцен-палеогеновые отложения; 4—меловые отложения; 5—грязевые вулканы; 6—вулканы погруженных участков, в выбросах которых найдены породы мела.

Учитывая сказанное и неравномерное расположение вулканов, имеющих корни в меловых отложениях или близко расположенные к ним, в составе твердых выбросов которых найдены только нижнетретичные породы, можно предположить, что корни грязевых вулканов наиболее погруженных участков Азербайджана также опускаются ниже третичных отложений.

Имеющиеся данные позволяют сделать вывод, что наиболее древними породами, участвующими в составе вулканов депрессионных участков в основном являются верхнемеловые образования, а в случае расположения вулканов на склонах депрессий и в приподнятых частях крупных антиклинальных зон древние породы относятся к илзам мезозойского комплекса.

<sup>1</sup> Микрофаунистические исследования проведены Д. А. Агаларовой.

Принимая во внимание расположение грязевулканических брекчий (в жерле вулканов) над газовыми скоплениями, с которыми связаны истинные корни грязевых вулканов, можно предположить, что корни грязевых вулканов Азербайджана спускаются ниже указанных комплексов отложений.

Для окончательного решения этих важных с научной и практической точек зрения вопросов необходимо усилить исследование грязевых вулканов.

#### ЛИТЕРАТУРА

1. Агаларова Д. А. Корни грязевых вулканов Азербайджана. Баку, 1945.
2. Дадашев Ф. Г. К вопросу о различии углеводородного состава газов грязевых вулканов и нефтяных месторождений, «АН Азерб. ССР», 1960, т. 16, № 12. 3. Зейналов М. М. Грязевые вулканы Южного Кавказа и их связь с газонефтяными месторождениями. Азернефтешр, 1960. 4. Сб. «Результаты исследования грязевых вулканов Крымско-Кавказской провинции». Изд-во АН СССР, 1939. 5. А. А. Якубов. Грязевые вулканы Азербайджана и их связь с нефтяными месторождениями. Изд-во АН Азерб. ССР, 1948.

АзНИИ по добыче нефти

Поступило 4. VI 1963.

Р. Р. Раиманов

#### Азэрбајҹанын палчыг вулканларынын «көкләри» һагында

#### ХУЛАСӘ

Палчыг вулканларынын «көкләри» вулкан брекчијаларынын микропалеонтологи тәдгигатына көрә тә'јин едилүр. Лакин бу тәдгигат чох вахт дүзүү нәтижә вермүр. Она көрә дә ejini вулканын «көкләри» һагында мұхтәлиф нәтичәләр мөвчуддур.

Бизим фикримизчә, палчыг вулканларынын «көкләри»нин тә'јининде пүскүрмә мәңсүлу олан газ вә флюидләр дә тәдгиг олунмалыдыр, чүнки онлар вулканларынын эсил «көкләри» илә әлагәдардыр. Бәрк пүскүрмә мәңсүлларынын вә вулканларын морфологи хүсусијәтләринин ёjrенилмәси көстәрир ки, Азэрбајҹанын палчыг вулканларынын «көкләри» кајизој сүхур комплексиндән ашагыда јерләшир. Экәр депрессија саһәләриндә јерләшән вулканларын брекчијасында Уст Тәбашир сүхурлары раст көлірсә, депрессија ётәкләриндә вә бөյүк антиклинал зоналарын јухары һиссәләриндә јерләшән вулканларын брекчијасында Алт Тәбашир сүхурлары иштирак едир. «Көкләри» вулкан брекчијасындан алтада јерләшән бөйүк газ јығымлары илә әлагәдар олмасының изәре алараг, онларын јухарыда адлары чәкилән сүхурлардан ашагыда јерләшмәсини күман етмәк олар.

Р. Г. БАБАЕВ

#### СТРАТИГРАФИЧЕСКОЕ ЗНАЧЕНИЕ ВЕРХНЕЮОРСКИХ ШЕСТИЛУЧЕВЫХ КОРАЛЛОВ СЕВЕРО-ВОСТОЧНОЙ ЧАСТИ МАЛОГО КАВКАЗА (АЗЕРБАЙДЖАН)

(Представлено академиком АН Азербайджанской ССР К. А. Ализаде)

Для удовлетворения постоянно растущих потребностей народного хозяйства республики необходимо более усиленными темпами выявлять и разведывать все новые и новые месторождения различных полезных ископаемых. Успешность разрешения этого вопроса во многом зависит от степени детальности стратиграфии соответствующих отложений, разработанной лишь на основании глубокого и всестороннего изучения отдельных групп ископаемых.

С этой точки зрения большой интерес представляют верхнеюорские шестилучевые кораллы — одна из важнейших в стратиграфическом отношении групп ископаемой фауны, — широко распространенные в указанных выше отложениях северо-восточной части Малого Кавказа.

До настоящего времени при изучении стратиграфии верхнеюорских отложений особенно большое внимание уделялось определению и описанию моллюсковой и частично брахиоподовой фауны.

Шестилучевые кораллы эпизодически собирались и определялись отдельными геологами, не специалистами.

Тем не менее до последнего времени монографическое изучение этой группы остатков беспозвоночных не производилось, и поэтому в отечественной палеонтологической литературе они почти не освещены. Лишь в монографии Г. В. Абиха [6] впервые мы находим описание нескольких видов шестилучевых кораллов из различных пунктов Нагорного Карабаха и прилегающих к ним участков.

Следует отметить, что остатки шестилучевых кораллов описаны Г. В. Абихом более или менее подробно только на основании морфологических признаков. Микроструктурные элементы скелета коралла им совсем не изучены. К сожалению, описанные Г. В. Абихом виды не сопровождаются изображением.

Значение работы Г. В. Абиха заключается в том, что в ней впервые описаны остатки шестилучевых кораллов из верхней юры Малого Кавказа и наряду с этим поставлен вопрос о стратиграфической значимости кораллов, хотя в этом вопросе им были допущены некоторые ошибки.

В течение долгого времени после выхода в свет работы Г. В. Абиха специальным изучением фауны шестилучевых кораллов в Азербайджане никто не занимался. Но в отдельных стратиграфических работах (В. В. Богачева, Б. Я. Меренкова и П. А. Литвиненко, Л. Н. Леонтьева, В. Е. Ханина и В. В. Тихомирова, М. Р. Абдулкасумзаде и М. А. Кашкай) приводились данные о наличии тех или других видов кораллов в отложениях верхней юры Малого Кавказа, которые в ряде случаев послужили основанием для стратиграфического расчленения указанных отложений.

Нами детально обработана и изучена коллекция верхнеюрских шестилучевых кораллов из северо-восточной части Малого Кавказа, собранная за последние годы старшими научными сотрудниками Института геологии АН Азербайджанской ССР Т. А. Гасаювым, М. Р. Абдулкасумзаде, Р. Н. Абдуллаевым, Э. Ш. Шихалибейли и автором этой статьи в течение 1960—1962 гг.

Изучение шестилучевых кораллов позволяет нам отметить, что эта группа беспозвоночных в карбонатной фации, представленной различными разновидностями известняков, играет довольно существенную роль, тогда как в других фациях (терригенной и туфогенной) они встречаются сравнительно редко.

В этом отношении особенно отмечаются отложения верхнего мальма, содержащие обильную фауну шестилучевых кораллов, на основании которых в настоящее время в значительной степени разрешается задача стратиграфически детального расчленения верхнеюрских отложений этой области.

Шестилучевые кораллы были встречены нами в отложениях нижнего келловея, верхнего оксфорда и нижнего киммериджа.

Из нижнего келловея (гр. Зинзагал, Кяпаз), представленного мелко- и крупнозернистыми, известковыми песчаниками, туфолесчаниками и туфогравелитами, нами определены *Montlivaltia labechii* Edw. et Haime, *Anabacia orbulites* (Lam.).

Отложения верхнего оксфорда<sup>1</sup> в пределах исследуемой области изучались нами весьма детально. Они представлены органогенными, мраморизованными, мелко- и среднезернистыми, светло-темно-серыми, желтовато-зелеными с линзовидными прослойками доломитов и туфопесчаников. В нижней части известняки брекчииевидные и песчанистые с многочисленными кораллами.

В результате монографическое изучение шестилучевых кораллов дало нам возможность отнести верхнюю часть известняковой толщи, датированную раньше лузитаном, к нижнему киммериджу, что дает возможность четко проследить границу между оксфордом и киммериджем.

Отложения верхнего оксфорда отмечаются в окрестностях сел. Еникенд, Шаумян, Заглик, Загалы, Дастафур, на гр. Кырвакар, Шарукар и Кяпаз, откуда нами определены *Cyathophora bourgueti* (Defr.), *Cyath. parcaulis* Bab. sp. nov., *Stylosmilia michelini* Edw. et Haime, *Cladophyllia ramea* Kobу, *Cryptocoenia castellum* (Mich.), *Cr. decipiens* (Etall.), *Cr. octosepta* (Etall.), *Cr. thiessingi* Kobу, *Cr. sexradiata* (Goldf.), *Stylinx girodi* Etall., *S. tenax* Etall., *S. lobata* (Münst.), *Heliocoenia etalloni* Kobу, *H. aff. decasepta* Solomko, *H. bendukidense* Bab. sp. nov., *H. zaglica* Bab. sp. nov., *H. abichi* Bab. sp. nov., *H. sp. indet.*, *Montlivaltia truncata* (Defr.), *Thecosmilia* sp. indet., *Isastraea helianthoides* (Goldf.), *J. bernensis*

<sup>1</sup> Лузитан рассматривается как верхний оксфордский подъярус.

Etall., *J. fromenteli* Kobу, *J. cf. thurmanni* Etall., *Complexastraea cf. rustica* (Defr.), *Aphragmastraea jurassica* Bab. sp. nov., *Calamophyllia furcata* Kobу, *Fascia striatula* Kobу, *Thamnasteria lomonitana* Etall., *Limorpharaea expansa* Solomko и др.

Нижнекиммериджские отложения представлены мелко- и среднезернистыми, песчанистыми, кремнистыми, темно-серыми, светло-красно-бурыми известняками с плитчатой отдельностью и прослойками доломита и туфогенного материала и линзовидными включениями яшмы и кристаллического кальцита.

Отложения нижнего киммериджа выделяются нами в окрестностях сел. Коминтерн, Шаумян, Заглик, на гр. Шарукар, Кырвакар и Кяпаз, откуда автором определены *Stylosmilia suevica* Becker, *Cladophyllia diehotoma* (Goldf.), *Cryptocoenia octonaria* (Ogb.), *Cr. tabulata* Kobу, *Gr. limbata* (Goldf.), *Cr. delementana* Kobу, *Stylinx excelsa* Etall., *S. tuberculifera* (Phill.), *S. aff. bernensis* Etall., *Heliocoenia aff. etalloni* Kobу, *Lipocoenia clathrata* (Etall.), *L. garmani* Bab. sp. nov., *Confusastraea crassa* (Goldf.), *Calamophyllia flabellum* Blain., *C. etalloni* Kobу, *Fascia michelini* Edw. et Haime, *F. thurmanni* Etall., *Thamnasteria concinna* (Goldf.), *Thamnoseris amedei* (Etall.), *Comoseris irridians* Edw. et Haime.

Резюмируя все вышеизложенное, следует прежде всего отметить, что шестилучевые кораллы являются весьма важной в стратиграфическом отношении группой беспозвоночных ископаемых остатков и безусловно могут быть широко использованы для определения возраста отложений и их корреляции.

## ЛИТЕРАТУРА

1. Абдулкасумзаде М. Р. Фауна и стратиграфия верхнеюрских отложений северо-восточной части Малого Кавказа Азербайджана (канд. дисс.). Фонд Ин-та геологии АН Азерб. ССР, 1955.
2. Азизбеков Ш. А. и Паффенгольц К. Н. Верхний отдел юрской системы Малого Кавказа. "Геология Азербайджана" (геоморфология и стратиграфия), т. I, Изд. АН Азерб. ССР, 1952.
3. Богачев В. В. Экскурсия по озеру Гек-Гель. Ежегодник по геол. и мин. России. т. XVII, в.п. 1—3, 1915.
4. Мереников Б. Я. и Литвиненко П. А. Изучение минералогического и химического состава и структуры алюнитовых пород и парагенетически связанных с ними минералов.
5. Ханин В. Е. и Тихомиров В. В. Юрские и нижнемеловые отложения северо-восточных склонов Мугулского хребта (Малый Кавказ). Изв. АН Азерб. ССР, 1948, № 8.
6. Abich H. Geologische Beobachtungen auf Reisen in den Gebirgsländern zwischen Kur und Araxes. Tiflis, 1867.

Институт нефти и химии

Поступило 14. V 1963

Р. Г. Бабаев

Кичик Гафгазын шимал-шәрг һиссәсүнин (Азәрбајҹан ССР әразиси) Уст Йура чөкүңтүләринин стратиграфик әһәмијәттән

## ХҮЛӘСӘ

Бу вакта гәдәр палеонтологлар Кичик Гафгазын шимал-шәрг һиссәсүнин (Азәрбајҹан ССР әразиси) Уст Йура чөкүңтүләринин стратиграфик өлкүсүнү моллуска, гисмән чиңиңа глыларын нұмајәндәләри еәсасен вермишләр. Лакин һәмин чөкүңтүләрдә јухарыда көстәрилән фәгәрәсизләрлә бирликдә сохлу мигдарда мәрчан фаянасы да тапы-

лыр. Буна баҳмајараг, тәдгигатчылар бу группаң галыгларының өјрәнилмәсинә вә тә'жиннә бир оғадәр дә чиддү әһәмијәттөр вермир-диләр. Бу сәбәбдән палеонтологи әдәбијатда алтышұалы мәрчанла-шиләр. Бы сәбәбдән палеонтологи әдәбијатда алтышұалы мәрчанла-шиләр. Г. В. Абихдән башта демәк олар ки, неч кәс онлары тәсвир етмә-мишдири.

Мәгаләниң мүәллифи сон илләрдә Азәрбајҹан ССР Е. А. Кеоло-кия. Институтунда топланан вә еңи заманда мүәллифин Кичик Гаф-газын шимал-шәрг һиссәсінин (Азәрбајҹан ССР әразиси) Уст Іура чө-кунтуләриндән յығдыры алтышұалы мәрчан коллексијасының мүнгәзәм өјрәнилмәсі асасында һәмни чөкунтуләрдә Алт Келловеј, Уст Окс-форд, Алт Киммерич јарыммәртәбләрини айыры.

Илк дәфә олараг мүәллиф алтышұалы мәрчан фаунасына асасен-бөйүк галынлыглы әһәнкдашы гатыны Уст Оксфорд вә Алт Кимме-рич јарыммәртәбләрине айырыр вә ондары рәһбәр фауна комплекси илә характеризе едир.

ГЕОЛОГИЯ НЕФТИ

К. А. ИСМАИЛОВ, И. Ю. ХАЛИЛОВ

О ТЕКТОНИЧЕСКОМ СООТНОШЕНИИ ТРЕТИЧНЫХ  
И МЕЗОЗОЙСКИХ ОТЛОЖЕНИЙ В СЕВЕРНОЙ ЧАСТИ  
АПШЕРОНСКОГО ПОЛУОСТРОВА

(Представлено академиком АН Азербайджанской ССР М. В. Абрамовичем)

Несоответствие в тектонике разновозрастных отложений является одной из основных причин, затрудняющих выбор мест заложения поисковых скважин в зонах погребенных поднятий. Поэтому данные геологии, бурения и сейсморазведки северной полосы Апшеронского полуострова, выделяемой в качестве одного из районов, благоприятных для вскрытия и изучения разреза мезозойских отложений [2], требуют тща-тельный анализа.

Северную полосу Апшеронского полуострова, где по данным сейсморазведки в подстилающих продуктивную толще отложениях намечается древний выступ, на существование которого еще ранее имелись отдельные указания [1, 4, 6], в структурном отношении нельзя рассматривать как однородный тектонический элемент.

По характеру складчатости и тектонического соотношения третичных и мезозойских отложений западная и восточная части данной по-лосы, границу между которыми условно можно провести по меридиану, проходящему западнее сел. Кюрдаханы, в значительной мере отличающиеся друг от друга. Для западной части характерно отсутствие широтной ориентировки в простирации отдельных поднятий (напр. Фатман, Сараи, Кирмаку), широкое развитие разрывных нарушений с крутыми заворотами линий разрывов в плане, интенсивная дислоцированность слагающих сводовые части ряда складок глинистых толщ палеоген-миоценового возраста и т. д. Тектоника рассматриваемого участка с глубиной становится более сложной. Это видно на сейсмических профилях, отработанных в 1954 г. (данные КМГР), где из-за широкого развития явлений дисгармонии выделение и прослеживание узловых горизонтов в толще мезозоя представляет весьма трудную задачу.

В пределах восточной части северной полосы Апшеронского полуострова в тектонике третичных и мезозойских отложений отмечаются иные соотношения. Здесь положительным структурным элементом (по плиоцену) является лишь Кюрдаханы-Маштаги-Бузовинская зона

поднятия, ориентированная в строго широтном направлении. Она, по существующим представлениям [3, 6], состоит из двух складок: Кюрдаханы-Маштагинского структурного «носса» и Бузовинской брахиантеклиниали. Обособление последней наблюдается лишь на северном крыле указанной зоны поднятия в низах продуктивной толщи, в то время как на южном крыле между площадями Маштаги и Бузовны изогипсы структуры по различным свитам как нижнего, так и верхнего отдела продуктивной толщи какого-либо перекрыва не показывают. В отличие от Бузовинской брахиантеклиниали, где горстово-му строению нижнего отдела продуктивной толщи и более девиных образований (рис. 1) отвечают грабенообразный характер залегания верхнего плиоцена, включая также часть продуктивной толщи (сабуничинская и сурхинская свиты), в пределах Кюрдаханы-Маштагинского структурного «носса» весь мио-плиоценовый комплекс образует единый структурный этаж (рис. 2) в виде периклинального поднятия (по терминологии А. А. Ализаде) на восточном крыле Фатыминской складки.

Для восточной части северной полосы Апшеронского полуострова характерным является наличие значительного перерыва в разрезе слагающих ее третичных отложений. Приведем несколько фактов. На площади Бузовны ряд скважин под сокращенной мощностью различных свит продуктивной толщи от балаханской до КС включительно в одних случаях вскрывал диатомовую свиту, в других коунскую. При этом майкопская свита ни в одной скважине не была вскрыта [3].

Скважина, заложенная на мысе Шоулан на глубине 3300 м, из кирмакинской свиты вошла в коунскую (эоцен).

На южной периклиниали складки Мардакяны-море, недалеко от Шоуланского побережья, судя по данным скважины № 9, кирмакинская свита в нормальном залегании контактирует с отложениями диатомовой свиты.

Некоторые исследователи столь значительный перерыв, который имеет место на площади Бузовны, объясняют влиянием диапризма. Однако повсеместное развитие перерывов в отложениях свидетельствует о том, что вся восточная часть северной полосы Апшеронского полуострова к западу от сел. Кюрдаханы до мыса Шоулан в олигоцен-миоценовое время представляла участок устойчивого поднятия, подвергавшийся размыву. Западная часть рассматриваемой полосы, входившая

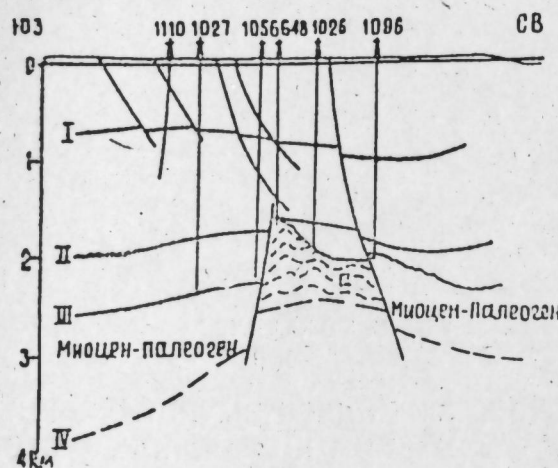


Рис. 1

Бузовинская брахиантеклиниали. Поперечный профиль. (по Б. К. Бабазаде, с изменениями и дополнениями)

I—кровля продуктивной толщи; II—кровля нижнего отдела продуктивной толщи; III—подошва продуктивной толщи; IV—кровля мезозоя; а—пaleоцен-эоцен.

за указанный отрезок времени в состав сумгантского наложенного прогиба [7], испытывала интенсивное погружение, где накопилась толща осадков мощностью не менее 1500 м [6].

Консолидация обеих частей в виде единого выступа произошла, очевидно, перед отложением продуктивной толщи. Границы этого выступа на юге хорошо очерчиваются линией выклинивания калининской свиты, протягивающейся в широтном направлении от Балаханы-Сабуинчи-Раманинской складки (южное крыло) до мыса Шоулан.

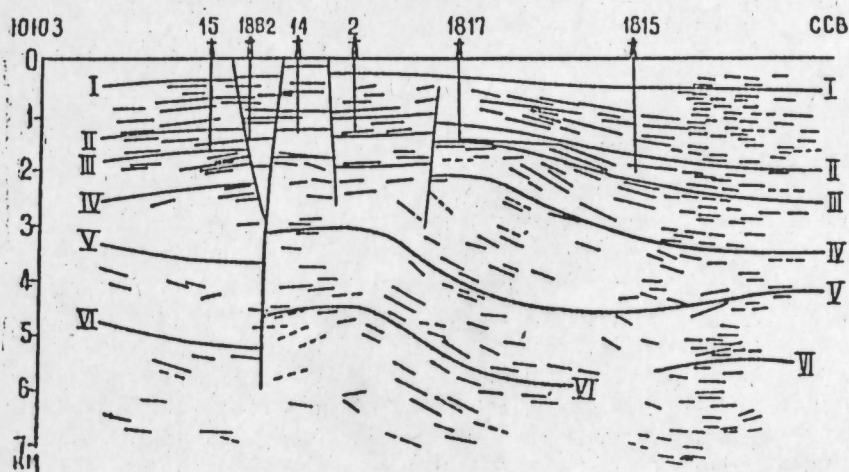


Рис. 2

Кюрдаханы. Сейсмогеологический профиль (по К. А. Исмайловой)  
I—кровля продуктивной толщи; II—кровля нижнего отдела продуктивной толщи;  
III—подошва продуктивной толщи; IV—подошва миоцена; V—кровля мезозоя; VI—  
условный горизонт в мезозойских отложениях.

Тектоническое соотношение третичных и мезозойских отложений в пределах восточной части северной полосы Апшеронского полуострова хорошо иллюстрируется на профиле (рис. 2), проходящем почти в меридиональном направлении восточнее сел. Кюрдаханы. Этот профиль построен нами на основании данных бурения и сейсморазведки (сейсмические профили №№ 338 и 1117). На площади Кюрдаханы разрез третичных отложений вскрыт скважинами до конца включительно. При выяснении глубины залегания кровли мезозоя на сейсмическом профиле для оценки мощности миоцен-палеогеновых отложений критерием служили данные по западной части северной полосы Апшеронского полуострова, где они обнаруживаются на поверхности или вскрыты отдельными скважинами.

Как видно из рис. 2, структура площади Кюрдаханы по мезозойским отложениям представляет резко асимметричную антиклинальную складку, по своей форме приближающуюся к флексуре. Углы падения на северном крыле складки доходят до 35—37°, в то время как на южном крыле не превышают 6—7°.

К северу от Кюрдаханов в море, недалеко от берега, по мезозою намечается небольшой выступ (Кюрдаханы-море), который затухает в самых низах третичных отложений.

В пределах Кюрдаханской площади весь мио-плиоценовый комплекс, а также частично палеоген образуют широкое пологое поднятие,

углы падения на крыльях которого с глубиной увеличиваются от 4—5° в верхах продуктивной толщи до 10—12° в миоцене.

Серия продольных сбросов с амплитудой 50—100 м придает складке блоковое строение. Эти сбросы затухают в низах третичных отложений. Лишь один разрыв с амплитудой 150—170 м, который намечается между скважинами № 14 и 1892 имеет, по-видимому, более глубокое заложение. Об этом свидетельствует увеличение амплитуды смещения с глубиной до 300—500 м, резкое несогласие в залегании третичных и мезозойских отложений к югу, от этого разрыва и изменчивость вдоль него характера отражающих площадок на сейсмическом профиле до глубины не менее 6 км.

Этот разрыв является западным продолжением крупного нарушения с амплитудой до 200—270 м, с которым связан выступ пород эоценомиоценового возраста на своде Бузовинской брахиантиклинали. Восточнее сел. Бузовны по указанному нарушению (амплитуда около 250 м) происходит сопряжение северного борта Шоуланскои мульды и южной периклинали поднятия Мардакяны-море.

Приуроченность пунктов значительных перерывов в разрезе третичного комплекса и тектонического несоответствия разновозрастных отложений к указанной зоне нарушения свидетельствуют о том, что последняя сыграла далеко не последнюю роль в формировании складчатой структуры всей восточной части северной полосы Апшеронского полуострова. Эта зона в настоящее время не потеряла своей активности, что подтверждается локализацией здесь эпицентров ряда частых и не-глубокофокусных землетрясений [5].

Таким образом, как по морфологии, так и по ее развитию северная полоса Апшеронского полуострова является гетерогенным тектоническим элементом. С точки зрения поискового бурения наиболее выгодным расположением отличается ее восточная часть, где устойчивость древнего поднятия в значительной мере препятствовала развитию наложенной складчатости.

Для заложения глубоких скважин лучшим объектом является Кюрдаханская площадь, где кровля мезозоя может быть вскрыта на глубине порядка 3000—3200 м. Здесь проходка скважины в глинистых отложениях конца и миоцена, как показывает опыт бурения, не будет сопровождаться большими осложнениями.

#### ЛИТЕРАТУРА

1. Абрамович М. В. Новые взгляды на геологическое строение Ленинского района. Изд. АзФАН СССР, 1945.
2. Ахмедов Г. А., Салаев С. Г., Исмайлов К. А. Поиски нефти и газа в мезозойских отложениях юго-восточного Кавказа. Азернешр, 1961.
3. Бабазаде Б. К. Бузовны-Маштагинское, нефтяное месторождение. Гостоптехиздат, 1952.
4. Горин В. А. Поиски новых нефтяных залежей в продуктивной толще Апшеронского полуострова. Азнефтехиздат, 1944.
5. Исмайлов К. А., Гаджиев Р. М. Глубинное строение Апшеронской нефтегазоносной области. «Изв. АН Азерб. ССР», сер. геол.-геогр. 1962, № 4.
6. Потапов И. И. Апшеронская нефтеносная область (геологическая характеристика). Изд. АН Азерб. ССР, 1954.
7. Хани В. Е. Тектоническое строение Азербайджана. Труды конф. по вопросам региональной геологии Закавказья. Изд. АН Азерб. ССР, 1952.

Институт геологии

Поступило 19. III 1963.

Г. А. Исмаилов, Н. Я. Халилов

Абшерон јарымадасынын шимал һиссесинде үчүнчү дөвр вә мезозој чөкүнгүләринин тектоник мұнасибәтинә даир

#### ХУЛАСЭ

Мәгаләдә Абшерон јарымадасынын шимал золағынын шәрг вә ғарб һиссәләринин мұхтәлиф жашлы чөкүнгүләринин тектоник мұнасибәт нөгтөji-нәзәрәндән бир-бириндән фәргли олдуғу әсасландырылыры.

Мүәллифләrin фикринчә, Мезозој чөкүнгүләринә кәшфијат гүјусу газылмасы үчүн шәрг һиссәнин Күрдәханы саһәси даһа мұнасибидир. Бурада һәмин чөкүнгүләрин таваны 3000—3200 м дәрінликдә ачыла биләр.

ГИДРОГЕОЛОГИЯ

Л. А. КРАСИЛЬЩИКОВ

**ВОПРОСЫ ПЕРЕХВАТА ПОТОКА ПОДЗЕМНЫХ ВОД  
НАКЛОННЫХ РАВНИН НА ПРИМЕРЕ КИРОВАБАД-КАЗАХСКОЙ  
НАКЛОННОЙ РАВНИНЫ**

(Представлено академиком АН Азербайджанской ССР А. А. Ализаде)

Интенсивное развитие орошаемого земледелия Азербайджана ограничивается плохой обеспеченностью его поливными водами. Использование для этих целей поверхностных вод, даже при условии полного зарегулирования их стока, не решит вопрос об обеспечении водой всех пахотопригодных площадей. Поэтому все большее народнохозяйственное значение приобретает использование для орошения подземных вод, которыми богаты недра республики. Подземные воды артезианских бассейнов Азербайджана частично уже и сейчас используются для целей орошения, но добыча их осуществляется неорганизованно, отдельными, часто несовершенными, капитальными сооружениями.

В современных условиях осуществление добычи подземных вод необходимо решать по-новому, организованно, с большим коэффициентом использования добываемых вод.

В связи с этим гидрогеологами И. С. Кулошвили и автором этой статьи предложен новый способ добычи подземных вод — способ перехвата потока подземных вод единым створом на территории целого артезианского бассейна (так называемый фронтальный перехват потока). Добыча подземных вод этим способом уже осуществляется на территории Кировабад-Казахской наклонной равнины и Карабахской степи.

Прогрессивность этого способа очевидна, и его можно широко применять на других артезианских бассейнах Азербайджана.

Характеристике этого способа перехвата потока подземных вод и применению его в условиях Кировабад-Казахской наклонной равнины и посвящена настоящая работа.

Кировабад-Казахская наклонная равнина расположена в западной части Азербайджана. Ее границами являются: с севера р. Кура, с востока — р. Инчачай, с юга — условная линия, служащая подошвой северо-восточных склонов Малого Кавказа, и с запада — граница с Грузией. В геологическом строении равнины принимают участие отложения от меловых до современных включительно. Все эти отложения

содержат то или иное количество водоносных горизонтов с различной по качеству водой.

Наибольший интерес из них, с точки зрения добычи подземных вод для орошения, в настоящее время представляют подземные воды континентальной толщи, охватывающей комплекс отложений от ашеронских до современных. Континентальная толща прикрывает чехлом почти весь описываемый район. Ее мощность колеблется от нескольких метров до нескольких сотен метров.

В верхней части наклонной равнины континентальная толща сложена в основном валунами и галечниками, ниже крупность фракций уменьшается, и в разрезе начинают встречаться прослои суглинков, выклинивающихся в южном направлении. Далее, по направлению к р. Куре мощность этих слоев возрастает, а мощность слесей крупнозернистых фракций постепенно уменьшается. В прикуриńskiej полосе преимущественное развитие получили суглинистые отложения, в которых в виде отдельных прослоев, выклинивающихся в северном направлении, встречены галечники и пески.

Подземные воды равнины образуются в верхней ее части за счет подземного стока из горной зоны и фильтратов рек. Этот поток единым фронтом движется к р. Куре. Встречая на своем пути полосу чередования крупнозернистых и мелкозернистых пород, подземные воды заполняют все водопроницаемые слои, образуя водоносные горизонты, постепенно выклинивающиеся в северном направлении. Самый верхний слой, не имеющий водоупорной кровли, образует горизонт свободных грунтовых вод. В остальных слоях, перекрытых с трех сторон слабо проникающими породами, воды приобретают напор.

Поток подземных вод, идущий с гор к р. Куре, расходуется в определенном количестве. Величина расхода потока, вычисленная нами по уравнениям баланса подземных вод и по формуле Дарси.

Перехват этого потока было предложено осуществить единым створом по направлению потока, на котором через определенные интервалы расположены каптажные сооружения. Преимущество такого перехвата заключается в том, что путем группового соединения отдельных каптажных сооружений можно получать значительные расходы воды и маневрировать ею для полива поочередно всех массивов орошения. Такой сбор воды носит организованный характер, в то время как применявшаяся ранее перехват воды отдельными каптажными сооружениями, разбросанными по всей площади массива, не был организованным. Добываемая вода распылялась по всему массиву и имела низкий коэффициент использования. Кроме того, отдельные каптажные сооружения имели недостаточные дебиты для обеспечения водой современных карт орошения и тем самым препятствовали ведению сельского хозяйства в соответствии с современными требованиями. Перехват потока по одному створу позволит разрешить и ранее трудно осуществимую задачу электрификации каптажных сооружений, которая будет осуществлена путем строительства линии электропередач (10 кв) вдоль створа каптажных сооружений. Значительно облегчится строительство и эксплуатация каптажных сооружений.

Рекомендуемый способ добычи подземных вод позволяет выбирать наиболее целесообразные площади для заложения створа каптажных сооружений. При выборе этих площадей необходимо учитывать следующее: 1) створ должен располагаться на командных отметках по отношению к орошаемым площадям, чтобы обеспечить самотечную подачу воды на поля; 2) глубина залегания подземных вод на этих площадях

должна быть небольшой, чтобы облегчить строительство каптажных сооружений и подъем подземных вод на дневную поверхность.

Однако в пределах Кировабад-Казахской равнины площади с командными отметками имеет глубину залегания грунтовых вод 60 и более метров, а площади с небольшими глубинами уровня распространены в прикуринской полосе, на низких отметках. В связи с этим необходимо выявить такие площади, которые бы имели командные отметки по отношению к большинству орошаемых площадей и в то же время доступную современным насосам глубину залегания подземных вод. Такими площадями, на наш взгляд, являются площади, примыкающие к железной дороге Баку—Тбилиси. Они имеют командные отметки по отношению к большей части орошаемых земель и глубину залегания грунтовых вод вполне доступную для современных насосов потребной мощности.

Створ каптажных сооружений располагается вдоль линии железной дороги, несколько ниже р. Акстафачай до станции Кюракчай. Восточнее этой станции створ резко сворачивает на юго-восток, пересекает железную дорогу и, проходя через сел. Касум-Исмайлово и Кызыл-Гаджалы, заканчивается у сел. Хаккарвенд.

Створ может состоять из вертикальных (скважин) и горизонтальных каптажных сооружений. Для условий Кировабад-Казахского массива рекомендованы вертикальные каптажные сооружения (скважины). Выбор этого типа каптажных сооружений мотивируется тем, что горизонтальные водосборы применяются обычно при неглубоком залегании подземных вод и небольшой мощности потока. В этих случаях они обеспечивают наиболее полный перехват потока. Участок же створа имеет глубину залегания подземных вод до 30 м и большую мощность потока. Горизонтальные водосборы в этих условиях потребуют больших работ по вскрытию безводной толщи и строительства каскада водосборов для перехвата всего мощного потока подземных вод.

Вертикальные водосборы (скважины) могут применяться при значительных глубинах грунтовых вод и большой мощности потока. Кроме того, бурение и эксплуатация скважин значительно более просты и дешевы, чем строительство и эксплуатация горизонтальных каптажных сооружений.

Перехватывающая способность створа в значительной степени зависит от расстояния между скважинами, поэтому выбор этого расстояния приобретает первостепенное значение. В целях равномерного распределения скважин по массиву предлагается располагать их на равном расстоянии друг от друга. При таком распределении улучшаются условия маневрирования добываемой водой и облегчается обслуживание скважин. Для Кировабад-Казахского массива расстояние между скважинами створа принято равным 500 м. При таком расстоянии створ скважин имеет наибольшие эксплуатационные запасы при допустимом понижении уровня.

Площади, выбранные для размещения створа, расположены в основном в пределах областей развития грунтовых и субартезианских вод. Таким образом, факт заложения створа скважин в этой полосе означает отказ от использования для орошения самоизливающихся артезианских вод. Основной причиной такого решения является то, что самоизливающиеся артезианские воды развиты на площадях, имеющих низкие отметки и не господствующих над орошающей территорией. Помимо этого, артезианские скважины в большинстве своем имеют небольшие дебиты, к тому же значительно падающие во времени. Опыт эксплуатации артезианских скважин в пределах Кировабад-Казахской

равнины показывает, что в среднем дебит артезианских скважин за все время эксплуатации снижается более чем в два раза. Несомненно, что значительную роль в этом снижении играет техническое несовершенство скважин но нельзя недоучитывать и фактора падения пластового давления, которое несомненно имеет место. К недостаткам артезианских вод нужно отнести и резкое падение дебита артезианских скважин при взаимодействии друг с другом.

Добыча подземных вод в скважинах створа и подъем ее на поверхность будут производиться при помощи артезианских турбинных и артезианских погружных насосов различных марок.

Выбор типа насоса для каждой скважины определяется глубиной залегания уровня грунтовых вод, производительностью насоса и высотой его напора. Все насосы приводятся в движение при помощи электродвигателей.

#### Выводы

1. Перехват потока подземных вод наклонных равнины наиболее целесообразно осуществлять единым створом скважин нормальным направлению потока. Такой способ обеспечит сбор значительного количества воды и возможность маневрировать ею.

2. Площадь заложения створа необходимо выбирать с учетом командного положения ее над орошающей территорией и глубиной залегания подземных вод, доступной для современных насосов потребной производительности. В пределах Кировабад-Казахской наклонной равнины створ расположены вдоль железной дороги Баку—Тбилиси.

3. Для перехвата подземного потока наклонных равнины наиболее целесообразно использовать вертикальные каптажные сооружения (скважины), так как они могут вскрывать поток подземных вод на значительных глубинах и большой мощности. Их строительство и эксплуатация просты и дешевы.

4. Расстояния между скважинами створа необходимо принять равными в целях равномерного распределения их по территории равнины. При таком распределении скважин улучшаются условия маневрирования добываемой водой и облегчается обслуживание скважин. Расстояние между скважинами выбирается при расчетах эксплуатационных запасов створа. Для условий Кировабад-Казахской наклонной равнины принятое расстояние между скважинами — 500 м.

5. Створом скважин в основном будут вскрыты грунтовые и субартезианские воды, т. к. артезианские воды расположены на низких, некомандных отметках. Для доставки подземных вод на дневную поверхность будут использованы артезианские турбинные и погружные насосы.

Институт нефти и химии

Поступило 16. V 1963

Л. А. Красильников

Маили дүзәнликләрдә јералты суахымын тутулмасы Ыаггында  
(Кировабад—Газах маили дүзәнлигинде олдуғу кими)

#### ХУЛАСӘ

Маили дүзәнликләрдә јералты суахымын тутулмасы олдуғча мәгсәдәујгуидур.

Бу үсул васитәсилә нормал ахым истигамәтли вайид гују створудан истифадә етмәк олар.

Бу үсул васитәсилә лазым мигдарда сујун тутулмасы тәчhиз олунар вә ондан дүзкүн истифадә етмәк тә'мин едиләр.

Створ саһәсиин сечилмәсі онуң һөкмран олдуғу суварылан әрази-дән вә јералты суларын јатым дәриилийндең асылыдыры.

Кировабад—Газах маили дүзәнлиji саһәсииндә створ Бакы—Тбилиси дәмир ѡолу боуища јерләшир.

Јералты суахымынын тутулмасында гујулардан истифадә етмәк олдуғча мәгсәдәујгуидур. Белә ки, бу гујулар васитәсилә ахымын габағыны бөјүк дәрииликдә вә галыныгда ачмаг олар.

Массивин әразисинде гујуларын дүзкүн јерләшдирилмәсі учүн онларын арасындақы мәсафәләри бәрабәр көтүрмәк лазымдыр. Гујуларын арасындақы мәсафәнин сечилмәсі створуни истисмар ентијатындан асылыдыры.

Кировабад—Газах маили дүзәнлиji шәрәнти учүн гујулар арасындақы мәсафә 500 м гәбул олуңур.

Гујулар створу васитәсилә грунт вә субартезиан су тәбәгәләри ачылар вә бу сулары јер сөттүнә чыхартмаг учүн артезиан насосларындан истифадә едиләр.

Ш. С. РАГИМОВ

ВТОРАЯ ГРУППА ВОЛН РЕЛЕЯ

(Представлено академиком АН Азербайджанской ССР А. Д. Султановым)

В работах [2—4] говорится о наличии следующих друг за другом групп волн Релея. Особенности первой, съичной группы хорошо известны. Чтобы выяснить некоторые особенности второй группы, обратимся к примерам.

На рисунке наряду с теоретическими дисперсионными кривыми<sup>1</sup> приводятся результаты определения групповых скоростей по записям следующих землетрясений: 1957.14.IV—0=19<sup>h</sup>18<sup>m</sup>(9<sup>s</sup>), φ=15,5S, λ=173W; 1954.18.VII—0=19<sup>h</sup>07<sup>m</sup>41<sup>s</sup>, φ=36N, λ=141E; 1956.12.VIII—0=16<sup>h</sup>59<sup>m</sup>37<sup>s</sup>, φ=34N, λ=139E. Для большей уверенности в полученных значениях групповых скоростей волн Релея были использованы записи только вертикальных сейсмографов (системы Д. П. Кирюшина СВК), причем двух близко расположенных сейсмических станций—“Кировабад” и “Горис”.

Теоретические дисперсионные кривые 3, 4, III<sup>1</sup>, IV<sup>1</sup>, III и IV вычислены [1] в предположении:

$$b_3 = 4,4 \text{ км/сек}, \frac{a_3}{b_3} = 1,85, \frac{a_2}{b_3} = 1,46, \frac{a_1}{b_3} = 1,28,$$

$$\frac{b_2}{b_3} = 0,88, \frac{b_1}{b_3} = 0,76, \sigma_1 = 1,48, \sigma_2 = 1,48,$$

$$\sigma_1 = \mu_1 + i\mu_1 \quad (\iota = 1; 2)$$

а кривые 3' и 4' [5] в предположении:

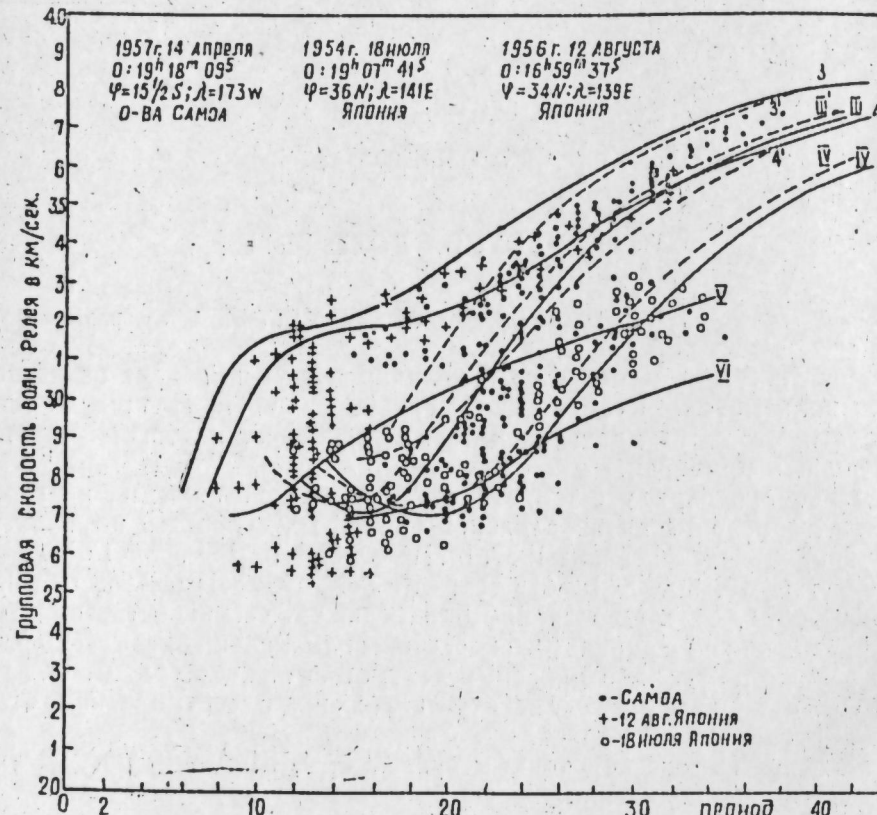
$$b_3 = 4,3 \text{ км/сек}, \frac{a_1}{b_3} = 1,28, \frac{b_2}{b_3} = 0,86, \frac{b_1}{b_3} = 0,78,$$

$$\frac{\rho_2}{\rho_3} = 0,84, \frac{\rho_1}{\rho_3} = 0,78.$$

где  $a_1, a_2, a_3, b_1, b_2, b_3$ —скорости соответствующих предельных и попечальных волн;  $\rho_1, \rho_2, \rho_3$ —плотности;  $\mu_1, \mu_2$ —коэффициенты Ляме (индексы 1, 2 и 3 относятся соответственно к гравитации, сжатию, сдвигу).

<sup>1</sup> Хотя и стоят не совпадающими со склонением исходным параметрам.

слою и подстилающему основанию). Кривые 3, III' и III рассчитаны для толщины земной коры 27 км кривая 3'—для 28 км, кривые 4, IV' и IV для 35 км, кривая 4'—для 32 км, причем отношение мощностей гранитного слоя  $H_1$  и базальтового  $H_2$  слоев для кривых 3', 4', III' и IV'  $\frac{H_1}{H_2} = 2$ , для кривых 3 и 4  $\frac{H_1}{H_2} = 0,364$ , а для кривых III и IV  $\frac{H_1}{H_2} = 2,75$ .



Не вдаваясь в детали, укажем на следующее. Из сравнения теоретических кривых (3, 4, 3', 4', III', IV', III, IV) и экспериментальных данных легко установить (см. рис.), что хотя данные второй группы лежат в пределах той же толщины, что и данные первой группы ( $\approx 30$  км), но с другой стороны значения остальных параметров коры, полученные из интерпретации записей первой и второй групп, различаются между собой. Так, например, для обеих групп при равных отношениях  $\frac{H_1}{H_2} = 2$  различаются остальные параметры приведенных теоретических дисперсионных кривых, а при равенстве остальных параметров различаются отношения  $\frac{H_1}{H_2}$  (для первой группы  $\frac{H_1}{H_2} = 0,364$ , а для второй группы  $\frac{H_1}{H_2} = 2,75$ , см. выше). Такая противоречивая интерпретация, естественно, неверна.

Интерпретация данных второй группы теоретическими кривыми V и VI (толщины соответственно 16 и 27 км), также как и с кривыми 3' и 4', в среднем указывают на мощность гранитного слоя  $\approx 20$  км (кривые V и VI вычислены в предложении однослоевой модели земной коры, где гранитный слой подстилается базальтовым полупространством, т. е.  $b_2 = 3,54$  км/сек  $\frac{a_2}{b_2} = 1,81$ ;  $\frac{a_1}{b_2} = 1,59$ ;  $\frac{b_1}{b_2} = 0,94$ ).

По-видимому наличие этой группы обусловлено только гранитным или гранитным и сидочным слоями<sup>2</sup>. Однако работа в направлении расшифровки природы второй группы должна быть продолжена.

## ЛИТЕРАТУРА

- Кейлис—Борок В. И., Стесин И. М. Дисперсия гравитационных волн в двуслоевой модели земной коры. Изв. АН СССР\*, сер. геофиз., 1959, № 1.
- Рагимов Ш. С. Экспериментальное изучение дисперсии скоростей распространения волн Релея по наблюдениям на трех близких станциях (канд. д.с.). М., 1958.
- Саваренский Е. Ф., Рагимов Ш. С. Спределение скорости волн Релея и направление на эпицентр по трем близким станциям. Изв. АН СССР\*, сер. геофиз., 1958, № 12.
- Саваренский Е. Ф., Рагимов Ш. С., Агафонов С. С. Об определении групповых скоростей поверхностных волн и некоторых примерах таких определений (посвящено I Всесоюзной конференции по итогам МГГ). М., январь 1963).
- Stoneley R. Rayleigh waves in a medium with two surface layers. Month. Not. Roy. Astr. Soc., Geophys. Suppl. 7, 1955, № 2.

Институт геологии

Поступило 11. III 1963

Ш. С. Рагимов

## Релеј далғаларының иккінчи групу

### ХУЛАСЭ

Мегаләдә Релеј далғаларының иккінчи групу олмасы көстәрилүр. Тәчрүби иәтичәләр интеграл тәсбәткәнде мүтәжисә едиимаси иәтичәсендә белә өткөрмәләр күрсәтүлгөн. Иккінчи групу олмасы гранит лаңылә әлагәдардыр.

<sup>2</sup> Отметим, что за второй группой следует третья группа волн Релея. Возможно что наличие третьей группы обусловлено сидочным слоем.

ПАЛЕОГЕОГРАФИЯ

Т. С. ШАХСУВАРОВ

**О СОЛЕВОМ РЕЖИМЕ БАССЕЙНА ПРОДУКТИВНОЙ ТОЛЩИ  
АПШЕРОНСКОГО ТИПА**

(Представлено академиком АН Азербайджанской ССР Ш. Ф. Мехтиевым)

Как известно, изучение физико-химических условий, господствовавших в древних бассейнах седиментации, имеет не только теоретическое, но и большое практическое значение в связи с приуроченностью к ним разнообразных полезных ископаемых, в частности нефти и газа. В этом плане значительный интерес представляет и бассейн продуктивной толщи апшеронского типа.

В настоящей статье нам хотелось бы остановиться на малоизученных вопросах солевого режима упомянутого бассейна. Для реконструкции солевого режима данного бассейна мы опираемся как на данные литологии, так и органического мира.

Как известно, в разрезе продуктивной толщи апшеронского типа имеются гипс, ангидрит, целестин в аутигенной части минералов тяжелой фракции а по данным А. Д. Султанова [12] и доломит (в растворимой части пород).

Эти факты свидетельствуют не только о жарком, засушливом климате, о чем мы говорили ранее [15], но и о накоплении осадков в условиях осолоненного бассейна.

Так, согласно схеме накопления осадков в усыхающем (а значит и все более осолоняющемся) бассейне [3] снизу вверх следуют: болотная железная руда, карбонат кальция, доломит, гипс и ангидрит, соль ( $\text{NaCl}$ ), полигалит и рассол.

Если учесть, что в терригенных осадках продуктивной толщи данного типа встречаются гипс, ангидрит, а также доломит (в растворимой части пород), станет ясным факт отложения этих осадков в условиях осолоненного бассейна.

Далее, ангидрит является химическим осадком лагунного или отмывающего морского бассейна.

Известно, кроме того, что «... при значительной солености выпадает гипс и ангидрит, а из еще более концентрированных рассолов осаждается галит и калийно-магниевые соли».

Индикатором немного повышенной минерализации являются обычно доломиты, в особенности с примесью целестина, барита и флюорита» [8].

Кроме того, «...отложение доломитов в воде повышенной солености подтверждается частым сочетанием их с гипсами, ангидритами, а также существенным изменением состава фауны в карбонатных толщах по мере увеличения в них доломита» [8].

Далее, как указывает А. И. Перельман [7], «...Стронций участвует в испарительной концентрации, он осаждается из вод вместе с Ca и SO<sub>4</sub>; гипсовые горизонты солончаков обогащены стронцием и нередко содержат целестин».

Таким образом, не подлежит сомнению факт седиментации осадков продуктивной толщи в условиях осолоненного бассейна, расположенного в зоне аридного климата.

А теперь попытаемся выяснить характер данного осолоненного бассейна, т. е. его физико-географический тип. По нашему мнению, он представлял собою не что иное, как осолоненную лагуну. [О накоплении осадков ангидритовой свиты в условиях лагуны говорил А. Г. Алиев (1)].

Отметим, что «...приуроченность доломитов к лагунным отложениям (курсив наш. — Т. Ш.) заставляет предполагать, что большая часть первичных доломитов возникла в зоне теплого, если не жаркого климата» [8].

Известно также, что «...всегда стадия флюорито- и целестинообразования отвечает более поздним моментам доломитной стадии и большей общей солености лагунной (курсив наш. — Т. Ш.) воды» [11].

Кроме того, опираясь на данные Г. И. Теодоровича [13] об осадочных геохимических фациях, можно лишний раз прийти к идентичному выводу.

Так, этот исследователь к галогенной фракции, связываемой им с осолоненными лагунами, относит, в частности, гипсы, ангидриты, каменную соль и другие легкорастворимые соли, а также песчаники и алевролиты с сингенетическим гипсовым и ангидритовым цементом и т. д.

Нам представляется, что на основании вышеизложенного можно с достаточной обоснованностью утверждать о накоплении осадков данной толщи в условиях осолоненной лагуны, напоминающей таковые в дельтовой зоне р. Колорадо (Сев. Америка) и р. Сенегал (Зап. Африка).

А теперь остановимся на особенностях органического мира для подтверждения сделанных выводов.

Как известно, фауна и флора в разрезе продуктивной толщи ашеронского типа представлены весьма скучно. Кроме остракод, харовых водорослей и некоторых моллюсков, здесь фактически отсутствуют находящиеся в коренном залегании остатки органики.

Однако даже этот скучный растительный и животный мир дает определенные возможности для реконструкции солевого режима бассейна продуктивной толщи ашеронского типа.

Так, например, известно [8], что остракоды часто являются индикаторами слабо повышенной солености. Л. Б. Рухин, говоря об отложениях лагуны [9], пишет: «В ее отложениях наиболее часто встречаются известковые водоросли (к которым, в частности, относятся и хары. — Т. Ш.), беззарковые брахиоподы (лингулы) *остракоды* (курсив наш.— Т. Ш.), некоторые ракообразные, мшанки, пелециподы, гастраподы и рыбы».

Нужно сказать, что даже эти фаунистические и флористические данные, будучи сами по себе недостаточными для палеогеографических реконструкций, по нашему мнению, в известном смысле подкрепляют уже сделанный вывод о накоплении осадков продуктивной толщи в условиях осолоненной лагуны.

Далее, по-видимому, крайняя бедность данного бассейна фауной и флорой может быть в значительной мере объяснена осолоненностью его вод.

Обратимся к Н. М. Страхову. «Когда соленость современных водоемов, — пишет этот исследователь [11], достигает 5%, органический мир их резко беднеет, а формы, обладающие раковинами, исчезают. От безраковинных организмов в осадках (породах), естественно, не остается никаких скелетных остатков, поэтому осадочные толщи водоемов с соленостью выше 5% становятся палеонтологически немыми».

В нашем же случае можно с достаточным основанием предположить, что соленость лагунной воды была, по-видимому, порядка 4% тем более, что отложение гипса и доломита возможно при упомянутой величине солености [11].

Таким образом, подводя итог вышеизложенному, по всей вероятности, можно с достаточной обоснованностью утверждать о накоплении осадков продуктивной толщи ашеронского типа в условиях осолоненной лагуны, расположенной в зоне жаркого и сухого климата.

Нет сомнения, что накопление новых фактических данных позволит со временем более подробно осветить эту интересную проблему.

## ЛИТЕРАТУРА

1. Алиев А. Г. Петроография третичных отложений Азербайджана. Азнефтегиздат, Баку, 1947. 2. Бетехтии А. Г. Курс минералогии. Госгеолиздат, М., 1951. 3. Вер-Вибе В. А. Как находят нефть. Гостоптехиздат, 1959. 4. Жижченко Б. П. Методы палеогеографических исследований. Гостоптехиздат, Л., 1959. 5. Мехтиев Ш. Ф. Вопросы происхождения нефти и формирования нефтяных залежей Азербайджана. Изд-во АН Азерб. ССР, 1956. 6. Наливкин Д. В. Учение о фациях т. 1—2, Изд-во АН СССР, М.—Л., 1956. 7. Перельман А. И. Геохимия ландшафта. Географгиз, М., 1961. 8. Рухин Л. Б. Основы общей палеогеографии. Гостоптехиздат, 1959. 9. Рухин Л. Б. Основы литологии. Гостоптехиздат, 1961. 10. Страхов Н. М. Основы теории литогенеза, т. I, Изд-во АН СССР, М., 1960. 11. Страхов Н. М. Основные физико-географические типы древних водоемов и критерии их распознавания. «Методы изучения осадочных пород», т. II, Госгеолтехиздат, М., 1957. 12. Султанов А. Д. Литология продуктивной толщи Азербайджана. Изд-во АН Азерб. ССР, 1949. 13. Теодорович Г. И. Особенности химических фаций по профилю окислительно-восстановительного потенциала и вероятные нефтепроизводящие их типы. «ДАН СССР», т. ХСУ № 3, 1954. 14. Тениховский У. Х. Учение об образовании осадков. М.—Л., 1936. 15. Шахсупаров Т. С. О климате области накопления осадков продуктивной толщи ашеронского типа. Ученые записки АГУ им. С. М. Кирова, серия геол.-геогр. 1961, № 6.

Азербайджанский государственный университет

Поступило 11. III 1963

Т. С. Шансуваров

Ашерон нөвлү мәңсүлдар гат һөвзәсинин дүзлүлүг режими һагында

## ХҮЛӘСӘ

Гәдим седиментасија һөвзәләрини полеочографијасынын тәдгиги һәм иәзәри, һәм дә тәчрүби әһәмијәтә маликлидир. Бу да онларын бир сыра фајдалы газынты јатаглары илә элагәдар олмасы илә изән едиллир.

Ашерон нөвлү мәңсүлдар гат һөвзәсинин өјрәнилмәси мүһүм вә мараглы мәсәләләрдән бириди. Тәгдим едилән мәгаләдә биз һәмин һөвзәсинин дүзлүлүг режимини экс етдиrmәјә чалышмышыг. Бу мәгсәдлә литолокија, фауна вә флора хүсусијәтләрини истинад едилмишdir.

Бизчә, Ашерон нөвлү мәңсүлдар гат чөкүйтүләри дузлашмыш лагуна шәрәнтиндә топланышыдир. Һәмин лагуна исти вә гураглыг иглим шәрәнтиндә мөвчуд иди.

ДЖ. А. АЗАДАЛИЕВ

АКЦЕССОРНЫЙ ОРТИТ ИЗ ПЕГМАТИТОВЫХ  
ЖИЛ БАССЕЙНА Р. ГЕХИ

(Представлено академиком АН Азербайджанской ССР М.-А. КАШКАЛЕМ)

В бассейне р. Гехи обнажаются три изолированных друг от друга массива и мелкие интрузивные тела (Додин, 1937, 1941; Мкртчян, 1958). Наиболее крупный Гехи-Кяргский массив обнажается по обеим берегам реки между с. Гехи и Аджибадж и занимает площадь 50 км<sup>2</sup>. По С. С. Мкртчяну [1] оно представлено монцонитами, диоритами и габбро-диоритами, сменяющимися, по направлению к центральной части, гранодиоритами.

Здесь широко развиты и жильные породы, представленные как нерасщепленными разностями (гранодиорит-порфирами, сиенит-порфирами, диорит-порфирами и др.), так и аplitовыми, пегматитовыми жилами. Пегматитовые жилы проявляют большую изменчивость по простиранию и мощности. Для них характерны СВ и СЗ простирания. Эти жилы то раздуваются, достигая нескольких десятков сантиметров мощности, то утолщаются и всплющиваются. По жилам наблюдается зональность: по краям ясно видны аplitовидные огорочки, переходящие постепенно в грубогнейшую кристаллическую породу с типичной пегматитовой структурой (рис. 1 и 2).

В этих же жилах ниже с. Чайкенд нами был найден акцессорный орбит в виде отдельных удлиненных призматических, толстотаблитчатых форм. Он тесно ассоциирует с гранатом, амфиболом, турмалином (?), магнетитом. Внутри ортига встречаются маленькие кристаллы кварца, довольно правильной формы с ясным развитием призмы.

Орбит подвергался детальному исследованию (кристаллоспектральному рентгенометрическому, химическому; изучена его радиоактивность). Идентифицируются смоляно-черным цветом, смолистым блеском, раковистым илилом, типичными для него твердостью и хрупкостью. Удельный вес его 3,314, что несколько меньше для обычных орбитов. Вероятно, это объясняется повышенным содержанием H<sub>2</sub>O.

Идиоморфные кристаллы орбита хорошо выделяются под микроскопом по своему высокому рельефу. В иммерсионной жидкости для него определены следующие константы: Ng=1,690-1,725±, Nm=1,680-1,712±, Nr=1,665-1,690±; определены также: 2V=-74°, Ng-

$N_p = 0,036$ , положительное (?) удлинение и угол погасания  $34-40^\circ$ . Плеохроизм резко меняется по биотитовой схеме от коричневого до светло-коричневого. Встречаются двойники (рис.3) по первому пинаконду [100], измерение которых на универсальном столике дало следующие результаты, соответствующие орбиту II типа (табл. 1).

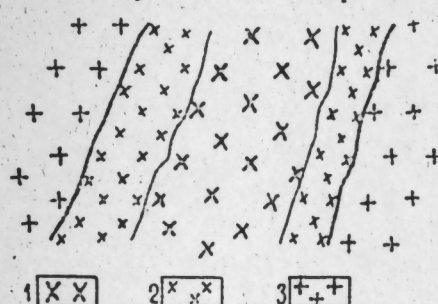


Рис. 1

Зональное строение пегматитовых жил бассейна р. Гехи.  
1—грубозернистый пегматит; 2—аплитовидные оторочки, переходящие постепенно в грубозернистый пегматит; 3—вмещающий пегматитовые жилы гранитонд.

$\pm 0,2$  мм. Расшифровка дебаеграммы произошла по медным излучениям ( $Cu_K$ ) в камере РКД (диаметр 57,3 мм) при напряжении 30 кВ и силе тока 20 мА в течение 10 часов. Пленка промерялась с точностью до

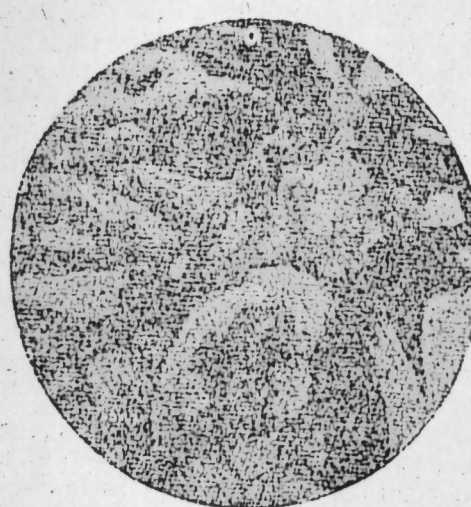


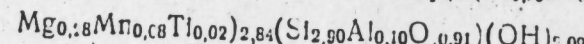
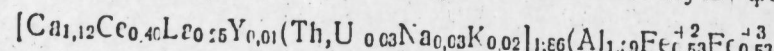
Рис. 2  
Пегматитовые прорастания кварца (белые) и полевого шпата (темные). Ув. 90, николи +.



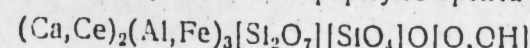
Рис. 3  
Идиоморфный кристалл ортита с двойником по /100/ в пегматитовой жиле. Ув. 45, николи //.

Часть отобранного под бинокулярной лупой ортита подвергалась химическому анализу (табл. 3).

Пересчет этого химического анализа ортита, рассчитанный на 13 атомов кислорода, дает следующую кристаллохимическую формулу:



Она соответствует теоретической формуле ортита (Бетехтин, 1956);



На наш взгляд разница только в том, что отдельный атом кислорода, не входящий ни в диорито-группу, ни в тетраэдр, в нашем случае замещается  $(OH)^{-1}$ .

Таблица 1

Характеристика грани или ребра	Символ	Ориентировка индикаторы		
		$N_g$	$N_m$	$I$
Дв.	/100/	87	46	45

Таблица 2

Результаты расчета рентгенограммы ортита из пегматитовых жил бассейна р. Гехи

$\theta$	$J$	$d/n$	Образец А 1-2		По В. И. Михееву (1957)	
			$J$	$d/n$	$J$	$d/n$
12°30'	5	3,57	6	3,57		
13°42'	5	3,26	4	3,26		
15°12'	10	2,94	10	2,94		
16°24'	8	2,73	4	2,85		
17°00'	6	2,64	8	2,74		
18°30'	2	2,43	6	2,65		
19°42'	2	2,29	4	2,57		
20°48'	3	2,17	4	2,19		
23°48'	7	1,90	4	2,14		
25°42'	3	1,77	4	1,91		
32°00'	6	1,46	6	1,65		

Таблица 3

Химический анализ ортита из бассейна р. Гехи

Компоненты	Весовые проценты	Компоненты	Весовые проценты
$SiO_2$	30,23	$MgO$	2,13
$ThO_2$	1,67	$MnO$	1,09
$TiO_2$	0,21	$CaO$	11,75
$Al_2O_3$	14,12	$Na_2O$	0,18
$Fe_2O_3$	7,95	$K_2O$	0,20
$Ce_2O_3$	12,16	$H_2O$	3,51
$La_2O_3$	7,59	U	+
$Y_2O_3$	0,17		
$FeO$	7,15		
			$\Sigma 100,16$

Радиометрический анализ измельченного чистого ортита проводился в геофизической лаборатории Института геологии АН Азербайджанской ССР А. Л. Гусейновым на установке ЛАС (лабораторный сцинтилляционный анализатор) с гамма-датчиком. Измерение повторялось несколько раз и средний подсчет дал следующее:

интенсивность натурального фона ( $J_{\phi}$ ) — 55 импульс/мин;  
интенсивность гамма излучения эталона ( $J_{\text{эт}}$ ) — 304 импульс/мин;  
интенсивность гамма излучения ортита ( $J_{\text{орт}}$ ) — 150 импульс/мин;  
содержание урана в эталоне ( $A$ ) — 0,059%;  
вес эталона ( $P_{\text{эт}}$ ) — 40 г;  
вес ортита ( $P_{\text{орт}}$ ) — 2 г;  
 $Q$  эквивалентное содержание урана в минерале.

$$Q = \frac{A \cdot P_{\text{эт}} \cdot (J_{\text{орт}} - J_{\phi})}{P_{\text{орт}} \cdot (J_{\text{эт}} - J_{\phi})} \frac{0,059 \cdot 40 \cdot 95}{2 \cdot 249} = 0,45\% \text{ экв. } U.$$

Как видно из результата радиометрического анализа, исследованный минерал радиоактивный, т.е. видимо, зависит от содержания тория и, частично, урана в составе минерала.

## ЛITERATURA

- Бетехти А. Г. Курс минералогии. М., Госгеотехиздат, 1956, 2. Винчелл А. Н. и Винчелл Г. Оптическая минералогия. ИЛ, М. 1953. 3. Додин А. Л. Кигинск с молибденовое месторождение. Разведка недр, 1957, № 11. 3. Додин А. Л. Интрузивные горы о бассейне р. Киничач. Интрузивы Закавказья. Труды Груз. ГРУ, вып. II, 1941. 5. Михеев Б. И. Рентгенометрический определитель минералов, 1957. 6. Мкртчян С. С. Зангезурская рудоносная область Армянской ССР. Изд. АН Арм. ССР. 1958. 7. Соболев В. С. Федоровский метод. Госгеолтехиздат, 1954.

Институт геологии

Поступило 23. I 1963

Ч. Э. Азадэлијев

## КЫГЫ ЧАЫЫ ҺӨВЗЭСИННИН ПЕГМАТИТ ДАМАРЛАРЫНДАКЫ АКСЕССОР ОРТИТ ҺАГГЫНДА

### ХУЛАСО

Кыгы чаыы һөвзесинде дамар сүхурлар, о чүмләдән пегматит дамарлары кениш јајымышдар.

Чајкандан ашағыда бу дімтрларын ишаресинде узун призматик, галын лөвһәвары вә гөрі дүзкүі фәрмаларда ортит минералы тіп-мышыңыг. О, гранатла, амфиболла, турмалин (?), магнегиттәң сых ассоцијасында раст көлир.

Биз гара рәнкли, тәгәрән парының бу минералы кристаллооптика рентгенометрик, кимјәви вә рідіметрик методларта дәғиг өңәндик-дән соңра онун ортит олмасыны мүәжін етдик. Минералын хүсуси чәкиси дә (3, 314) тә'жин едил шешір. Хүсүсін чәкиниң ади ортигининдән бир гәдәр аз олмасы, јегин ки, кимјәви тәркибдә суужын чох олмасы илә әлагәдәрдәр.

Микроскоп алтында ортитин ишыг сыңдырма әмсаллары, оптикалық охлары арасында бучагы, икигат сыңдырма әмсалы, сөймә бучагы, плексироизм схеми, (100) үзэр икіләшмәсінин характери тә'жин едил шешір.

Дебаеграмын анализ көстәрір ки, тәдғиг едилән минерал халыс ортигидір.

Кимјәви анализ иәтичесинде ортитин кристаллокимјәви формула һесаб таңмышыңыр. Бу формулаларын иәзәри формулуна уғын көлир. Бизим иәзәримизча, фәрг жалызы ондалыр ки, ади ортигинин тәркибидәки айрыча оксижен атому тәдғиг едилән ортиттә (OH)<sup>-1</sup> илә әвәз олунур.

Радиометрик анализ көстәрір ки, ортит радиоактивидір; бу да, јегин ки, тәркибдә олан тәриум вә гисмән урапла әлагәдәрдәр.

Ф. Г. НАХМЕДОВ

## КАТЕХИНЫ ЗЕЛЕНОГО ЧАЙНОГО ЛИСТА ЛЕНКОРАНСКОГО РАЙОНА АЗЕРБАЙДЖАНСКОЙ ССР

(Представлено академиком АН Азербайджанской ССР И. Д. Мустафаевым)

В предыдущей статье мы касались вопроса содержания катехинов в листьях чая Астаринского района Азербайджанской ССР [3]. В настоящей работе излагается материал по содержанию катехинов в двулистных флешах чайных растений, произрастающих в Ленкоранском районе Азербайджанской ССР.

Объектом нашего исследования были чайные растения хозяйственных плантаций колхоза им. Н. Нариманова. На территории этого колхоза в низине и в горах мы выбрали два типичных в этом районе участка.

Участок в низине расположен на открытой местности, а участок в горах окружен с трех сторон Тальшенскими горами.

Собранные двулистные флеши чайного растения быстро (3 минуты) фиксировались острым паром в аппарате Коха и высушивались в сушильном шкафу при температуре 60—70° С или в тени.

Сбор образцов начинался с мая и продолжался до октября, фиксированные образцы изучались нами в Институте биохимии им. А. Н. Баха АН СССР.

Как и в предыдущей работе, катехины определялись методом хроматографии на бумаге [2]. Количественно определяли L-эпигаллокатехин, d-галлокатехин, L-эпикатехин, L-эпикаллокатехингаллат и L-эпикатингаллат.

Листья чая, собранные с плантаций, расположенных в низине колхоза им. Н. Нариманова, содержат те же катехины, которые были найдены нами для двулистных флешей Астаринского района Азербайджанской ССР (табл. I).

Из табл. I видно (данные 1961 г.), что в начале вегетации, когда имеются благоприятные условия развития растения, синтез катехинов протекает весьма интенсивно. В период летней засухи, начиная с июля месяца и кончая августом, когда уменьшается относительная влажность воздуха и замедляется рост флешей, синтез катехинов в листьях чая заметно ослабевает. В сентябре, благодаря осенним дождям, которые создают благоприятные условия для вегетации растений, синтез катехинов вновь усиливается. В октябре флеши весьма бедны катехинами.

Таблица 1

Категории	10 мая	10 июня	25 июня	9 июля	28 июля	15 августа	25 сентября	17 октября
	% от суммы	% от суммы						
1-эпигаллокатехин	24,29	18,90	25,84	21,22	33,65	24,79	29,89	26,78
d <sub>1</sub> -галлокатехин	6,60	5,14	5,96	4,89	8,22	6,06	6,31	5,66
1-эпикатехин+d <sub>1</sub> -катехин	7,04	5,50	7,13	5,85	8,18	6,03	6,91	6,20
1-эпигаллокатехингаллат	61,22	47,66	64,33	52,82	64,60	47,62	53,27	47,73
1-эпикатехингаллат	17,15	22,78	18,52	15,20	21,02	15,49	15,17	13,61
Сумма	116,30	121,78	135,67	111,57	119,36	119,19	110,54	95,90

Таблица 2

Категории	9 мая	10 июня	25 июня	9 июля	27 июля	14 августа	31 августа	23 сентября
	% от суммы							
1-эпигаллокатехин	31,29	23,86	38,87	21,94	37,33	22,83	36,93	26,54
d <sub>1</sub> -галлокатехин	5,65	4,31	8,09	4,57	8,82	5,39	5,19	3,73
1-эпикатехин+d <sub>1</sub> -катехин	8,73	6,66	12,59	7,11	10,58	6,47	7,02	5,04
1-эпигаллокатехингаллат	68,76	52,43	95,58	53,96	78,91	48,25	74,80	53,75
1-эпикатехингаллат	16,73	12,76	22,00	12,42	27,89	17,05	15,21	10,93
Сумма	131,16	177,13	163,53	139,15	160,76	140,47	162,80	131,51

Таблица 3

Катехины	15 мая	23 мая	18 июня	28 июня	15 июля	29 июля	15 августа	20 сентября	20 сентября	15 октября	31 октября
	% от сырья	% от сырья	% от сырья	% от сырья							
I-эпигаллокатехин	37,67	26,22	35,09	22,57	39,34	23,41	32,20	21,72	20,18	14,15	28,78
d <sub>1</sub> -гэллокатехин	5,63	4,09	5,97	3,84	9,06	5,32	7,75	5,23	13,91	9,75	8,80
I-эпикатехин + d <sub>1</sub> -катехин	8,21	5,72	8,50	5,53	10,65	6,26	9,95	6,71	9,33	6,54	11,85
I-эпигаллокатехингаллат	76,49	53,39	88,57	57,02	90,73	53,31	83,33	56,50	82,35	57,76	77,95
I-эпикатехингаллат	15,50	10,58	17,17	11,64	19,87	11,67	15,05	10,15	16,80	11,78	18,72
Сумма	143,65	155,50	170,20	148,58	142,58	146,10	171,18	148,40	151,86	145,50	107,21

Специфические условия произрастания чайного растения влияют также сильно на содержание отдельных катехинов в листьях чая.

Исследованиями К. М. Джемухадзе [1] установлено, что при ухудшении условий произрастания чайного растения с общим ослаблением образования катехинов особенно сильно снижается синтез галловых эфиров, а накопление простых катехинов даже усиливается. Это положение наглядно подтверждается и нашими данными (табл. 1). Из табл. 1 видно, что относительное содержание I-эпигаллокатехина в мае не превышает 19%, в июне возрастает, достигает максимума в середине июля, в сентябре снижается, а в октябре вновь возрастает.

Аналогичную картину показывают другие простые катехины.

Относительное содержание галловых эфиров представляет обратную картину.

Не менее интересные данные получены с участка, расположенного в горах, где благодаря рельефу созданы более благоприятные условия произрастания чайного растения, чем в низине (табл. 2).

В отличие от растений, произрастающих в низине, листья чая, собранные в горах, более богаты катехинами (данные 1961 г.). Содержание отдельных катехинов здесь подвержено колебаниям в течение вегетационного периода. Так, содержание I-эпигаллокатехингаллата, весьма высокое в летние месяцы, в мае и сентябре несколько меньше.

Почти обратную I-эпигаллокатехингаллату картину представляют простые катехины, а именно I-эпикатехин. Весьма интересные данные по этому участку получены в 1962 г. В отличие от предыдущего года в 1962 г. сбор образцов длился до октября (табл. 3).

Из табл. 3 видно, что в 1963 г. листья чая с этого участка содержат больше галловых эфиров, чем в 1961 г. Это, видимо, связано с лучшими погодными условиями 1962 г. Кроме того, из таблицы видно, что при окончании вегетации (31. X) содержание катехинов достигает 10,7%. При этом особенно резко снизилась способность растений синтезировать I-эпигаллокатехингаллат и I-эпикатехингаллат, суммарное содержание которых не превышает 65 мг на 1 г сухого веса.

## Выходы

На основании полученных данных можно сделать следующие выводы:

Чайные растения, произрастающие на плантациях в низине и в горах Ленкоранского района, синтезируют те катехины, которые были найдены нами для листьев чая Астаринского района Азербайджанской ССР.

Чайные растения, произрастающие в низине, менее интенсивно синтезируют катехины, чем листья растений, произрастающих в горах.

Летняя засуха (июль—август) отрицательно сказывается на синтезе катехинов в листьях чая, особенно в низине.

Климатические условия Ленкоранского района сильно влияют на содержание отдельных катехинов. В обоих микрорайонах в течение вегетационного сезона более резким изменениям подвергается I-эпигаллокатехингаллат и I-эпикатехингаллат.

Листья, собранные в горах, богаче галловыми эфирами, чем листья с низины.

Содержание катехинов может явиться хорошим показателем дифференцированной оценки сырья с отдельных участков.

В заключение выражают глубокую благодарность моему руководителю доктору биологических наук, К. М. Джемухадзе за помощь и ценные указания в работе.

## ЛИТЕРАТУРА

1. Джемухадзе К. М. Влияние географических факторов на биохимические свойства чайного сырья, «Биохимия чайного производства», сб. 8, 1960. 2. Джемухадзе К. М. и Шалиева Г. А. Метод количественной хроматографии на бумаге катехинов чайного листа. «Биохимия», 1955, т. 20, вып. 3. 3. Нахмедов Ф. Г. Катехины зеленого чайного листа Астаринского района Азербайджанской ССР. «ДАН Азерб. ССР».

Институт генетики и селекции  
Институт биохимии им. А. Н. Баха

Поступило 22. III 1963

Ф. Г. Нәһмәтov

## Азәрбајҹан ССР Ләнкәран рајону јашыл чај јарпағынын катехинләри ХҮЛӘСӘ

Эввәлки мәгалә Астара рајонунда битишән чај биткисинин катехинләrinә aid иди.

Ләнкәран рајонунда битишән чај биткиләri јарпағынын тәркибиндәki катехинләr hələ mигдарча өjәniilmәmishdir.

Бу мәгсәdlə Lәnкәran рајonunun N. Nәrimanov adыna колхозун тәsәrrүfat плантasiyalarynda иki tәçrүbә sahəsi sechiliib. 1961—1962-chi illər ərzində (majdan—oktjabra gədər) ajda 2 dəfə ikiyarpagly chaј zogu jyfylmäshdyr.

Jyfylan nümunələrdəki катехинләri A. N. Bax adыna CCRI EA Biokimja Институтунда K. M. Чемухадзе vә G. A. Шалиевanын tәrtib etdiyi kaфыз үzәrinde danrəvi xrematografiya usulu ilə tә'jin olunmushdur.

Analizlәrin rəgəmləri kəstərir ki, Lәnкәran чајы da Astara чајы kimi, өz tәrkibinde ejni катехинләri tәşkil eDIR.

İglim shərainti катехинlәrin e'mal olunmasyna bəjük tә'sir kəstərir.

Lәnкәran рајonunun daғ hissəsinidəki чај битkiləri həmin рајonun dүzənilik hissəsinidəki чај битkilərinə nisbətən катехинlәri jüksək surətdə e'mal etdiini kərə, daғ hissədəki јарpaglararda катехинlәrin umumi mигdarы chohdur. Bундан bашga, juхары hissədə l-epigalllo-kateхingallat vә l-epikatexingallat da choh e'mal olunur.

Guraglyg shərainti Lәnкәran рајonunda da катехинlәrin e'mal olunmasyna mənfi tә'sir kəstərir.

Katexinlәrin mигdaracha tә'jiniidən belə nətibəcəjə kəlmək olar ki, aýry-aýry sahələrdən jyfylan јашыл чај јарpaғina diferenzial surətdə janashmag vachimdir.

## АЗӘРБАЙЧАН ССР ЕЛМЛӘР АКАДЕМИЯСЫНЫН МӘ'RУЗӘЛӘРИ ДОКЛАДЫ АКАДЕМИИ НАУК АЗЕРБАЙДЖАНСКОЙ ССР

ТОМ XIX

№ 9

1963

## ГЕНЕТИКА

И. К. АБДУЛЛАЕВ

## НОВАЯ КУСТОВАЯ ФОРМА ШЕЛКОВИЦЫ

### «КОЛ-ТУТ»

В настоящее время у нас в Советском Союзе, а также и в зарубежных странах, занимающихся шелководством, тутовые плантации закладываются в виде штамбовой формы, когда растения имеют явно выраженный древесный ствол разной длины, и кустовой формы, когда ствол срезается на высоте 10—12 см и растения образуют многочисленные облистственные побеги почти от поверхности земли. Таким образом по желанию шелководов растениям дается штамбовая или кустовая формовка.

В нашей стране кустовая форма плантации шелковицы применяется в основном с 1928 г. Тем не менее директор комитета шелководства С. А. Маслов еще в 1857 г. писал, что теперь выращивание кустов, а не деревьев шелковицы признано более соответствующим целям шелководства. Кустовая форма дает больше листа с единицы площади в первые десять лет эксплуатации растений и поэтому она имеет важное значение в деле ускорения развития кормовой базы шелководства.

Перед селекционерами стал вопрос, нельзя ли вывести шелковицу, которая без формовки была бы кустовой формой, а также давала бы хорошего качества листья для гусениц тутового шелкопряда.

В процессе нашей многолетней работы по выведению новых сортов шелковицы путем получения гибридных потомств, клоновой селекции и экспедиционного обследования существующих насаждений нам не удалось вывести или найти в готовом виде кустовые формы шелковицы.

Начиная с 1956 г. мы совместно с научными сотрудниками Н. А. Джабаровым и Е. П. Раджабли в селекционной работе применили ряд физических и химических мутагенных факторов с целью получения полиплоидных форм шелковицы, в результате чего было получено очень много измененных форм шелковицы. При проращивании семян, заготовленных от высокощтамбовой шелковицы, в слабом растворе колхицина и при облучении семян радиоактивным кобальтом при дозе 5000 рад нам удалось впервые получить несколько кустовых по природе форм шелковицы, которые вовсе не имеют штамба и прямо с поверхности земли образуют многочисленные, хорошо развитые, не полностью одревесневшие облистственные побеги.

Так как новая кустовая форма шелковицы очень хорошо черенкуется и дает почти 100% укоренения, нам за истекший период удалось

создать насаждения на Апшероне, в Кусарчае, Ленинаване и Кировабаде и изучить некоторые ботанико-морфологические и хозяйственны особенности новой кустовой формы шелковицы.

**Ботанико-морфологические особенности.** Цвет коры одногодичных побегов зеленовато-серый, побеги в основном недостаточно одеревеневшие, двухгодичные ветки светло-серые, со слегка желтоватым оттенком,



Новая кустовая форма шелковицы

чечевички коричневато-белые, овальные, частые. Почки мелкие, прилегающие, треугольные с острым концом, покрыты четырьмя—пятью чешуйками коричневого цвета. Годичный прирост побегов 80—100 см, число побегов на одном кусте 65—95 штук, междоузлия короткие — 1,8—2,7 см, образуют много листьев на годичных побегах.

Лист цельный, поверхность листовой пластинки слегка волнистая, блестящая, зеленого цвета, нервация средняя. Форма листа удлиненно-сердцевидная, верхушка острая с зубцом, край листа мелкопильчатый, основание выемчатое. Черешек около 2,5 см длины, округлый, светло-зеленый, желобок узкий, углубленный. Средний вес одного листа 1,0—1,5 г, листья средних размеров 10,0×7,0 см. Отношение длины листовой пластинки к ширине 1,43.

Сорт однодомный, с преобладанием в основном мужских соцветий, цветение небольшое, сережки мелкие, рыхлые, количество пыльцы недостаточно. Образует мало соплодий в нижней части двухгодичных побегов, ягоды мелкие, удлиненные, слегка фиолетового цвета, уродливые, малосочные и невкусные, недостаточное плодоношение является положительной стороной этой кормовой формы шелковицы.

Цитологические изучения растений показали, что кустовая форма имеет в соматической клетке  $2n=56$  хромосом и является тетраплоидной формой.

**Рост и развитие растений.** Кустовая форма шелковицы отличается хорошим ростом, развитием и образованием прямо из поверхности земли большого количества хорошо облиственных побегов. Среднее количество листьев на одном кусте с годичными побегами 540 штук, с двухгодичными — 2005 штук.

Как видно из приведенных в табл. 1 данных, за вегетационный период кустовая форма шелковицы образует большое количество облиственных побегов, при этом интересно отметить, что в двухгодичных побегах образуются многочисленные мелкие ростовые побеги. Лист этой формы имеет средний размер листовой пластинки, черешки и междоузлия короткие.

Эти данные говорят о том, что при соблюдении нормальной агротехники ухода за растениями рост и развитие побегов и листьев у кустарниковой формы шелковицы до начала весенней эксплуатации идет ин-

тенсивно, что показывает возможность получения высокого урожая листа с единицы площади.

**Урожай листа.** Учет урожая листа у трехлетней кустовой формы шелковицы проведен в середине июня, т. е. в период пятого возраста гусениц тутового шелкопряда.

Таблица 1  
Рост, развитие и размер листа кустовой формы шелковицы

Кустовая форма шелковицы	Длина одногодичного побега, см	Кол-во основных побегов на одном кусте, шт.	Годичный прирост побегов с одного куста, шт	Длина междоузлия, см	Размер листовой пластинки		Длина черешка, см	Вес одного листа, г
					длина	ширина		
В одногодичных побегах	79,0	74,0	58,8	2,68	10,1	7,6	2,5	1,50
В двухгодичных побегах	109,0	60,0	64,7	1,78	9,3	7,0	2,0	1,00

Таблица 2  
Учет урожая листа кустовой формы шелковицы

Кустовая форма шелковицы	Общий вес облиственных побегов с одного куста, г	Вес ветвей с одного куста, г	Вес листа с одного куста, г	% выхода листа
I повторность	1000	270	730	73,0
II повторность	1500	470	1030	67,3
III повторность	900	270	630	70,0
IV повторность	1100	250	850	77,2
В среднем	1125	315	810	71,9

В среднем с одного куста с годичными побегами в третий год посадки можно получить 1125 г облиственных побегов. Вес листа с одного куста составляет 810 г, что в переводе на гектар плантации кустовой формы (1×1 м или 10 000 растений на 1 га) составит 81 ц.

Отдельные экземпляры 4—5-летних кустовых форм шелковицы с каждого куста дают 1,5—2,0 кг листа и более, это показывает, что с 1 га кустовой плантации при соблюдении высокого агротехнического ухода мы можем получить 150—200 ц и более урожая листа.

Известно то, что кустовая форма образует многочисленные недостаточно одеревеневшие годичные побеги с большим количеством очень нежных хорошо развитых листьев. Этим и объясняется высокий выход листа — 71,9%.

Мы считаем, что если несколько реконструировать лучшие тракторные сенокосилки, усилить режущие аппараты, то можно с успехом ко-сить облиственные побеги кустовой формы шелковицы и полностью механизировать этот очень трудоемкий процесс, что откроет большие возможности в особенности при поведении общественных выкорюкок гусениц тутового шелкопряда.

Таким образом по росту, развитию и урожаю листа новая кустовая форма шелковицы при нормальных условиях агротехники показала себя

с лучшей стороны, поэтому встал вопрос об изучении кормовых качеств листа этой формы.

**Химический состав листа.** Химический анализ листа кустовой формы шелковицы, проведенный биохимической лабораторией, показал, что она по содержанию воды, белковых веществ и углеводов не только не отстает от высокоштамбовой формы шелковицы, но находится на одном уровне с районированным сортом Сыхгез-тут.

Содержание в свежем листе:

влага	66,30
сухое вещество	33,70

Содержание в воздушно-сухом листе:

гигроскопическая влага	8,72
сухое вещество	91,28

В 100 частях абсолютно сухого листа содержится %:

азот общий	3,91
азот белковый	3,15
азот небелковый	0,76
чистый белок	19,68
протеин	24,66
общий сахар	5,50

Лист кустовой формы шелковицы по содержанию белковых веществ и углеводов превосходит высокоштамбовый районированный сорт шелковицы Сыхгез-тут, что показывает на удовлетворительные качества листа новой кустовой формы шелковицы.

**Кормоиспытательная выкормка.** Весенняя кормоиспытательная выкормка гусениц тутового шелкопряда породы «Азад» проведена согласно общепринятой методике.

Таблица 3

Результаты кормоиспытательной выкормки

Сорта шелковицы	Продолжительность гусеничного периода, сутки	% жизнеспособности гусениц	Средний вес одного сырого кокона, г	Средний вес сухих коконов, г	Шелконосность сухих коконов, %	Разрывная способность оболочки кокона, %	Средняя длина коконной нити, м	Метрический номер коконной нити
Сыхгез-тут (контроль)	30 сут. 19 ч.	99,5	1,85	0,825	40,0	81,8	1069	3223
Кустовая форма	29 . 19 ч.	100,0	1,89	0,822	34,5	79,7	1068	3338

Как видно из приведенных данных, показатели кустовой формы шелковицы находятся на одном уровне или несколько превосходят показатели стандартного районированного сорта Сыхгез-тут. Кустовая форма несколько уступает Сыхгез-туту по таким важным показателям, как процент шелконосности сухих коконов и метрическому номеру коконной нити, что требует дополнительного изучения.

Определенный интерес представляет урожай коконов и шелка-сырца с 1 кг съеденного листа шелковицы по кустовой форме сравнительно с районированным высокоштамбовым сортом Сыхгез-тутом.

Сыхгез-тут Кустовая форма

Урожай коконов с 1 кг съеденного листа, г	133,0	127,3
Урожай шелка-сырца с 1 кг съеденного листа, г	23,1	21,5

Данные урожая коконов и шелка-сырца с 1 кг съеденного гусеничами тутового шелкопряда листа, определяющие питательность листа шелковицы, показывают, что по этим показателям кустовая форма находится почти на одном уровне с районированным высокоштамбовым сортом Сыхгез-тут.

Хороший рост и развитие растений за вегетационный период, высокие урожаи и удовлетворительные кормовые качества листа новой кустовой формы шелковицы, несложность способа ее размножения, возможность полной механизации ухода и эксплуатации показывают, что эта форма представляет большой интерес для шелководства нашей страны.

В изучении кустовой формы шелковицы приняли участие младшие научные сотрудники Института генетики и селекции М. О. Алиев, П. А. Гусейнова, Д. Р. Костырко и агротехник З. Баринев.

Институт генетики и селекции

Поступило 15. VI 1963.

И. К. Абдуллаев

Жени кол формалы тут

ХУЛАСЭ

Кол формалы тут плантасијалары төз вә чохлу јарнаг мәңсулу вердијиндән инәкчилијин јем базасыны мөһімләндирмәк учүн чох бөйүк айыммийтә маликдир.

Иницијэ гәдәр хүсуси кол формалы тут иөвү олмадығындан көвдәли тут биткиләрниң јерин сәттенидән 150 см һүндүрлүкдә ағачларны штамбыны кәсәрәк, онлара кол формасы верилир ки, бу да ишдә хејли чәтинилек төрәдир.

Одур ки, биз 1956-чы илдән башлајараг полиплоид формалар алмаг учүн апардығымыз селексија ишиниң колхисинин зәиф су мәңлүлүнде чүчәрдилмәсін вә 5000 дозада радиоактив кобалтла тә'сир едилән тохумларын ба'зиләрнидән кол формалы тут биткиси алдыг.

1959—1963-чу илләр әрзиндә һәмни колишәкли формалар Абшерон, Гусарчај, Ленинаван вә Кировабад шәрәнтиндә өјрәнилмиш, онларны јарнагларының мәңсулдарлыгы вә јемлик кејфијјети тә'жин едилмишdir.

Тәчрүбәләр көстәрмишdir ки, кол формалы тут биткиләри республикамызыны мұхтәлиф зоналарында јаҳшы бој атыб инишиаф едир. Іәрекетардан 81,0 сентиер јарнаг мәңсулу верир. Айры-айры јаҳшы инишиаф етмиш коллардан алына мәңсулу эсас көтүрсөк, бир һектардан 150—200 сентиер вә даňа чох јарнаг мәңсулу алынмасыны мүмкүн олдуғу айдаилашыр.

Кол формалы тут биткиләринин јарпагларынын кимјәви тәркиби онларын ишәк гурдлары тәрәфиндән јејиләрәк барама мәһсулу верил: мәси тә'јин едилемиш вә аjdын олмушдур-ки, кол формалы тут биткиләринин јарпаг кејфијјети јахшылыры.

Дени кол формалы тут биткиләри векетасија дөврүндә јахши бој атыб инициаф етмәси, јүкәк јарпаг мәһсулу вермәси, чохалдылмасынын, гуллуг едилемәснин вә истинемәр едилемәснин чох асан олмасы, јарпагларынын кејфијјетинин јахши слмасы иәтичәснинде өлкәмизде ишәкчилијин јем базасынын мәһкәмләндирilmәснинде мүәјјән әһәмијјәтә малик ола биләр.

Х. М. МУСТАФАЕВ

## К ВОПРОСУ ОБРАЗОВАНИЯ ОСЫПЕЙ И ИХ ЗАКРЕПЛЕНИЯ В ЛЕСНОЙ ЗОНЕ

(Представлено академиком АН Азербайджанской ССР Д. М. Гусейновым)

В горных районах Азербайджана, в бассейнах рек в лесной зоне большое распространение получили осыпи и россыпи. В бассейне отдельных рек площадь их составляет 15—20%.

В бассейне р. Талачай по правому берегу на протяжении 13 км было зафиксировано 22 осыпных участка, расположенных на расстоянии друг от друга 40—50 м.

На правом берегу левого притока Кашчай—Чуходурмаз в 1959—1960 гг. было зафиксировано 8 осыпей, ширина которых колебалась в пределах от 25 до 110 м, а длина по склону — от 60 до 100 м. На крутых склонах рыхлый материал осыпей обычно находится в неустойчивом равновесии, при выпадении ливневых осадков он движется вниз по склону и тем самым служит очагом образования поверхностиного стока и питания селевых потоков твердым материалом. Было установлено, что движение рыхлого материала осыпей происходит языкообразными полосами и за год в среднем составляет 1,5—2 м.

В литературе вопросу образования осыпей и их закреплению посвящено очень мало работ. По литературным данным на изучение осыпей в основном начали обращать внимание начиная с 1936 г., когда потребовалось проведение дорог в горных районах. До этого времени исследования по образованию осыпей были проведены В. П. Ренгартом, Д. В. Дробышевым, С. П. Синягиным и др. По определению Г. Д. Дубелира, осыпи представляют собой результат сложных и многообразных природных процессов, протекающих в определенных геологических условиях, при образовании осыпей наблюдаются три стадии: разрушение материнской породы, перенос продуктов выветривания и накопление рыхлого материала у шлейфа склона. На южном склоне Большого Кавказа в зоне высокогорья, где физическое выветривание протекает интенсивно, образование осыпей обычно предшествуют вышеуказанные стадии. А в горно-луговой и лесной зонах наблюдения показали, что образование осыпей предшествует уничтожение растительного покрова и развитие эрозионных явлений. Исследования показали, что в лесной зоне осыпи обычно развиваются там, где лесная растительность

уничтожена или же проведена трелевка срубленного леса, при которой поверхность почвы буквально сдирается и она становится очагом интенсивного поверхностного стока и эрозии. Таким образом начальной стадией образования осыпей в лесной зоне является уничтожение растительности и развитие эрозионных процессов. Поэтому вполне справедливо отмечает Г. З. Золотарев, что осыпи возникают и развиваются в тесной связи с эрозией. В лесной зоне на крутых склонах по мере уничтожения растительности поверхность почвы попадает под разрушительное действие атмосферных осадков и постепенно смывается по отдельным денудационным бороздам. Часть продуктов смыва откладывается у шлифа склона, а часть попадает в русло рек, способствуя повышению их мутности. После полного смыва почвенного покрова на поверхность выходит материнская порода, которая в районе исследования в основном представлена глинистыми сланцами, песчаниками. С момента полного смыва почвенного покрова и выхода материнской породы основным фактором образования осыпей становится физическое выветривание. Лишенные растительного и почвенного покрова глинистые сланцы черного цвета создают весьма благоприятные условия для лучепоглощения. Днем в хорошую солнечную погоду они нагреваются до  $50^{\circ}$  и выше, а ночью охлаждаются. С изменением суточной температуры массивные глинистые сланцы постепенно расслаиваются, раздробляются и наблюдается образование осыпей. В разрушении глинистых сланцев весьма активную роль играют атмосферные осадки, а также весенние и осенние заморозки. В дальнейшем по мере разрушения их при уклоне поверхности больше угла естественного откоса накопленный рыхлый материал уносится вниз по склону и откладывается у его шлейфа. В процессе движения рыхлого материала вниз по склону происходит сортировка его, что, в свою очередь, сказывается на образовании стокообразующей и стокопоглощающей поверхностей. Самые крупные обломки откладываются у подножия склона и образуют конус выноса, мощность которого местами достигает 3—5 м. По мере продвижения от шлейфа вверх по склону мощность рыхлого материала уменьшается и в составе его преобладают обломки пород меньшего размера. Верхняя часть осыпи обычно бывает представлена выходом коренных пород, а у шлейфа наблюдается отложение крупных обломков пород. В связи с этим в разных частях осыпи различно формируется поверхностный сток. Так, в верхней части ввиду наличия выходов коренных пород выпадающие атмосферные осадки почти не попадают и образуется интенсивный поверхностный сток, который стремительно движется вниз по склону и смывает мелкоземистые части осыпи. На пути движения сток, попадая на шлейфовую часть склона, где имеются мощные отложения обломков пород, поглощается, и поверхностный сток переходит в подземный. Таким образом в верхней части осыпей происходит образование поверхностного стока, а в нижней — шлейфовой части — его поглощение.

Следует отметить, что часто при выпадении ливневых дождей шлейфовая часть осыпи не успевает полностью поглотить дождевые воды и в таких случаях наблюдается образование поверхностного стока, который уносит более крупные обломки пород.

Таким образом в процессе образования осыпей уничтожение растительности играет весьма огромную роль. На южном склоне Большого Кавказа по петрографическому составу встречаются осыпи сланцевые, песчаниковые и др. Следует отметить, что вообще горная порода любого типа — изверженная, метаморфическая или осадочная — в определенных условиях может служить материалом для образования осыпей.

Вопросу закрепления осыпей также посвящено очень мало работ. Так, Г. Д. Дубелир, Ф. К. Кочерга [1, 2] и другие для закрепления осыпей рекомендуют устройство террас, каменных стенок. Однако закрепление осыпей путем устройства различных сооружений обходится очень дорого и они действуют недолговечно. Между тем, опыты и исследования показали, что осыпи вполне могут быть закреплены путем посадки на них белой акции. С целью выявления способом закрепления осыпей в Закатальском районе в бассейне р. Цолбанчай на склоне крутизной  $42^{\circ}$  на осыпи осенью 1957 г. были заложены опыты. Прежде чем перейти к изложению результатов опыта отметим, что в составе осыпей 90—92% приходится на долю скелета, а 8—10% на долю мелкозема. Мелкоземистая часть их характеризуется весьма низким плодородием. Содержание гумуса по всему профилю осыпи колеблется от 1,02 до 1,70%. В поглощающем комплексе 27 мкв приходится на долю Са. Осыпи также характеризуются весьма незначительным содержанием фосфора и азота. Так, в верхнем слое 0—10 см азота содержится 0,94, а фосфора 1,76 мг на 100 г осыпи. Незначительное содержание гумуса, недостаток питательных элементов, слабая микробиологическая деятельность, а с другой стороны большая крутизна склонов являются причиной того, что осыпи не заселяются естественной древесной и травянистой растительностью и трудно поддаются закреплению. Проведенные исследования показали, что шлейфовая часть осыпей характеризуется весьма благоприятным водным режимом.

Как видно из таблицы, на осыпях в летние дни на глубине 5—10, 15—20 и 25—30 см и глубже содержится достаточное количество влаги, доступной растениям. После каждого дождя осыпи бывают перенасыщены влагой, и нижние слои их представляют густую вязкую массу мелкозема с обломками пород. Для выявления осыпезакрепителей на охарактеризованной выше осыпи были высажены осенью 1957 г. двухлетние сеянцы лоха, акции белой, гладичии и сосны обыкновенной по схеме  $40 \times 60$  см. На осыпи были также высажены желуди дуба иберийского и плоды ореха черного. Повторные наблюдения, проведенные в 1962 г., показали, что, из всех высаженных и посаженных пород на опытном участке осталась только акация белая.

Влажность осыпей (1962 г.), %

Глубина определения влажности, см	1. IV	30. IV	5. V	17. VII	26. X
5—10	10,15	8,75	9,13	8,94	9,30
15—20	11,54	6,10	11,15	10,10	8,80
25—30	10,63	7,40	10,80	9,83	13,10
30—40	12,25	6,95	12,10	10,0	12,90
45—50	9,10	6,54	11,50	—	13,50

Эта акация в возрасте 6 лет образует на осыпи сомкнутое насаждение с полнотой 0,9 и хорошо защищает рыхлый материал от разрушения и сноса. Средняя высота посадки 3,6, максимальная — 4,2 м. Средний годовой прирост по высоте составляет 60 см, что является весьма положительным фактором. Было выявлено, что надземная часть акации задерживает движение рыхлого материала, вследствие чего поверхность осыпей приобретает микроступенчатый рельеф, у сголовов осыпей наблюдается аккумуляция рыхлого материала мощностью 5—7 см. Изучение состояния посадки показало, что на ложбинной части

осыпи, где отсутствует рыхлый материал, сеянцы акации не приживаются. При выпадении ливневых дождей на ложбинной части осыпи наблюдается образование поверхностного стока, который уносит высаженные сеянцы. Поэтому для закрепления ложбинной части осыпей необходимо устраивать невысокие плетневые запруды, которые постепенно, задерживая движение поверхностного стока, способствуют отложению продуктов смыва.

В связи с этим ложбинная часть осыпи приобретает ступенчатый рельеф, где вполне возможно произвести посадку. Таким образом проведенные исследования и опыты показали, что в горных районах Азербайджана, в особенности на южном склоне Большого Кавказа, в пределах лесной зоны большое распространение получили осыпи, являющиеся очагами образования поверхностного стока. Основным фактором образования осыпей на крутых склонах является уничтожение лесной растительности. Осыпи характеризуются незначительным содержанием гумуса и плохо обеспечены питательными веществами. Опыты, проведенные в течение 6 лет, выявили, что в лесной зоне осыпи вполне возможно закреплять путем посадки белой акации. Акация белая в возрасте 6 лет образует сомкнутое насаждение, и закрепляет рыхлый материал осыпей и тем самым приостанавливает движение его вниз по склону.

#### ЛИТЕРАТУРА

1. Дубелир Г. Д. и Корнеев Б. Г. Возделание земляного полотна в районах оползней и осыпей. М., 1948.
2. Кочергина Ф. К. Горномелиоративные работы в Средней Азии и южном Казахстане. М.—Л., 1953.
3. Синягин Г. П. Инженерно-геологические условия южного участка перевального через Главный хребет железной дороги. Материалы ЦНТРИ. «Геол. сб.», 3, М., 1934.
4. Ренгардт В. П. Геологические исследования в долинах рек Ассы и Комбильевки на Северном Кавказе. Труды ГГРУ, вып. 63, М., 1931.

Сектор эрозии

Поступило 24. V 1963.

Х. М. Мустафаев

Мешә гуршағында чөкмүш төкүнтуләрин әмәлә қәлмәси вә онларын бәркәдилмәси нағында

#### ХҮЛАСӘ

Азәрбајчанын дағ раionларында мешә гуршағында чөкмүш төкүнтуләр, гығырдаглар кениш жајылмыш вә онлар селләрин әмәлә қәлмәсіндә бөյүк рол ојнајыр. Әдәбијатда верилән мә'лumatлар көрә, чөкмүш төкүнтуләр мүәjjән кеолежи шәрайтә әмәлә қәлир вә онларын әмәлә қәлмәсіндә асас үч мәрһәлә—ана сухурун ашымасы, ашымасы материалларының жамачын үзү ашағы һәрәкәт етмәси вә онларын жамачын ашағысында топланмасы—мушаһидә едилди.

Алардығымыз тәдигатлар нәтичәсіндә мүәjjән едилди ки, мешә гуршағында дик жамачларда чөкмүш төкүнтуләрин әмәлә қәлмәсінин асас сәбәби мешәләрин кәсилемаси вә гырылмыш ағачларын жамачын үзү ашағы сүрудүлмәсінди.

Чөкмүш төкүнтуни тәшкил едән ашымасы материаллары лејсан жамачларды дүшүкдә жамачын үзү ашағы һәрәкәт едир вә селләрин әмәлә қәлмәсінә сәбәб одур.

Тәдигатлар нәтичәсіндә мүәjjән едилмишdir ки, чөкмүш төкүнтуләр зәнф мүибителиjә маликдир.

Чөкмүш төкүнтуләри бәркитмәк үсулларыны мүәjjән етмәк мәғсәлиә Загатала раionunda Солбан чајы һөвзәсіндә маиллиji 42° олан жамачда јерләшмиш төкүнтудә 1957-чи илдә ағ акасија, иjdә, јасәмән вә ади шам тинкләри әкилмишdir. 1962-чи илдә тәчрубә саһәсіндә апарылан тәдигатлар көстәрди ки, јухарыда көстәрилән ағач чинсләриндән ағ акасија жашы битәрәк чөкмүш төкүнтуни бәркитмиш вә ашымасы материалларыны һәрәкәтини дајандырышдыр. Беләликлә, апарылан тәчрубләр көстәрир ки, чөкмүш төкүнтуләрдә ағ акасија чинсли әкмәклә онлары бәркитмәк олар.

ФИЗИОЛОГИЯ РАСТЕНИЙ

Д. А. АЛИЕВ

**ОБ АКТИВНОСТИ ЦИТОХРОМОКСИДАЗЫ В РАСТЕНИЯХ  
И ДЕЙСТВИЕ МИКРОЭЛЕМЕНТОВ НА НЕЕ**

(Представлено академиком АН Азербайджанской ССР Г. А. Алиевым)

В ряде исследований показано ускорение оттока и передвижение сахаров, в основном сахарозы, в растениях под влиянием бора [1, 2, 12—15, 16], марганца, меди [1, 2, 13—14] и цинка [13]. Автор совместно с М. Г. Абуталыбовым [1] при изучении этого вопроса установил, что бор, а особенно марганец и медь резко ускоряют отток из листьев и передвижение этих веществ по коре стебля хлопчатника и баклажана. Однако механизм действия микроэлементов на эти процессы неизвестен.

Приимая во внимание метаболический характер передвижения органических веществ, мы в своих исследованиях задались целью изучить роль микроэлементов в физиологической и биохимической деятельности проводящих тканей. При этом на основании выводов А. Л. Курсанова и сотрудников [7, 8, 11] и других исследователей [18, 19] о том, что дыхание определяет энергетическую сторону процесса передвижения пластических веществ, мы решили заняться изучением процесса дыхания проводящих тканей исследованных растений. Было установлено, что значительное ускорение оттока сахаров из листьев и их передвижение по коре стебля под влиянием бора, а особенно марганца и меди в фазе коробкообразования хлопчатника [1] совпадает с высокой интенсивностью дыхания проводящих тканей [3].

Согласно предложенной Люндегардом [17] схеме процесс поглощения и передвижения ионов в крневой системе осуществляется при помощи цитохромоксидазной системы. М. В. Туркина и И. М. Дубинина [11] показали, что сосудисто-волокнистые пучки имеют высокоактивную цитохромоксидазную систему. Присутствие в проводящих путях активной цитохромоксидазы подтвердили Вилленбринк [18] и Циглер [19].

Вместе с тем многими авторами показано повышение под влиянием микроэлементов активности различных окислительных ферментов таких, как полифенолоксидаза, аскорбиноксидаза, пироксидаза. Однако действие микроэлементов на активность цитохромоксидазы в растениях совершенно не изучено. Основываясь на указанном, мы в своих исследованиях большое внимание уделяли этому ферменту.

Опыты проводились в полевых условиях на территории Кусарчайской опытной станции с баклажаном сорта Длиннофиолетовый и капустой сорта Бирючекутская-138. Баклажан в фазе начала цветения, а капуста в фазе формирования розеток (15 листьев) подкармливались микроэлементами. Через определенные дни определялась активность цитохромоксидазы в коре стебля баклажана и в листьях капусты. Определение активности цитохромоксидазы проводилось манометрическим методом [10] по окислению цитохрома С; восстановителем служил гидрохинон; ингибитор — диэтилдитиокарбомат натрия в концентрации  $m/50$ . Цитохром С получен из бычьего сердца по методу Кейлин и Хартри [10]. Об активности цитохромоксидазы мы судили по скорости поглощения кислорода тканевой суспензией. Укажем, что в ходе определения активности цитохромоксидазы 2 г растительного материала растиралось 20 мл  $m/15$ -фосфатным буфером pH—6,98. В главное пространство сосуда вносили 2 мл тканевой суспензии, 2 мл фосфорного буфера pH—6,98; 1 мл  $m/50$  диэтилдитиокарбоната натрия и 0,5 мл цитохрома: в боковой резервуар вносили 0,5 мл (10 мг) гидрохинона. Схема определения: опытный — суспензия + цитохром + гидрохинон; контроль — инактивированная тканевая суспензия + цитохром + гидрохинон. Отсчеты производили в течение 60 мин через каждые 15 мин. Некоторые данные сведены в таблице.

Таблица  
Активность цитохромоксидазы в листьях и тканях коры стебля баклажана

Варианты	мл $O_2$ в 1 ч на 1 г сырого веса	
	Листовая пластинка капусты	Ткани коры стебля бакла- жана
Контроль	324,3	165,2
$Na_2B_4O_7$ —6 кг/га	334,4	18,6
$MnSO_4$ —10 кг/га	415,9	216,1
$CuSO_4$ —5 кг/га	354,8	195,8
$ZnSO_4$ —5 кг/га	375,2	175,4

Результаты наших опытов показывают, что тканям коры стебля баклажана свойственна большая активность цитохромоксидазы. Активность фермента цитохромоксидазы в этих тканях значительно повышается под влиянием марганца и меди, а в листьях капусты — под влиянием марганца, меди, цинка. Значение меди в цитохромной системе недавно было показано в некоторых работах [4—6,9].

Эти данные вместе с нашими прежними работами и существующими литературными сведениями дают основание предполагать, что одной из причин ускорения передвижения сахаров под влиянием меди и марганца является участие этих элементов в энергетической стороне процесса передвижения пластических веществ.

#### ЛИТЕРАТУРА

1. Абуталыбов М. Г., Алиев Д. А. «Изв. АН Азерб. ССР», серия биол. и мед. наук, 1961, № 5.
2. Алиев Д. А. «Изв. АН Азерб. ССР», серия биол. и с.-х. наук 1958, № 5.
3. Алиев Д. А. «ДАН Азерб. ССР», т. 17, 1961, № 7, 4.
4. Грин Д. Е. В Международный биохимический конгресс, пленарная лекция. М., 1961.
5. Грин Д. Е., Гриффитс Д. Е., Дуг К. А., Уортон Д. С. В Международный биохимический конгресс, симпозиум V, М., 1961.
6. Ионетани Т. В Международный биохимический конгресс, симпозиум V, М., 1961.
7. Курсанов А. Л., Туркина М. В. «ДАН Азерб. ССР», т. 84, 1952, № 5.
8. Курсанов А. Л., Туркина М. В. «ДАН Азерб. ССР», т. 85, 1952, № 3.
9. Островская Л. К.

10. Самнер Д. В., Сомерс Г. Ф. Химия ферментов и методы их исследования, 1948.
11. Туркина М. В., Дубинина И. М. «ДАН АН ССР», т. 99, 1954, № 1.
12. Школьник М. Я. «Сов. ботаника», 1940, № 5.
13. Школьник М. Я., Абурашидов С. А. «Физиология растений», 1958, № 5.
14. Школьник М. Я., Грешикова В. Н. «Тр. Бот. инст., серия IV, эксперим. бот., 1958.
15. Гаунч, IV—физиол. растен. почв растениевод., 13, 137—141, 1961.
16. Juzgowska-Starcz Z. РЖБ. Rev. plant physiol., 6, 1953.
17. Lundegårdh H. Ann.ег H. planta, 51, 186, 198.
18. Willenberg K. J. planta, 48, 269, 1957.
19. Ziegler

Азербайджанский научно-исследовательский институт земеделия

Поступило 20. V 1963

Ч. Э. Элиев

Биткилэрдэ цитохромоксидазыны фәаллығы вә  
микроэлементләриң буна тә'сири һағында

#### ХУЛАСӘ

Өтүрүчү тохумаларда цитохромоксидазыны фәаллығының јүксәк олдуғуны көстәрән ишләрә [11, 16, 18, 19] әсасән биз шәкәрин һәрәкәттән дә микроэлементләриң ролуну өјрәнәркән, бу ферменттә дә хүсуси фикир вермишик.

Бизим тәчрүбәләрдә бор, мангани, мис вә синкин бадымчан көвдәсүнин габығында вә кәләмин ярпағында цитохромоксидазыны фәаллығына тә'сири өјрәнілмишdir. Тәчрүбәләрин нәтичәләри көстәрик ки, бадымчан көвдәсүнин габығ тохумалары јүксәк фәаллығда цитохромоксидаза маликдир. Бу ферменттің фәаллығы бадымчан көвдәсүнин габығында мангани вә мисин, кәләм ярпағында исә мангани, мис вә синкин тә'сири алтында хејли артыр.

Беләликлә, бу тәчрүбәләрин нәтичәләри, дикәр ишләримиз вә әдәбијјат мә'лumatлары көстәрик ки, шәкәрин һәрәкәтинин мангани вә мисин тә'сири алтында сүр'әтләнмәсі сәбәби бу элементләриң үзви маддәләриң һәрәкәтинин енеркетик چәһәтиндә иштиракы илә элагәдардыр.

ФИЗИОЛОГИЯ

С. Э. ЧӘБИЈЕВА

**КИЧИК ДОЗАЛЫ РАДИОАКТИВ ФОСФОРУН МУХТӘЛИФ  
ИНКИШАФ МӘРҮЭЛӘЛӘРИНДӘ ТОЈУГ ІУМУРТАЛАРЫНЫН  
ИНКУБАСИЈА ПРОСЕСИНӘ ТӘ'СИРИ**

(Азәрбајҹан ССР ЕА академики А. И. Гарајев тәгдим етмишидир)

Әввәлки ишләrimizdә кичик дозалы радиоактив фосфорла тојуг јумурталарынын ендокен вә екзокен шүаланмасынын инкубасија просесинә тә'сири өјрәнилmişdir. Бу тәчрүбәләрин иәтичәләрindән мә'lum олмушшур ки, тојуг јумурталарынын 10, 25 вә 50 микрокүрү дозасында радиоактив фосфорла ендокен вә 10, 25 вә 50 мин дәфә тәбии фондан јүксәк олан шәраитдә екзокен шүаланмасы инкубасија просесинә мусбәт тә'сир көстәрир: инкубасија дәврү гысалыр, чүчә чыхма фази артыр [1, 2].

Тәгдим едилән мәгалә исә кичик дозалы радиоактив фосфорун мухтәлиф инкишаф мәрһәләсindә олан тојуг ембрионунун инкишафына тә'сирини өјрәнимәјә, hәср едилmişdir.

Бу мәгсәдлә тәчрүбәләrimiz 2846 әдәд леггори чинсли тојуг јумурталары үзәриндә 3 серијада апарылмышдыр.

*Биринчи серија* тәчрүбәләrimizdә тојуг јумурталары радиоактив фосфорла бирдәфәлик, инкубасијадан әvvәl, ja инкубасијанын 7-чи вә ja да 18-чи күнү шүаландырылмышдыр.

*Икинчи серија* тәчрүбәләrimizdә шүаланма 2 дәфә апарылмышдыр: инкубасијадан әvvәl вә инкубасијадан 7 күн сонра.

*Үчүнчү серија* тәчрүбәләrimizdә исә шүаланма 3 дәфа: инкубасијадан әvvәl, инкубасијанын 7-чи вә 18-чи күнү апарылмышдыр.

Бүтүн серијаларда шүаланмыш јумурталарла јанаши олараг контрол тәчрүбәләр дә апарылмышдыр. Шүаланма әvvәлчәдән назырланмыш аппликатор васитәсилә ичра олуунурду. Бүтүн серија тәчрүбәләrimizdә eјни дозадан 0,01 радиоактив фосфордан истифадә едилmişdir. Тәчрүбәләрин иәтичәләри 1, 2 вә 3-чү чәдвәлләрдә верилmişdir.

1-чи чәдвәлдән көрүндүjү кими, бу серија тәчрүбәләrimizdә истифадә етдијимиз дозада тојуг јумурталарынын радиоактив фосфорла бирдәфәлик шүаландырылмасы чүчә чыхма фазинә тә'сир көстәрмир.

2-чи чәдвәлдән көрүндүjү кими, јумурталары инкубасијадан әvvәl вә инкубасијанын 7-чи күнү шүаландырылғыда чүчә чыхма фази контрол группа иисбәтән 6—9 фазэ гәдәр артмышдыр. Демәли, јумурталары 0,01 дозасында радиоактив фосфорла инкубасијадан әvvәl вә ин-

Биринчи серия тәчрүбәләр

1-чи чәдәвәл

Группа	Шүалачма шәрәнти	Инкубацияның 7-чү күнү шүаландырылмасы чүчә чыхма фазизине мүсбәт тә'сир көстәрир.						
		Инкубатордағы яйлар	Инкубатордағы яйлар	Инкубатордағы яйлар	Инкубатордағы яйлар	Инкубатордағы яйлар	Инкубатордағы яйлар	Инкубатордағы яйлар
Тәчрүби	Инкубасијадан әвшәл	156	132	5	4	15	108	81,0
Контрол	Инкубасијадан 7-чи күн	156	122	9	4	9	103	81,0
Тәчрүби	Инкубасијадан 18-чи күн	—	160	—	3	13	144	90,0
Контрол	Инкубасијадан 18-чи күн	—	160	—	5	13	142	88,0
Контрол	Инкубасијадан 18-чи күн	145	—	2	15	123	88,0	
		142	—	3	13	126	88,0	

2-чи чәдәвәл

Иккىчи серия тәчрүбәләр

Группа	Шүаланма шәрәнти	Инкубацияның 7-чү күнү шүаландырылмасы чүчә чыхма фазизине мүсбәт тә'сир көстәрир.						
		Инкубатордағы яйлар	Инкубатордағы яйлар	Инкубатордағы яйлар	Инкубатордағы яйлар	Инкубатордағы яйлар	Инкубатордағы яйлар	Инкубатордағы яйлар
Тәчрүби	Инкубасијадан әвшәл вә 7 күн соңра	160	148	3	4	9	132	80
Контрол	Инкубасијадан 7 күн соңра	160	146	5	5	21	115	80
Тәчрүби	Инкубасијадан 7 күн соңра	156	139	4	—	13	122	87
Контрол	Инкубасијадан 7 күн соңра	156	146	5	4	25	114	78
Тәчрүби	Инкубасијадан 7 күн соңра	160	143	2	3	13	126	83
Контрол	Инкубасијадан 7 күн соңра	160	139	5	4	14	116	83

3-чи чәдәвәл

Үчүнчү серия тәчрүбәләр

Группа	Шүаланма шәрәнти	Инкубацияның 7-чү күнү шүаландырылмасы чүчә чыхма фазизине мүсбәт тә'сир көстәрир.						
		Инкубатордағы яйлар	Инкубатордағы яйлар	Инкубатордағы яйлар	Инкубатордағы яйлар	Инкубатордағы яйлар	Инкубатордағы яйлар	Инкубатордағы яйлар
Тәчрүби	Инкубасијадан әвшәл, инкубасијадан 7 вә 18-чи күнләри	162	151	2	4	9	136	90
Контрол	Инкубасијадан 7 вә 18-чи күнләри	160	149	5	4	11	129	80
Тәчрүби	Инкубасијадан 7 вә 18-чи күнләри	156	143	1	3	11	124	88
Контрол	Инкубасијадан 7 вә 18-чи күнләри	156	145	3	6	20	116	80
Тәчрүби	Инкубасијадан 7 вә 18-чи күнләри	156	140	5	5	9	126	87
Контрол	Инкубасијадан 7 вә 18-чи күнләри	156	138	5	7	10	116	81

күбасијаның 7-чү күнү шүаландырылмасы чүчә чыхма фазизине мүсбәт тә'сир көстәрир.

Үчүнчү серия үзәрә апардығымыз тәчрүбәләрдә чүчә чыхма фазиз контрол група нисбәтән 6—10 фәнәр артыгдыр (3-чи чәдәвәлә бах).

Апардығымыз тәчрүбәләрнә иәтичәләрнә эасаланараг демәк олар кишаф мәрһәләсіндә бирдәфәлик шүаландырылмасы чүчә чыхма фазиз дозада радиоактив фосфорла 2—3 дәфә шүаландырылмасы лазымыры.

Беләликлә, апарылан тәдгигатдан көрүнүр ки, инкишафын мұхтәлиф мәрһәләләрнә јумурталарын 0,01 дозасында радиоактив фосфорла 2 дәфә шүаландырылмасы чүчә чыхма фазизине мүсбәт тә'сир көстәрир. Кичик дозада истифадә олунан радиоактив фосфорла шүаланма бирдәфәлик дејил, 2—3 дәфә апарылмалыдыры.

ЭДӘБИЙДАР

1. Чәбіјева С. Э., Ағачанова А. Т. Тојуг јумурталарының кичик дозалы радиоактив фосфорла шүаланмасының инкубасија заманы ембрионуны инкишафы на тә'сир. «Азәрб ССР ЕА Хәбәрләри», № 1, 1963. 2. Чәбіјева С. Э., Ағачанова А. Т. Кичик дозалы радиоактив фосфорун тојуг ембрионуны инкишафына тә'сир. Физиология бөлмәсінниң есәрләри, VI чылд, 1963.

Алымышдыр 16.IV 1963

С. А. Джабиева

Влияние радиоактивного фосфора на процесс инкубации куриных яиц, находящихся на различных стадиях развития

РЕЗЮМЕ

В предыдущих работах изучалось действие эндогенного и экзогенного облучения яиц  $P^{32}$  до начала инкубации на процесс развития куриного эмбриона. В результате этих опытов было показано отчетливое биопозитивное действие  $P^{32}$  в дозах 10, 25 и 50 мкюори (эндогенного), в 10, 25 и 50 тыс. раз превышающее естественный фон (экзогенного) и выражющееся в сокращении продолжительности инкубации и увеличении процента вывода.

Настоящая работа посвящена изучению действия малых доз  $P^{32}$  на эмбрионы, находящиеся в различных стадиях развития.

В опытах было использовано 2846 шт. яиц кур породы леггорн. Предназначенные для опыта яйца распределялись на 3 группы. В 1-й группе яйца облучались  $P^{32}$  однократно или перед закладкой, или на 7 и 18-й день развития. Во 2-й группе яйца облучались перед закладкой и на 7 день развития. В 3-й группе облучение производилось перед закладкой на 7 и 18-й день развития. Однократенно с каждой группой были и контрольно не облученные яйца.

Облучение производилось путем наложения предварительно приготовленных аппликаторов на каждое яйцо.  $P^{32}$  использован в дозе 0,01 р. В процессе инкубации проводились контрольные просмотры, определялась потеря веса развивающихся яиц, учитывалась продолжительность развития эмбрионов и % вывода цыплят из контрольных и опытных групп яиц.

В результате наблюдения отмечено, что из всех облученных групп наилучшие результаты дали группы дважды и трижды облученные. Здесь наблюдается наибольшая выживаемость выведенных цыплят, а также наибольший процент вывода по сравнению с другой опытной группой и по сравнению с контролем.

ПАРАЗИТОЛОКИЯ

Ч. М. БАГЫРОВ

**ГАРАМАЛЫН ТЕЈЛЕРИОЗ ХӘСТӘЛИЈИНДӘ МӘ'ДӘ  
ӨИЛҮКЛӘРИНИН АТОНИЈАСЫНА ГАРШЫ ТӘ'СИРЛИ  
СИМПТОМАТИҚ ДӘРМАН ВАСИТӘЛӘРИ**

(Азәрбајчан ССР ЕА академији M. K. Гәнијев тәгдим етмишdir)

Азәрбајчан шәрантиндә гарамалын тејлериозу ағыр кечән хәстәлик олуб, башга республикалардан кәтирилмис жүксөк мәһсүлдар чинс һej-ванилар арасында күлли мигдарда тәләфата сәбәб олур.

Хәстәликдә организмын дикәр системләри илә јанаши горхулу дәји-шикликләрдән бири дә мә'дә-багырсаг шө'бәснинде кедән позгуилугдур.

И. Ж. Гончаров [2] тејлериоз хәстәлији заманы өлүмүн сәбәбини мә'дә-багырсаг атонијасы иәтичәснинде баш вермиш интоксикасијада көрүр.

А. А. Теселишевә [6] көрә, мә'дә-багырсаг системи тејлериоз хәстәлији заманы чох вахт паралич олур.

Хәстәлијин ағыр кечмәснән вә күлли мигдарда иғтисади зијан верлијинә бахмајараг бу күнә гәдәр спесифик мұаличәси јохдур.

Д. Э. Мирзәбәјов [3], Ф. Ф. Порохов [5], Н. Г. Понировски [4], Э. Э. Агајев [1] вә башгалары көстәрирләр ки, тејлериозун мұаличәснинде ким-жәви терапевтик дәрман васитәләри илә бирликдә, мә'дә-багырсаг вә синир системиниң фәалијјетиниң җаҳышлашдыран симптоматик дәрманларын ишләдилмәси илә хәстәликдән сағалма фәизи арта биләр. Симптоматик мұаличәни дүзкүн һәлл етмәк учун әввәлчә, мә'дә өилюккләриниң һәрәки вә көчүрмә фәалијјетиниң хәстәлик кедишиндиндә нечә гәјишдијини, патоложи просесин инициаф мәрһәләснин сүн'и олараг тә'леризла (*Theilleria annulata*) јолуходурулмуш 9 баш һејван үзәриндә өјрәндик. Бу мәғсәд үчүн һәмниң һејванларын ишкәнбә вә шырданыца Э. Э. Элијевин үсулу илә фистула гојулду. Тәчрүбә һејванлары тејлериозун Абшерон штамты илә (кәнә вә гәи көчүрмә васитәсилә) јолуходурулду.

Тәдгигатларда мә'дә өилюккләриниң һәрәки фәалијјети хәстәләимәдән габаг вә хәстәлик кедишиндиндә кимограф васитәсилә қағыз үзәриңе јазылмыш, ейни заманда мә'дә өилюккләриниң көчүрмә фәалијјети вә шырданыны шиရа ифразы өјрәнилмишdir.

Анарылмыш тәчрүбәләрлә мүәјжән едилмишdir ки, тејлериоз хәстәлијинде мә'дә багырсагларда патоложи просесин инициафы З мәрһәләдә кедир.

Биринчи мәрһәлә — мә'дә өилюккләри һәрәки фәалијјетиниң тез-тәш мә вә сүр'этләнмәсидir. Бу һал иникубасија дөврүнүн соңларында баш-

ланмагла, хәстәлик башланындан 1—2 күн соңа давам едир. Бу заман мәдә өnlükләrinin hәrәki вә көчүрмә фәалиjäteti jүksәliр.

Икинчи мәрһәлә — мәдә өnlükләrinin hипотонија вәзиjätini дүшмәсидир. Бу һал хәстәлиjin 2—3-чү күнү баш вәрмеклә 2—4 күн давам едир. Ыемин дөврә мәдә өnlükләri сыхылмаларының сајы вә гүввәси нормаја нисбәтән 40—55% зәифләјир. Сая жәләләrin тонусунун ашагы дүшмәси илә мәдә өnlükләrinde мөhtәвијатын шырдана көчмәси 40—45% азалыр. Мәдә өnlükләri мөhtәвијаты вә шырдана ширәсии Ph-ы туршулуға мејл едир.

Үчүнчү мәрһәлә — мәдә өnlükләrinin атонија вәзиjätindә олмасыдыр. Хәстәлиjin ити кедишиндә бу һал 6—7-чи күнләр нәзәрә чарпыр. Бу дөврүн башланғышында мәдә өnlükләrinin сыхылмалары hәлдиндән артыг зәифләјир, гејри-нормал ритмик һаллара тәсадүф едилir. Китабчаның көчүрмә фәалиjäteti кәскин азалыр, hәтта тамамитә кәслир. Ишкәнбә мөhtәвијаты ежни чинсли, көпуклу horpa вәзиjätini алмагла туршулуғу 5,9-а енир, мәдә ширәсии туршулуғу исә 1,8—2,46 олур.

Бу мәрһәлә мәркәзи синир системинин кәскин позулмасы (сугунламасы) һалы илә давам етмеклә гыса мүддәтдә өлүмлә нәтижәләнир. Белә һаллар тәjleriозун ағыр кедиши заманы мејдана чыхыр.

Тәдгигатларымызын нәтичәләри бизә белә бир мүләниң сәjlәmәjә имкан верир ки, хәстәлик нәтичәсindә баш вәрән мәдә-бағыrsag атонијасында мөhtәвијатын бир шө'бәдән башга шө'бәjә көчүрүлмәсindә дурғунлуг әмәлә кәлир ки, бу дурғунлуг нәтичәсindә онун чүрүмәси вә бу мәhсүлларын организм тәрәфиндән сорулараг, бәдәндә кедән патоложи просесләрин бир даһа дәринләшмәсini сәбәб олур. Бүтүн бүнлар умуми синир системинин позунлуғу илә әлагәдар баш вәрир.

Хәстәлик заманы көстәриләn позунлуғлары арадан галдырмаг үчүн ән яхшы руминатор вә умуми синир системинин фәалиjätini низамлайын дәрманларын комбинасиян үсулла ишләдилмәсini лазым билиб, хәстәлиjin айры-айры мәрһәләsinde кофеини, прозерини, күнәбахан ягыны тәklikdә вә бирликдә ашағыдақы дозаларда сыйнадан кечирдик.

Прозерин 0,5%—20—25 г, кофеин 20%—0,01 г; hәр кг чәкиjә суда мәhлулу дәри алтына тәтбиg етдик, битки яғы 400—600 г, hәр баша перос ишләдилди.

Апардығымыз тәчруbәlәrinin нәтичәsindә мүәjjәn етдик ки, кәfeiniн tә'siri алтында хәстә hеjvanын үмуми вәзиjäteti ja-shylashыr, са'a әзелләrin үмуми тонусу jүksәliр, бунуна әлагәдар олараг ишкәnбә, торчуг, китабчаның сыхылмалары фәаллашыр вә күчләнир, мөhtәviјatын китабчадан шырдана көчүрүлмәси 30—40% артыр, беләликлә hеjvanда иштаһа әмәлә кәлир.

Прозерин tә'siriinden mәdә өnlükләrinin hәrәkәt фәалиjäteti хәстәlijin бириичи мәрһәlәsinde даһа чох, 2-чи мәрһәlәsinde нисбәтән az фәаллашыр. Фәаллашма hәm торчуг, hәm китабча вә hәm dә iшкәnбәdә мушаһида едилir. hеjvan тез-тез-кал вә сидик бурахыр, онда түпүрчәк ifrazы артыр вә иштаһа әмәлә кәлир.

Бу препаратын tә'siri нәтичәsindә мөhtәviјatын mәdә өnlükләrinde шырдана кечмәси хеjli яхшылашыр. Хәstәlijin 3-чү мәрһәlәsinde прозеринин tә'siriinden mәdә өnlükләrinde гысамүддәтли вә гејри-чүz'и характер сыхылмалар әмәлә кәлиrsә dә, hәrәki фәалиjätet экසәрәn бәрпа олуимур.

Битки яғлары (күнәбахан) mәdә өnlükләrinin hәrәki фәалиjäteti мигдарча артырмыр, анчаг сыхылмалар күчлү олур, хүсусен китабчаны мөhtәviјatы jүmшалыр вә онун шырдана көчүрүлмәси сүр'етләнир.

Тәjleriоз нәтичәsindә mәdә өnlükләrinde баш вәрмиш позунлуғу арадан галдырмаг үчүн көstәriләn дәрманлары бирликdә iшләtдikdә даһа да мүсбәт нәтичә алдыг.

Буну биз белә тәчrubәlәrlә исbat етдик: әvvәlchә кафеин, 30 дәгигә сонра прозерин вурдуға hеjvanын үмуми бәдән тонусу jүksәlmәkә hәm торчугу, hәm китабчаны вә hәm dә iшkәnбәnin hәrәkәti артыр, мөhtәviјatын көчүрүлмәси просеси яхшылашырды.

Сонракы тәchrubәlәrdә әvvәlchә кафеин, 10 дәгигә кечмиш дахиля-күнәбахан яғы перос верилдикdә, бу тәchrubәlәrdә кафеине хас олай tә'sirlә бәрабәр китабчаның фәалиjätini даһа да яхшылашысы вә көчүрмә просесини нисбәтән хеjli күчләmәsi гејd едилди.

Буна охшар тәchrubәni биз прозерине тәkrap етдикdә mәdә өnlükләrinin hәrәki вә көчүрмә фәалиjätindә хеjli чанланма мушаһида едилдисе dә, анчаг кафеине яғын tә'siri заманы гејd едилән үмуми бәдән тонусунун галхасы бу тәchrubәdә көрүмәди.)

Ахырычы тәchrubәlәrdә кофеин вурулдуғдан 10 дәгигә сонра күнәбахан яғы вә 30 дәгигә сонра прозерин (juхарыда көstәriләn доззларда) tәtbiг едилди вә артыг шәрh едилмиш тәchrubәlәrә kәrә хеjli яхшы нәтичә әлдә едилди. Ыемин комбинасия заманы бағыrsagлarda iшләdичи tә'sir әмәлә кәлир вә ejni заманда сидик говуғу tә'sirdә nә-эр чарпыр.

Апарылан тәchrubәlәrin иә гәdәр әhәmijäteli олмасыны јохламаг үчүн биз әvvәlchә тәchrubә шәraintindә vә сонра да тәsәrrүfат шәraintindә bir сыра тәdгигатлар апардыг.

Белә мүәjjәn едилди ки, ахырычы схем үзрә сыйнагдан кечириләn симптоматик дәрманлары кимja терапевтик препараторлар (акаприн, һемоспаридим пенисилиннелә бирликdә) комбине етдикdә, хәstәliкдәn сағалма фази хеjli jүksәk олур вә хәstәliк jүnкул кечмәkә hеjvan jemden галмыр, нисбәтәn тез сағалыр.

Буна мисал олараг Нахчыван MCCР Норашен истеһсал-тәdaruk идарәsinin «Совет» колхозунда тәjleriозла тәbini хәstәlәndirilmiш 20 баш hеjvanын үзәrinde апардығымыз тәchrubәni көstәrmәk слар.

Апарылан тәchrubәlәrin нәтичәsindә гарамалда тәjleriоз нәтичәsindә баш вәрмиш mәdә-бағыrsag атонијасыны гаршысыны алмаг үчүн бајтар hәkimlәrinе ашағыдақы мәslәhәtlәri вәrә биләrik:

1. Хәstәlijin башланчыг дөврүндә мүаличәjә башламалы вә кимja терапевтик дәрманларла бәрабәр симптоматик васитәlәrdәn истифадә стмәli.

2. Bir симптоматик мүаличә кими кафеин, прозерин вә битки яғынын комбине ишләdilmәsi (кафеин 0,007—0,01 г hәr bir кг чәki ә dәri алтына, 10 дәгигә сонра битки яғы 400—600 ml hәr баша дахиля, 30 дәгигә сонра прозерин 20—25 г 1 кг чәkijә) эн яхшы нәтичә верир. Беләликлә, көstәriләn схемдә комбине едилмиш дәрманлар организмә hәrtәrәfli ojadacyы tә'sir көstәriр, hеjvanын iшtaһasыны күчләndirir, үмуми клиник һалыны күмраhлашдырыр вә mәdә-бағыrsag системинде hәm маториканы, hәm dә көчүрмәни низама салыр.

#### Әдәбијат

1. Агаев А. А. Труды АзНИВИ, т. XIV, Баку, 1962.
2. Гончаров И. Е. Труды Дальневосточного НИВИ, т. 4, 1962.
3. Мирзабеков Д. А. Груды АзНИВИ, т. V, Баку, 1956.
4. Понировский Н. Г. Труды Туркменского сельскохозяйственного института, т. IX, Ашхабад, 1957.
5. Порохов Ф. Ф. «Ж. Ветеринария», № 11, 1955.
6. Целищева А. А. Паразитические простейшие тельверии и тельверии крупного рогатого скота Казахстана т. I, Алма-Ата, 1946.

Азәрбајҹан Елми-Тәдгигат  
Бајтарлыг Институту

Алымышдыр 23. III 1963

**Симптоматические средства при лечении тейлериоза  
крупного рогатого скота**

**РЕЗЮМЕ**

Тейлериоз крупного рогатого скота наносит огромный экономический ущерб животноводческим хозяйствам Азербайджана. Несмотря на это, вопрос специфического лечения практически остается неразрешенным. Лечение больных животных должно проводиться не только путем борьбы с самим возбудителем, но и путем улучшения нервной регуляции и восстановления работы желудочно-кишечного тракта.

Для этой цели мы испытывали: 1) кофеин-натрий бензоат, улучшающий работу центральной нервной системы и тонизирующий гладкую мускулатуру; 2) прозерин, возбуждающий парасимпатическую нервную систему и восстанавливающий нарушение функции желудочно-кишечного тракта; 3) подсолнечное масло для смягчения листочеков книжки и усиления эвакуаторной функции преджелудков и кишечника.

Опыты проводились на 9 фистулярных животных (фистула поставлена в рубец и сицуг по методу А. А. Алиева), искусственно зараженных, и на 20 головах спонтанно зараженных тейлериозом *Theilleria annulata* животных.

Указанные препараты применялись в отдельности и в комбинированном виде в следующих дозах: кофеин 20%-ный — 0,01—0,007 г/кг, прозерин — 20—25 г 0,5%-ного водного раствора на 1 кг веса животного подкожно, подсолнечное масло — 400—600 г на голову перос.

Самые лучшие результаты были получены при комбинированном методе с использованием химиопрепараторов (акаприн, гемоспоридин, пенициллин) по следующей схеме: вначале вводился кофеин, через 10 минут — подсолнечное масло и через 30 минут — прозерин в вышеуказанных дозах.

Указанное комбинированное лечение оказывает благоприятное симптоматическое действие на течение тейлериоза, т. к. происходит активизация моторной деятельности рубца, сетки, книжки и кишечника, увеличивается эвакуаторная функция преджелудков, чем устраняется захват книжки, предупреждается запор кишечника и в результате быстрее достигается выздоровление.

**АРХИТЕКТУРА**

Н. А. САРКИСОВ

**КЕРАМИКА В ОТДЕЛКЕ ИНТЕРЬЕРОВ ДВУХ МАЛОИЗУЧЕННЫХ ПАМЯТНИКОВ АРХИТЕКТУРЫ АЗЕРБАЙДЖАНА**

(Представлено академиком АН Азербайджанской ССР М. А. Усейновым)

Облицовка стен керамикой, известная еще в глубокой древности в Египте, Вавилонии, Ассирии и нашедшая свою дальнейшую разработку в ахеменидской Персии<sup>1</sup>, стала одним из главных средств декора многих монументальных сооружений архитектуры Азербайджана, а также ряда стран Переднего Востока. На протяжении целой эпохи, охватывающей периоды наибольшего расцвета зодчества и связанных с ним прикладных искусств, керамика как строительный материал применялась не только для отделки внешних стен, куполов и особенно порталов зданий, ее нередко использовали и для покрытия внутренних стен отдельных помещений.

Впервые публикуемый в данной статье материал, освещающий отдельные вопросы применения архитектурной керамики в отделке интерьеров зданий, относится к двум значительным, но пока еще находящимся в стадии изучения, памятникам азербайджанского зодчества — мавзолею шейха Джунейда в сел. Хазры Кусарского района и бани в комплексе построек Дворца ширваншахов в Баку.

Не останавливаясь на архитектурной характеристике мавзолея, особенностях его планировочного и пространственного решения, заслуживающих специального рассмотрения, следует лишь отметить, что мавзолей воздвигнут в 1544 г. на месте захоронения сефевидского шейха Джунейда, погибшего в 1456 г. на берегу р. Самур в сражении с войсками ширваншаха Халиллулы I<sup>2</sup>.

Стены мавзолея и пристроенной к нему в дальнейшем мечети, порталы, купол и своды выполнены из розового кирпича квадратной формы.

Внутри усыпальницы стены по всему периметру имеют отделку из плиток майолики, образующих четыре панели на высоту 1,35 м от отметки пола. В геометрически строгой по композиции и декору усыпальнице, тускло освещенной через высоко расположенные окна, на фоне

<sup>1</sup> А. Н. Кубе. История фаянса. Берлин, 1923, стр. 18.

<sup>2</sup> История Азербайджана, т. I, Баку, 1958, стр. 208.

белых оштукатуренных стен, эффективно воспринимаются мерцающие отраженным светом майоликовые панели. Панели набраны из квадратных плиток, покрытых непрозрачной глазурью (эмалью) двух цветов, — светло-синей (бирюза) и темно-синей (кобальт); рисунок панелей составлен по диагональной квадратной сетке, ячейки которой в шахматном порядке заполнены светлыми и темными плитками. Размеры плиток  $17 \times 17$  см при толщине черепка 2–2,5 см. Все панели по верху, а в некоторых случаях и сбоку оконтуриены узкой лентой бордюра, вырезанного из тех же майоликовых плиток по размерам  $17 \times 8$  см. — Качество плиток, использованных в наборе, довольно высокое; основа — розовый черепок, плотный и однородный по структуре, хорошо обожжен и не имеет нигде отковов и трещин; на отдельных плитках визуально просматривается небольшое искривление поверхности, получившееся в результате часто наблюдающегося при обжиге в горнах коробления изделий. Многие плитки покрыты сеткой тонких волосинных трещин «цека», — результата различия коэффициентов расширения и сжатия подглазурной основы — черепка и накрывочного слоя глазури. Однако, несмотря на «цек», нами нигде не обнаружены плитки хотя бы с небольшими отколами поливы: для всех плиток характерно очень плотное приплывание глазурей к поверхности черепка. Из других дефектов на плитках следует назвать встречающиеся местами наколы, пузырчатость и игольники, однако они существенного влияния на качество керамики не оказали — сохранность керамических панелей и в настоящее время весьма хорошая.

Большой интерес представляет поливная керамика, обнаруженная в 1961 г. при раскопках старинной бани на территории дворцового комплекса ширваншахов в Баку. В двух небольших по площади помещениях, расположенных вдоль северо-восточной стены бани, стены и полы были облицованы керамикой. В одном из них, в центре, размещался восьмигранный бассейн из белого местного камня — известняка, а пол имел покрытие из шестиугольных керамических плиток размером по стороне 12,5 см, покрытых с лицевой стороны голубой поливой.

135

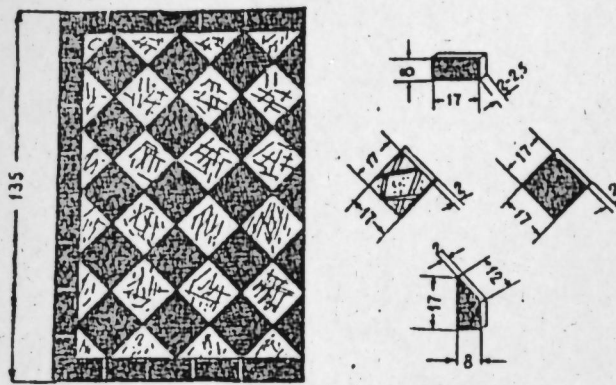


Рис. 1  
Фрагмент керамической панели мавзолея шейха Джунейда в сел. Хазры Кусарского района.

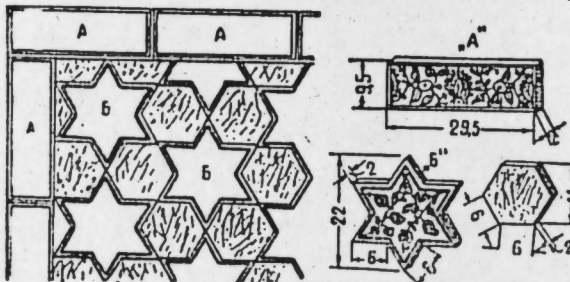


Рис. 2  
Фрагмент керамической панели бани комплекса Дворца ширваншахов в г. Баку.

Во втором помещении, с глубокой нишей на противоположной входу стене, пол также имел в прошлом покрытие из керамических плиток, аналогичных плиткам первой комнаты. Керамическую отделку имели и сильно выступающие от стен панели высотой 0,5 м из пяти рядов глазурованного кирпича с размерами по фасаду  $24 \times 10$  и  $23 \times 9,5$  см. Размещенная на торцовой стене помещения глубокая ниша со стрельчатым сводом декорирована на высоту 0,76 м майоликовыми плитками двух видов — шестилучевыми звездами и шестиугольниками. Шестиугольные плитки, размер по стороне 6 см<sup>3</sup>, покрыты с лицевой стороны зеленой непрозрачной глазурью (эмалью). Шестилучевые звезды, построенные пересечением двух равносторонних треугольников, покрыты белой эмалью и расписаны орнаментом. Размер звезд, по расстоянию между крайними точками лучей, составляет 22 см. Сборка панелей из звезд и шестиугольников заключена в рамку из прямоугольных плиток размером  $29,5 \times 9,5$  см. Отделка шестилучевых звезд и бордюрных плиток выполнена в одной манере, — те и другие покрыты оловяниной, цвета слоновой кости поливой, по которой исполнена роспись орнамента кобальтом. Живой по рисунку растительный орнамент, изображает изогнутые стебли с отходящими в разные стороны цветами, бутонами и листьями. На звездах композиция орнамента составлена из двух стеблей, заполняющих своими цветами и листьями прилегающие лучи; характер прорисовки деталей — величина и количество лепестков на цветах, размер листьев — не одинаковы для всех звезд. Плитки обрамления расписаны сходным со звездами орнаментом, но по иной схеме: в центре плиток размещен крупный «медальон», к которому с боков направлены побеги с написанными на них листьями и цветами.

Качество полив хорошее: сырость заглубленных в землю стен совершенно не разрушила ни черепок, ни глазури. В орнаментике плиток, каждая из которых является самостоятельным произведением художника-керамиста, чувствуется живая струя народного искусства, всегда оживлявшего строгие канонизированные в зачастую однообразные формы построек. Изучение керамики двух рассмотренных памятников позволяет сделать некоторые предварительные выводы.

Скромный по рисунку и исполнению керамический декор мавзолея шейха Джунейда, является продукцией местных сельских гончаров-ремесленников, привлеченных главным мастером «устадом» при строительстве здания.

Устройство керамической облицовки в виде панелей на стенах мавзолея шейха Джунейда являлось, вероятно, пожеланием строителей подчеркнуть значимость места погребения одного из влиятельнейших шейхов Ардебиля. Кроме того, в создании керамических панелей можно усмотреть скромную попытку воспроизвести хотя бы в общих чертах (в связи с ограниченными производственными возможностями и недостаточными художественными навыками местных гончаров) керамический декор интерьеров некоторых известных мавзолеев Азербайджана и Ирана.

<sup>3</sup> Любопытно отметить, что этот размер совпадает с размерами звезд из облицовки панелей мавзолея Пир-Хусейна в Ханеге на р. Пирсагат. Шестилучевые керамические звезды имелись в отделке кыблы мечети того же комплекса. См. В. М. Сысоев. Древности в Ханеге близ сел. Наваги. «Изв. Азерб. археол. комитета», вып. I, Баку, 1925, стр. 63. Можно допустить, что формы звезд и характер их декора являются отдаленной реминисценцией керамических звезд упомянутой кыблы; геометрически эта форма шестиугольной звезды ведет к каменному зодчеству древней Армении. См. И. О. Орбели. «Мусульманские изразцы». II ч., 1923, стр. 19; Н. М. Токарский. «Архитектура Армении IV—XIV вв. Ереван, 1961, стр. 260.

Обнаруженная в руинах раскопанная башня к ранее известному и единственному по использованию керамики памятнику ашшероно-ширванской группы, ханегинскому комплексу на р. Пирсагат, присоединит еще одно значительное сооружение, керамика которого составляет важное звено в общем процессе генезиса архитектурной керамики Азербайджана.

Азербайджанский политехнический институт

Поступило 6. IX 1962

Н. А. Саркисов

## Ики Азэрбајчан архитектура абидаһинин керамик панелләри һагында

### ХУЛАСӘ

Мэгләдә аз өјрәнилмиш ики абидаһин интерјериндә ишләдилән керамик үзләмәләр һагында јени материал дәрч олунур. Бу абидаһләр Гусар районунун Хәзри кәндидәки Шејхчунејд түрбәси вә Бакыдахи Хан сараы комплексинин һамамындан ибәрәтдир.

Түрбә Хәлилуллаһ Ширваншаһынын гошуналары илә вурушма заманы 1456-чы илдә өлдүрүлмүш Сәфәви шејхи Шејхчунејдин гәбрү үзәриндә тикилмишdir. Планда квадрат формада олан түрбәнин диварлары 1,35 м һүндүрлүјүндә ики рәнк керамик плиткаларла үзләндирлимишdir. Түнд көј вә фирузә рәнкли, 17×17×2 см өлчүлү кашы плиткалардан кеометрик «шәһмат» шәкилли панелләр дүзәлдилмишdir. Бурада һәр бир квадратын оху һоризонтла 45° бучаг тәшкىл едир.

Панелләр јухары, ашағы вә јандан 17×8 см өлчүд түнд көј рәнкли кашы плиткаларла мәһдудланыр. Бинанын тикилмәсindән узүн мүддәт кечмәсинә баҳмајараг, үзләмәдә һеч бир ашынма әмәлә кәлмәмишdir ки, бу да керамиканың јүксәк кефийјәтә малик олмасыны көстәрир. Газынты ишләри апарылан заман јухарыда ады чәкилән һамамын отагларынын бириндә ифасына вә формасына көрә сохна мараглы кашы керамика ашкар едилмишdir. Үзләмә панели алтыбучаг формалы улдуз вә дүзбучаглы плиткалардан тәшкىл ёдилмишdir. Улдузларын диаметри 22 см алтыбучагларыныкы исә 12,5 см-дир. Улдузлар вә кәнар плиткалар ар емалла өртүлмүшдүр. Алтыбучаглар јашыл, улдузларын орнаменти исә көј кашы илә өртүлмүшдүр. Бурадан белә иәтичә чыхармаг олар ки, бир сохна мүхтәлиф типли биналарда керамика јени дәрәчәдә ишләдилмишdir.

Пирсаат чајы кәнарлындакы Ханәкаһдан соира Бакы шәһәриндәки Хансараы комплексинда дә керамикадан истифадә едилмәси Ашшерон-Ширван истигамәтли мәктәбә мәнсуб мә'марлыгда керамик мә'мулаттардан кениш истифадә едилдиини көстәрир.

### АРХЕОЛОГИЈА

Ф. ИБРАИМОВ

## ГУШГАНА ЈАШАЙШ ЈЕРИ ҺАГГЫНДА ИЛК МӘ'ЛУМАТ

(Азэрбајчан ССР ЕА академики Э. Э. Элизадә тәгдим етмисидir)

Гәдим Гафгаз Албанијасы тарихинин вә мәдәнијјетинин өјрәнилмәси проблеми илә өлагәдар олараг 1958-чи илдән Шамахы районунун Хыныслы кәндидә җаһынылығындакы јашајыш јеринде вә орта эср Күлүстән галасында мүнтәзәм олараг археологи тәдгигат ишләри апарылыр.

Лакин бунунла бирликдә бу әразидә идијәдәк өјрәнилмәјен бир сыйра абидаһләр дә вардыр.

1961-чи илин август айында Шамахы районунун шимал-гәрбиндә, тәхминән 3 км мәсафәдә јерләшэн Энкәхаран кәндидинин җаһынылығындакы Гушгана дағы үстүндә тәсәррүфат ишләри заманы мадди-мәдәнијјэт галыгларынын ашкар едилмәси һагында бизә мә'лумат верилмишdir<sup>1</sup>.

Мә'лумата әсасән һәмин саһә јохланылыш вә булдозер газдығы јерин кәнарларындан бир гәдәр јерусту мадди-мәдәнијјэт галыглары топланылышдыр.

Бу јашајыш јеринин шимал-гәрбиндә, ондан тәхминән 1—2 км арасы Галача адланай бир абида јерләшир. Һәмии дағын шимал-шәргиндә Ханјурду дејилән башга бир јашајыш јери дә вардыр. Кәнд әналисиинин дедијинә көрә, тәсәррүфат ишләри заманы бу әразидән чохлу бардағ, чыраг, газан вә башга сахсы мә'мулатынын гырыглары тапылышдыр. Һәмии материаллар сыйдырылыб дағыдылдығындан онлары топламаг мүмкүн олмады.

Мадди-мәдәнијјэт галыглары ашкар едилән бу абида Гушгана дағынын үстүндә јерләшир. Дағ үч тәрәфдән учурум гајаларла әһатә олунышлур. Јери кәлмишкән гејд етмәк лазымдыр ки, һүндүр сәвијјәдә олан бу дағын ады сохна еңтимал ки, Гушгана дејил, Гушгонан олмушдүр. Дағын гәрб тәрәфи исә онуила јанаши олан башга дағла бирләшир. Гушгана дағынын бу саһәси узун илләрдән бәри әкин јери үчүн истифадә олуимушдур. Һәмии әкин саһәсии кәзәркән чохлу ширли вә ширсиз сахсы мә'мулатынын галыгларына тәсадүф етдик.

Үзәриндә јашајыш галыглары ашкар едилән Гушгана дағы һүндүрлүк е'тибарилә онуң тәхминән 4—5 км чәниб-гәрбиндә јерләшэн Шир-

<sup>1</sup> Мә'луматы Энкәхаран кәндид 7 иллик мәктәбинин мүэллими Күлабба Гәһрәманов бермисидir.

ванишаларын мәшінур Күлустан галасы илә ејни сәвијјәдәдир. Кәнд чамаатынын мә'луматына әсасен, кәнддәки евләрин бир һиссесинин даши һәмин јердән кәтирилмишdir. 1960-чы илдә булдоzerлә даش ахтарышы заманы бир нечә бина галыглары да ашкар едилмишdir. Тәэсүүф ки, бу бина галыгларынын даши сөкүлуб апарылмыш, торпағы исә гарышдырылмышdir. Сөкүлән бина галыгларынын јериидән айдын олур ки, дивар һөрүләркән кирәчдән истифадә олунмушdur. Саһәдә сохлу кәрпич гырыгларына вә дикәр мадди-мәдәнијәт галыгларына тәсадүф едилмишdir.

Әлдә едилән материаллар ичәрисинде ширсиз, ширли, фајанс габ гырыглары, түник парчалары, газан гулпу вә с. тапынтылар диггәти даһа чох чәлб едир.

Тапылан сахсы мә'мұлаты ичәрисинде үч әдәд ширсиз габ гулпу вардыр. Гулпларын сахсысы гырмызы рәнкдә олуб тәркибинде хырда гум дәнәләри нәзәрә чарпыр. Бунлардан бири чубуг формалы јарымдаңраеви олуб бардаға мәхсуседур (I табло, 1-чи шәкил). Онун һәр ики тәрәфдән габа јапышдырылдығы айдын көрүнүр. Габа јапышдырылан һиссесинин үстүндә исә басма нәгтәләрдән ибарәт нахышлар вардыр. Белә габ гулпу Өрәнгала газынтыларындан да тапылмышdir<sup>2</sup>. Галан ики әдәд гулплар исә лентварыдыр. Онлардан бири енли (5 см), дикәри исә нисбәтән енсизdir (3, 5 см). Һәр икиси сәһәнк типли габа мәхсус олай бу гулпларын биринин үзәринде басма нәгтәләр олдуғу налда (I табло, 3-чу шәкил), дикәрийни үзәри шүүрәләнмишdir (I табло, 2-чи шәкил).

Әлдә едилән ширсиз габ гырыглары ичәрисинде кичик газан гулпу да вардыр. О, јарымдаирә формасында олуб үстүнү һис басмышdir. Гуллара рәнкдә биширилмишdir. Тәркибинә хырда даш овунтусу гатымышdir. Онун ени 2,5 см-дир (I табло, 4-чу шәкил).

Бунлардан әlavә, бир нечә күп гырыглары да тапылмышdir. Онун сахсысы гырмызы рәнкдәдир. Килинин тәркибинде даш овунтусу нәзәрә чарпыр. Габ дулус чархында назырланмышdir. Күпүн үзәринә чызма хәтләрлә далғавары нахыш чәкилмишdir (I табло, 5-чи шәкил). Далғавары нахышы олай вә гырмызы рәнкдә биширилән габлара гәдим Кәнчә<sup>3</sup> вә Шамахы<sup>4</sup> (Күлустан галасы) газынтыларында да тәсадүф едилмишdir.

Тапынтылар ичәрисинде гырмызы рәнкли су түнкүн парчалары даһа мараглыдыр. О, дулус чархында назырланмышdir. Башга түнкә кечирилмәк учын дүзәлдилән һиссесинин үстүнә батыг хәтлә јанаши ики дәнә чәкилмишdir. Дивары нисбәтән назик олуб тәркибинә хырда гум гатымышdir (I табло, 6-чи шәкил). Сахсы түнкләрдән чәкилмиш су кәмәринә адәтән Азәрбајчанын орта әср шәһәрләри<sup>5</sup> даһа чох тәсадүф едилir. Бу исә јерли әһалинин өзләрини су илә тә'мин етмәк учын түнкләрдән истифадә етмәсінә ишарәдир.

Әнкәхараандан кәтирилән материалын экспәријјәтине ширли габ мә'мұлаты тәшкіл едир. Бу мәгаләдә исә характерик олай бир нечә габ гырыгларынын вермәклә кифајәтләнәчәјик. Бунлардан бири хејрә типли габын отурачаг һиссесидir. Сахсысы түнд гырмызы рәнкдә олуб дулус

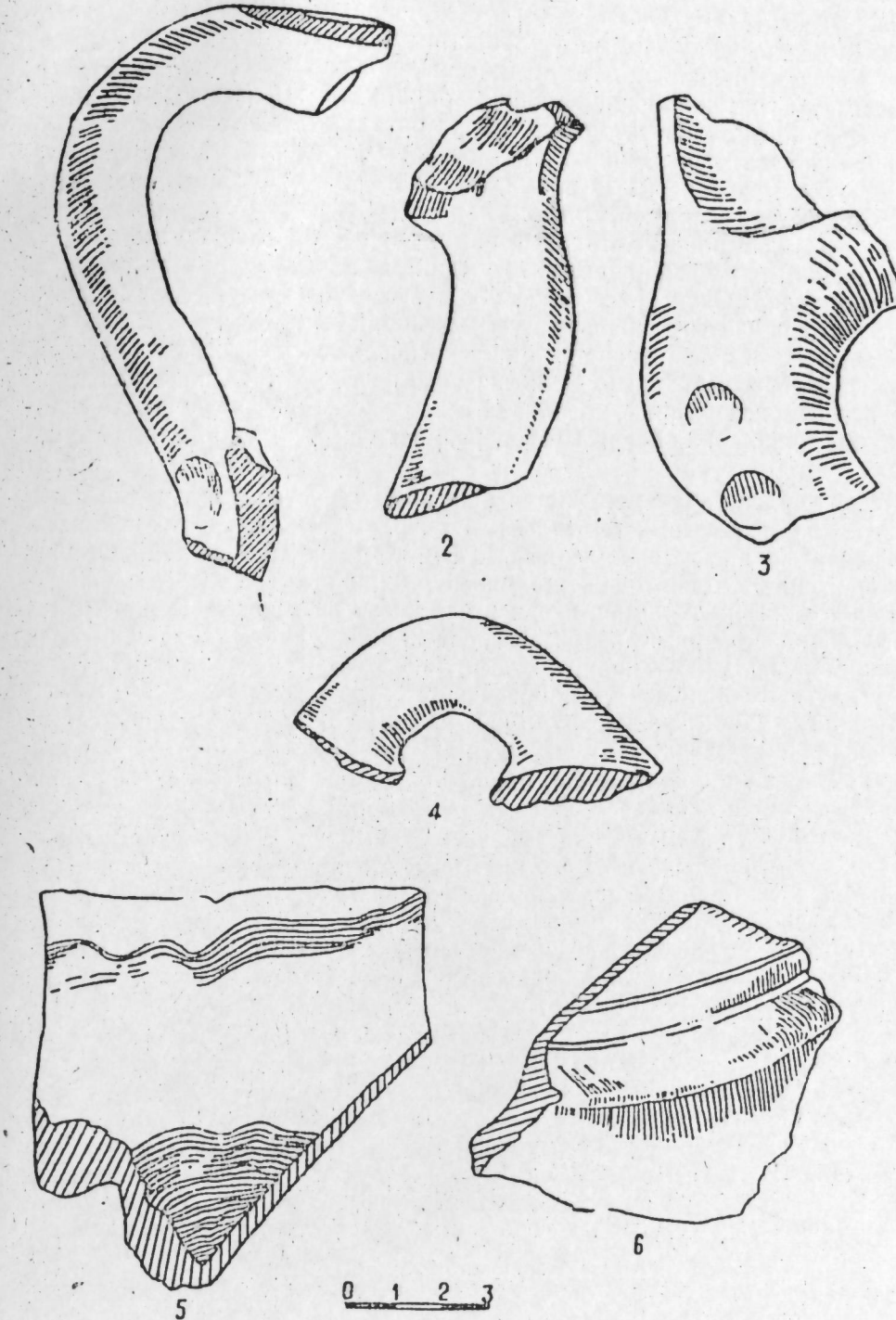
<sup>2</sup> Г. М. Эһмәдов. Азәрбајчанын ширсиз сахсы мә'мұлаты, Бакы, 1959, сәh. 137.

<sup>3</sup> И. М. Джазарзаде. Историко-археологический очерк старой Гянджи, 1949, сәh. 69.

<sup>4</sup> Һ. Чидди. Орта әср Күлустан галасы һагында тарихи-археологи мә'лumat, «Азәрб. ССР ЕА Хәберләри», Бакы, 1961, № 6, сәh. 54.

<sup>5</sup> И. М. Чәфәрзадә. Көстәрилән әсәри, сәh. 53; С. М. Газылев. 1959—1960-чы илләрдә Гәбәлә шәһәри харabalарында апарылан археологи газынтылар һагында (әлјазмасы), сәh. 46, таб. XX, шәкил 3; А. Л. Якобсон. Материалы и исследования по археологии СССР, № 67, сәh. 126, шәк. 97.

чархында назырланмышdir. Тәркиби аз гарышыглыдыр. Отурачагынын алтында даирәви чыхынты вардыр. Габын ичәриси әvvәлчә ағ ангобла



I табло

ширләнмиш, сонара исә марганела 4 паралел назик хәтт чәкилмишdir. Бу хәтләрин арасында ики јердә әрәб элифбасы илә ејни сөзүн тәкәрәрү

вөрйлүмүшдир. Жазылар арасындакы бош саңаја исә сејрәк јашыл рәнк вурулмушдур. Соңра үзәри шәффаф ширлә өртүлмүшдүр. Габын ширин бәзи һиссәләрдә төкүлдүүндөн жазыны охумаг мүмкүн олмады. Онун отурачагынын диаметри 11 см-дир (II табло, 1-чи шәкил).

Элдә едилән дикәр габын отурачаг һиссәси даңа мараглыдыр. Сахсысы гырмызы рәнкдәдир. Устүндөки нишаналар габын дулус чархында назырланыгыны көстәрир. Килиниң тәркиби гарышыгдыр. Ичәриси әввәлчә ағ аигобла өртүлмүшдүр. Соңра ортадан дөрд тәрәфә кетдикчә сиңләнән ики хәтт чәкилмиш вә о хәтләр арасына марганс вурулмушдур. Һәмин габын отурачагыны алтында саңибкара мәхсүс дамға вардыр (II табло, 2-чи шәкил). Мүтәхәссисләр сахсы габа вурулаи дамғалары һәмин габы назырлајан усталарын вә јаҳуд мүәјјән е'малатхананын хүсүси нишана кими изаһ едиrlәр<sup>6</sup>. Бу формада нишана һәләлик тәсадүф едилмәмишдир. Онун һансы истеңсал мүәссисәсийә аид олдуғуну шұбәнәсиз кәләчек тәдгигат ишләри мүәјјәнләшдиречәкдір.

Тапытылар ичәрисинде аигоб вә маргансла нахышланыш бир нечә габ гырыглары да вардыр. Белә ки, сахсы үстүндән әввәлчә ағ аигоб вурулмуш, соңра үзәринә марганс вә мис оксидиндең мүхтәлиф нахышлар чәкилмишдир. Габларын үзәри рәнкесиз шәффаф ширлә өртүлмүшдүр.

Элдә едилән габлардан ширли бошгабын гырығы дүггәти даңа чох чәлб едир. Сахсынын галынлығы 1 см олуб гырмызы рәнкдәдир. О, дулус чархында назырланымышдыр. Габын ағзынын јана гатланымыш һиссәсийәнди 4 см-дир. Онун үстүндә бир-бириндән 4 см аралы еллинс формалы нахыш чәкилмиш, ичәриси исә јашыл вә сарымтыл рәнкләрлә өртүлдүүндөн соңра этрафы маргансла һашијәләмишдир. Онлар арасында јашәккүлли нахышлар вардыр. Габын ағзынын кәнарында чызма үсулу илә чәкилмиш үч даирәви хәтт вардыр. Онун гырагына исә 1 см еницидә јашыл рәнк вурулмушдур. Бүтүн бунлардан соңра габын ичәриси рәнкесиз ширлә өртүлмүшдүр (II табло, 3-чу шәкил).

Тапылан бу тип габлардан башга хүсүсийәтләрә малик оланлары да вардыр. Бошгаба мәхсүс белә бир габ гырмызы рәнкдә олуб, дулус чархында назырланымышдыр. Отурачагындан башлајараг јанлара доғру кетдикчә енләшир. Онун ағзынын гырагы 2,5 см јухарыя гатланымышдыр. Ичәрисинә јашыл-сары рәнкдә золаглар чәкилмишдир. Бу золагларын арасындакы батыг хәтләрин үстүнә исә марганс вурулмушдур. Јухарыя гатланан һиссәсийә ичәрисинә чәкилмиш аигобун үстүндә далғавары хәтт чызылмушдыр. Соңра габын ичәриси рәнкесиз ширлә өртүлмүшдүр (II табло, 4-чу шәкил).

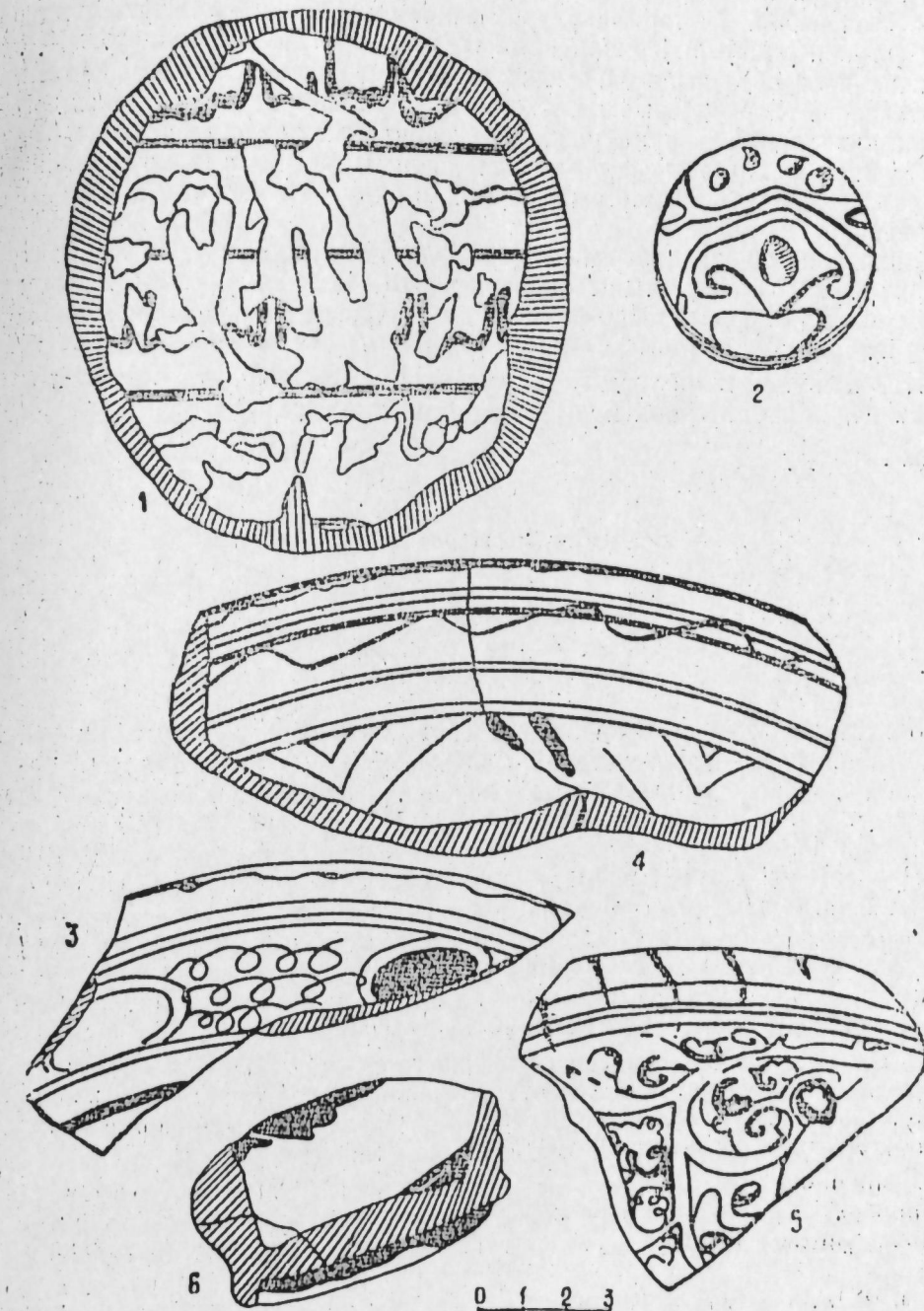
Белә габлардан бир әдәдинин формасыны мүәјјән етмәк мүмкүн олмады. Сахсысы гырмызы рәнкдә олан бу габ дулус чархында назырланымышдыр. Онун һәр ики үзү јашыл рәнклә шириләмишдир. Габын чөлүнә әввәлчә ағ аигоб чәкилмиш, соңра газма үсулу илә нәбатат рәсми чызылмушдыр. Бүтүн бунлардан соңра габын һәр ики тәрәфи рәнкесиз шәффаф ширлә өртүлмүшдүр. Нәтичәдә газма үсулу илә дүзәлдилән нәбатат рәсми хәтләринин јеринә артыг шир чөкдүү үчүн һәмин нахышлар габын башга јеринә нисбәтән түнд јашыл рәнкдәдир (II табло, 5-чи шәкил).

Кәтирилән сахсы мә'мулаты ичәрисинде фајанс вә шүшә габ гырыглары да вардыр. Бунлардан бири алчаг дабаиплы фајанс габын отурачагыдыр. Ағ каолин килиндән назырланымышдыр. Габын галынлығы 1,5 см-дир. Килиниң тәркибинде хырда гум дәнәләри иәзәрә чарпыр. Габын һәр ики тәрәфинә кобалтла мүхтәлиф нахыш чәкилмишдир. Соң-

<sup>6</sup> Г. М. Эһмәдо. Көстәрилән эсәри, Бакы, 1959.

ра үзәри галын рәнкесиз шәффаф ширлә өртүлмүшдүр (II табло, 6-чи шәкил).

Бундан башга, һәр ики тәрәфи галын кобалт вә фирузәji рәнклә өртүлмүш габ парчалары да элдә едилмишдир. Бу габ гырыгларының



II табло

кили ағ рәнкдә олуб тәркибинә хырда гум гатылмушдыр. Шамахы Күлустан галасы вә Бејләган шәһәр јериндей дә белә фајанс габ гырыглары чох тапылмушдыр. Элдә едилән шүшә габ парчасы исә галын дивар-

лы олуб шэффафдыр. Ичәрисинде габын гопмуш олан дикәр Ыссәсинин изи галмышдыр.

Гушгана дағы үстүндән элдә едилән вә јухарыда тәсвир етдијимиз мадди-мәдәнијәт галыглары, һәмчинин орадан бина галыгларының аш-кар едилмәси, шүбһәсиз, һәмин абидәнин јашајыш јери олдугуны сөјләмәјә эсас верир. Уч тәрәфи учурум гаяларла әнатә олунмуш һүндүр дағ үстүндә јашајыш јеринин олмасы исә мараглы мәсәләдир. И. П. Мешанинов орта әср мудафиә галасы кими феодал иштәкамларыны характеризә едәрәк, јазыр ки, адәтән белә галалар јүксәк гаялыш дағларда тикилирди<sup>7</sup>. Көрүндүјү кими, бу абидәнин чөграфи мөвгө чәһәтдән мәһкәм вә әлчатмаз јердә олмасы онун Ширваншаһларын мудафиә характерли башга галалары илә әлагәдар олдугуны еңтимал етмәјә имкан верир.

Энкәхаран кәнди јахынлығындакы Гушгана јашајыш јериндей кәтирилән сахсы мә'мұлатыны орта әср Шамахы Қулустан Галасы<sup>8</sup> вә Бејләган<sup>9</sup>. Кәнчә<sup>10</sup> шәһәр јерләриндей әлдә едилән материалларла мугаисә етдикдә онлары XI—XIII әсрләрә аид етмәк олар.

Илк мә'лumat кими тәгдим едилән јухарыдағы материаллар аз олса да абидәнин характерини мүәјјән етмәјә имкан верир.

Тарих Институту

Алымышдыр 14. III 1962

Ф. Ибрагимов

## О поселении Гушгана

### РЕЗЮМЕ

Шемахинский район очень богат археологическими памятниками. Экспедиция по изучению истории Кавказской Албании с 1958 г. непрерывно ведет раскопочные работы в поселении Хыныслы и крепости Гюлистан, расположенных недалеко от районного центра. Во время полевых работ на горе Гушгана, находящейся около сел. Ангехаран, были обнаружены вещественные памятники, состоящие в основном из керамических изделий разных форм. Среди них имеется простая неполивная и глазурованная керамика с полихромной и монохромной росписью по ангобированному черепку и графическими рисунками. Аналогичные формы сосудов с росписью по ангобу и рисунками происходят также из Оренкалы, старой Ганджи, Гюлистана и др.

Среди находок на Гушгана встречаются также обломки фаянсовой посуды. Простая керамика состоит из узкогорлых кувшинов, кюпов, котлов, чаши и других сосудов, изготовленных главным образом из глины красного цвета. Большинство находок фрагментировано.

Среди найденных материалов попадаются и обломки гончарного водопровода. По сообщениям колхозников, в процессе земляных работ на горе Гушгана были разрушены остатки фундамента какого-то соору-

жения, сложенного из камня. Это обстоятельство позволяет высказать предположение о существовании здесь небольшого поселения в прошлом.

Характер обнаруженных на Гушгана материалов, сравнение их с подобными материалами из Кабалы, старой Ганджи, Байлакана и других средневековых городов Азербайджана дает возможность датировать указанное поселение и выявленный в нем материал примерно XI—XIII вв.

<sup>7</sup> И. И. Мешанинов. История Азербайджана по археологическим памятникам, «Известия АзФАН», 1944, № 7, с. 64.

<sup>8</sup> Н. Чидди. Қулустан галасында археологи газынтылар. «Аз ССР ЕА Хәбәрләри», 1961, № 9, с. 40—47; № 6, с. 52.

<sup>9</sup> МИА СССР. № 67, Труды Азербайджанской (Оренкалинской) экспедиции, М.-Л., 1959, с. 255.

<sup>10</sup> В. Н. Левинатов. Керамика старой Ганджи, Бакы, 1940, с. 11; И. М. Чәфәрзәдә. Қөстәрилән эсәри, Бакы, 1949.

## МУНДЭРИЧАТ

### Ријазијјат

Т. Г. Эһмадов. Тейлор-Дирихле типли бө'зи сыраларын аналитик давамы һагында . . . . . 3

### Нефт вә газ жатагларынын ишләмәси

Г. Н. Чәлилов. Нефт гүулары батарејаларынын сулашма просесинин тәдгиг едилемәси . . . . . 9

### Физики кимја

К. Э. Шәрифов. Јарымкечирчиләрин гадаган олунмуш золагы илэ онларын атомизасија истилији арасындакы асылылыг . . . . . 15

### Үзви кимја

О. А. Оспов вә б. Бө'зи дикалкиламинометилфенолларын вә ароматик сүлфидләрин тәдгиги . . . . . 21

### Кристаллографија

Р. М. Элијев. Минеракенезис мәсәләләриниң һәлли үчүн калсит кристалларынын морфологи хүсусијәтләrinдән истифадә едилемәси (Дашкәсән жатагы мисалында) . . . . . 25

### Кеолокија

Р. Р. Рәһимов. Азәрбајчанын палчыг вулканларынын көкләри һагында . . . . . 31

### Палеонтолокија

Р. Г. Баబаев. Кичик Гафгазын шимал-шәрг һиссесинин (Азәрбајчан ССР әразиси) Уст Жура чөкүнүләриндә алтышұалы мәрчанларын стратиграфик әһәмијәти . . . . . 35

### Нефт кеолокијасы

Г. А. Исмаилов, Н. Ж. Хәлилов. Абшeron јарымадасынын шимал һиссесинде үчүнчү дөвр вә мезозој чөкүнүләринин тектоник мүнасибәтина дәнр . . . . . 39

### Индрокеолокија

Л. А. Красильников. Майли дүзәнликләрдә јералты суахымынын туулмасы һагында (Кировабад—Газах майли дүзәнлијинде олдуғу кими) . . . . . 45

### Кеофизика

Ш. С. Рәһимов. Ралеј далгаларынын иккінчи группу . . . . . 51

## Палеогеографија

Т. С. Шахсуваров. Абшерон нөвлү мәңсүлдәр гат һөвзәсинин дүэлүлүг  
режими һагында . . . . . 55

## Минералокија

Ч. Э. Азадәлиев. Қығы чајы һөвзәсинин пегматит дамарларындакы ак-  
сессор ортит һагында . . . . . 59

## Биокимја

Ф. Г. Нәһмәтов. Азәрбајҹан ССР Ләнкәран рајону јашыл чај յарлагы-  
нын катехинләри . . . . . 63

## Кенетика

И. К. Абдуллаев. Јени кол формалы тут . . . . . 69

## Агрокимја

Х. М. Мустафаев. Мешә гуршағында чекмүш тәкүнтүләрин әмәлә қәл-  
мәси вә онларын бәркәдилмәси һагында . . . . . 75

## Биткиләрин физиолокијасы

Ч. Э. Элиев. Биткиләрдә ситохромоксидазаның фәаллығы вә микроеле-  
ментләрин буна тә'сирі һагында . . . . . 81

## Физиолокија

С. Э. Чәбијева. Кичик дозалы радиоактив фосфорун мұхтәлиф инкишаф  
мәрһәләләринде тојуг јумурталарының инкубасија просесинә тә'сирі . . . . . 85

## Паразитологија

Ч. М. Бағыров. Гарамалың тәјлерниоз хәстәлигинде мә’дә өңлүкләринин  
атонијасына гарыш тә'сирли симптоматик дәрман васитәләри . . . . . 89

## Мәмарлыг

Н. А. Сәркисов. Ики Азәрбајҹан архитектура абидәсинин керамик па-  
нелләри һагында . . . . . 93

## Археологија

Ф. Ибраһимов. Гушганың яшајыш жері һагында . . . . . 97

## СОДЕРЖАНИЕ

### Математика

Т. К. Ахмедов. Об аналитическом продолжении некоторых рядов типа  
Тейлора — Дирихле . . . . . 3

### Разработка нефтяных и газовых месторождений

К. Н. Джалилов. Гидродинамическое исследование процесса обводнения  
батареи скважин . . . . . 9

### Физическая химия

К. А. Шарифов. Взаимосвязь между шириной запрещенной зоны полупро-  
водников и теплотой их атомизации . . . . . 15

### Органическая химия

О. А. Осипов и др. Исследование некоторых диалкиламинометилфенолов  
и ароматических сульфидов . . . . . 21

### Кристаллография

Р. М. Алиев. Некоторые примеры по использованию морфологических  
особенностей кристаллов кальцита для выяснения вопросов минерагенезиса  
(на примере Дашиесанского железорудного месторождения) . . . . . 25

### Геология

Р. Р. Рахманов. О корнях грязевых вулканов Азербайджана . . . . . 31

### Палеонтология

Р. Г. Бабаев. Стратиграфическое значение верхнеюрских шестилучевых  
кораллов северо-восточной части Малого Кавказа (Азербайджан) . . . . . 35

### Геология нефти

К. А. Исмайлов, Н. Ю. Халилов. О тектоническом соотношении тре-  
тических и мезозойских отложений в северной части Апшеронского полуострова . . . . . 39

### Гидрогеология

Л. А. Красильников. Вопросы перехвата потока подземных вод  
наклонных равнин на примере Кировабад-Казахской наклонной равнины . . . . . 45

### Геофизика

Ш. С. Рагимов. Вторая группа волн Релея . . . . . 51

**Палеогеография**

Т. С. Шахсуваров. О селевом режиме бассейна продуктивной толщи Апшеронского типа . . . . . 55'

**Минералогия**

Дж. А. Азадалиев. Аксессорный ортит из пегматитовых жил бассейна р. Чехи . . . . . 59

**Биохимия**

Ф. Г. Нахмедов. Катехины зеленого чайного листа Ленкоранского района Азербайджанской ССР . . . . . 63

**Генетика**

И. К. Абдуллаев. Новая кустовая форма шелковицы «Кол-тут» . . . . . 69

**Агрономия**

Х. М. Мустафаев. К вопросу образования осыпей и их закрепления в лесной зоне . . . . . 75

**Физиология растений**

Д. А. Алиев. Об активности цитохромоксидазы в растениях и действие микроэлементов на нее . . . . . 81

**Физиология**

С. А. Джабиева. Влияние радиоактивного фосфора на процесс инкубации куринных яиц, находящихся на различных стадиях развития . . . . . 85

**Паразитология**

Д. М. Багиров. Симптоматические средства при лечении тейлериоза крупного рогатого скота . . . . . 89

**Архитектура**

Н. А. Саркисов. Керамика в отделке интерьеров двух малоизученных памятников архитектуры Азербайджана . . . . . 93

**Археология**

Ф. Ибрагимов. О поселении Гушгана . . . . . 97

Чапа имзаланыш 12/XII 1963-чү ил. Кағыз форматы 70×108<sup>1/16</sup>. Кағыз вәрәги 3,38. Чап вәрәги 9,25. Ыес-нәшријјат вәрәги 7,2. ФГ 05728. Сифариш 953. Тиражы 840. Гијмәти 40 гәп.

Азәрбајҹан ССР Елмләр Академијасы Мәтбәәси, Бакы, Фәһлә проспекти, 96.

**Азәрбајҹан ССР**

**Елмләр Академијасының ашағыдақы журналларына 1964-чү ил үчүн**

**АБУНЭ ГӘБҮЛ ОЛУНУР**

**„АЗӘРБАЈЧАН ССР  
ЕЛМЛӘР АКАДЕМИЈАСЫНЫҢ  
МӘРҮЗӘЛӘРИ“**

Илдә 12 нөмрә чыхыр.  
Иллик абуиә гијмәти 4 манат 80 гәпикдир.  
Һәр нөмрәниң гијмәти 40 гәпикдир.

**„АЗӘРБАЈЧАН ССР  
ЕЛМЛӘР АКАДЕМИЈАСЫНЫҢ  
ХӘБӘРЛӘРИ“**

**„Азәрбајҹан ССР  
Елмләр Академијасының Хәбәрләри“  
ашағыдақы серијалар үзрә чыхыр:**

1. Кеолокија-чографија елмләри серијасы (илдә 6 нөмрә).
2. Физика-техника вә ријазијјат елмләри серијасы (илдә 6 нөмрә).
3. Биолокија елмләри серијасы (илдә 6 нөмрә).
4. Ичтимай елмләр серијасы (илдә 6 нөмрә).

Һәр нөмрәниң гијмәти 80 гәпикдир.

**„АЗӘРБАЈЧАН КИМЈА ЖУРНАЛЫ“**

Илдә 6 нөмрә чыхыр.  
Иллик абуиә гијмәти 4 манат 80 гәпикдир.  
Һәр нөмрәниң гијмәти 80 гәпикдир.

**Абунә „Сојузпечат“ вә бүтүн почта шө'бәләри тәрәфиндән гәбул олунур.**

**АЗӘРБАЈЧАН ССР  
ЕЛМЛӘР АКАДЕМИЈАСЫ НӘШРИЈЈАТЫ**

# ПРИНИМАЕТСЯ ПОДПИСКА

на 1964 год

на следующие журналы:

## „ДОКЛАДЫ АКАДЕМИИ НАУК АЗЕРБАЙДЖАНСКОЙ ССР“

12 номеров в год.  
Стоимость годовой подписки 4 руб. 80 коп.  
Цена отдельного номера 40 коп.

## „ИЗВЕСТИЯ АКАДЕМИИ НАУК АЗЕРБАЙДЖАНСКОЙ ССР“

Журнал „Известия Академии наук  
Азербайджанской ССР“

выходит по сериям:

1. ГЕОЛОГО-ГЕОГРАФИЧЕСКИХ НАУК (6 номеров в год)
2. ФИЗИКО-ТЕХНИЧЕСКИХ И МАТЕМАТИЧЕСКИХ НАУК (6 номеров в год)
3. БИОЛОГИЧЕСКИХ НАУК (6 номеров в год)
4. ОБЩЕСТВЕННЫХ НАУК (6 номеров в год)

Цена отдельного номера 80 коп.

## „Азербайджанский химический журнал“

6 номеров в год.  
Стоимость годовой подписки 4 руб. 80 коп.  
Цена каждого номера 80 коп.

Подписка принимается уполномоченными „Союзпечати“ и во всех почтовых отделениях.

**ИЗДАТЕЛЬСТВО АКАДЕМИИ НАУК  
АЗЕРБАЙДЖАНСКОЙ ССР**